N° Ordre...../Faculté/UMBB/2022

# REPUBLIQUE ALGERIENNE DEMOCRATIQUE ET POPULAIRE MINISTERE DE L'ENSEIGNEMENT SUPERIEUR ET DE LA RECHERCHE SCIENTIFIQUE

#### UNIVERSITE M'HAMED BOUGARA-BOUMERDES





#### Faculté des Hydrocarbures et de la Chimie

# Mémoire de Fin d'Etudes En vue de l'obtention du diplôme :

## **MASTER 2**

Présenté par

#### CHERRERI Soheib

#### **KEBOUDJI Abderrahmen**

Filière: Automatisation des procédés industriels

Option: Commande automatique

#### Thème

# Réalisation et commande d'un drone quadrirotor et la reconstruction 3D

#### Devant les jurys:

Mr. HAMADACHE Mohamed	MCB	FHC	Examinateur
Mr. KHEBLI ABDELMALEK	MAA	FHC	Examinateur
Mme. KAHOUL Fadhila	MCB	FHC	Encadreur

Année Universitaire: 2021/2022

#### REPUBLIQUE ALGERIENNE DEMOCRATIQUE ET POPULAIRE MINISTERE DE L'ENSEIGNEMENT SUPERIEUR ET DE LA RECHERCHE SCIENTIFIQUE UNIVERSITE M'HAMED BOUGARA-BOUMERDES





#### Faculté des Hydrocarbures et de la Chimie

Département : Automatisation

Filière : Automatisation des procédés industriels

Option: Commande automatique

# Mémoire de Fin d'Etudes En vue de l'obtention du diplôme :

# **MASTER 2**

# **Thème**

# Réalisation et commande d'un drone quadrirotor et la reconstruction 3D

Présenté par : CHERRERI Soheib KEBOUDJI Abderrahmen Avis favorable de l'encadreur :

F. KAHOUL signature

Avis favorable du Président du jury

Nom Prénom Signature

Mr. HAMADACHE Mohamed

Cachet et signature

# Remerciement

Tout d'abord nous remercions "ALLAH" et remercions pour la réalisation de cet humble travail.

Nous remercions notre encadreur **madame** « **F. KAHOUL** » pour sa contribution efficace les professeur superviseur en tant que comite' arbitrage et les autres professeurs du département.

Nous remercions les honorables parents pour leurs appels sincères Et remercions tous ceux qui ont contribué de près ou de loin en leur Souhaitant bon chance et beaucoup de sucée.

Qui avons-nous accompagnés dans ce modeste travail avec tous patience et encouragement.

Nous espérons Enfin que cette offre sera acceptée et admirée

# Dédicace

# Je dédie ce modeste travail:

Spécialement à la mémoire de **mon père** qui a toujours cru en moi, tu vivras toujours dans mon cœur. Je demande à Dieu d'avoir pitié de lui et d'habiter au paradis.

À ma chère mère à qui je voue mon respect et tous mes vœux de bonheur, prospérité et de bonne santé.

À ma chère sœur, mes chers frères et ma famille qui m'ont toujours soutenu.

Ainsi qu'à tous **mes proches** et à **mes amis** pour leurs encouragements et leurs soutiens qui se reconnaîtront.

À Tous ceux qui m'aiment et que j'aime.

Et à toute la promo H17,

CHERRERI Soheib

# Dédicace

# Je dédie ce travail à :

A ma tendre Mère Soria et mon très cher père Elhani: Aucune dédicace ne saurait exprimer l'amour, l'estime, le dévouement et le respect que j'ai toujours pour vous. Vous représentez pour moi la source de tendresse et l'exemple de dévouement qui n'a pas cessé de m'encourager et de prier pour moi. Rien au monde ne vaut les efforts fournis jour et nuit pour mon éducation et mon bien être. Que Dieu vous garde et vous protège.

A mon frère et mes sœurs pour leurs soutien moral. Ce travail soit témoignage de ma reconnaissance et de mon amour sincère pour vous.

A tous mes camarades de groupe MACA17 et à tous les membres de club scientifique AEPI New Vision.

A tous mes enseignants depuis mes premières années d'études. A tous ceux qui me sens chers et que j'ai omis de citer.

#### Résumé

Les drones sont des aéronefs sans pilote capables de faire des missions d'une façon plus ou moins autonome et automatique. Le travail présenté dans ce mémoire avait comme objectif la conception et la réalisation d'un prototype drone quadrirotor et l'application de la reconstruction 3D à partir des images. Notre drone se compose de quatre moteurs. Ces moteurs sont contrôlés par un contrôleur de vol basé sur l'Arduino via un contrôleur de vitesse électronique ESC, l'ensemble est alimenté par une batterie LI Po et piloté à l'aide d'une radiocommande Flysky FS-I6X. La stabilisation du drone a été assurée en implémentant une loi de commande de type PID.

La photogrammétrie est un processus qui peut être utilisé pour la reconstruction 3D précises à partir de images. Ce projet présente la mise en œuvre une description des méthodes et des données utilisées pour reconstruire les modèles 3D.

#### **Abstract**

Drones are unmanned aircraft capable of performing missions in a more or less autonomous and automatic way. The work presented in this thesis had as objective the design and realization of a prototype quadrotor drone and the application of 3D reconstruction from the images. Our drone consists of four motors. These motors are controlled by a flight controller based on Arduino via an electronic speed controller ESC, the whole is powered by a LI Po battery and controlled using a Flysky FS-I6X radio control. The stabilization of the UAV was ensured by implementing a PID control law.

Photogrammetry is a process that can be used for accurate 3D reconstruction from images. This project presents the implementation and description of the methods and data used to reconstruct the 3D models.

### ملخص

الطائرات بدون طيار (الدرون) هي طائرات قادرة على أداء المهام بطريقة مستقلة وأوتوماتيكية العمل المقدم في هذه المذكرة هو تصميم نموذج لطائرة رباعية بدون طيار وتطبيق إعادة البناء ثلاثي الأبعاد. تتكون طائرتنا بدون طيار من أربع محركات يتم التحكم في هذه المحركات بواسطة وحدة تحكم طيران تعتمد على آردوينو عبر وحدة تحكم إلكترونية للسرعة، ويتم تشغيل الكل بواسطة بطارية كما يتم التحكم فيها باستخدام جهاز تحكم لاسلكي. تم ضمان استقرار الطائرة بدون طيار من خلال متحكم تناسبي تكاملي تفاضلي.

المسح التصويري هو عملية يمكن استخدامها لإعادة البناء ثلاثي الأبعاد بدقة من الصور. يقدم هذا المشروع وصفًا للطريقة والبيانات المستخدمة في صنع النماذج ثلاثية الأبعاد باستخدام الصور.

# Table des matières

# Chapitre I : État de l'art sur les drones et la photogrammétrie

I.1 Introduction	3
I.2 Le drone	4
I.2.1 Définition et mise en contexte	4
I.2.2 Types de drones	4
I.2.2.1 Drones à voilure fixe	5
I.2.2.2 Drones à voilure tournante	5
I.2.3 Domaines d'applications	7
I.2.3.1 Drone militaires	7
I.2.3.2 Drone civil	8
I.3 Quadrirotor	9
I.3.1 Description	9
I.3.2 La technologie	9
I.3.3 Avantages de la configuration quadrirotor	10
I.4 La photogrammétrie	11
I.4.1 Introduction	11
I.4.2 Historique	12
I.4.3 Reconstruction 3D	14
I.4.4 Domaines d'application de la reconstruction 3D	15
I.4.4.1 Entraînement	16
I.4.4.2 Simulation	16
I.4.4.3 Compression de données	16
I.4.4.4 Imagerie médicale	16
I.4.4.5 Commerce	17
I.4.4.6 Conservations	17
I.4.4.7 Autres applications	17
I.4.5 Principe de fonctionnement	17
I.4.5.1 Acquisition des images et sélection des régions d'intérêt	19
I.4.5.2 Détection des points d'intérêt et extraction des caractéristiques	19

I.4.5.3 Correspondance des points d'intérêt et élimination des correspondances non fis	ables
	24
I.4.5.4 Estimation de la Matrice essentielle et Rectification	25
I.4.5.5 Calcul de la carte de disparité	27
I.4.5.6 Triangulation et création du fichier PLY	27
I.4.5.7 Génération du Modèle 3D	28
I.5 Conclusion	28
Chapitre II: Anatomie d'un drone type quadrirotor et ses composants	
II.1 Introduction	29
II.2 Les composants de notre réalisation	29
II.2.1 Le châssis	29
II.2.2 Les moteurs	32
II.2.3 les hélices	34
II.2.4 Les Contrôleurs de vitesse électroniques (ESC)	36
II.2.5 MPU6050	39
II.2.6 Source et gestion d'énergie Batterie LiPo	43
II.2.7 La carte Arduino Mega 2560	44
II.2.8 Système de Communication (Le transmetteur FS-i6X et son récepteur FS-iA10B).	45
II.3 Les mouvements du quadrirotor	47
II.3.1 Les mouvements de rotation du quadrirotor :	48
II.3.1.1 Mouvement de lacet	48
II.3.1.2 Mouvement de roulis :	49
II.3.1.3 Mouvement de tangage :	50
II.3.2 Les mouvements de translations du quadrirotor	50
II.3.2.1 Translation verticale	50
II.3.2.2 Translation horizontale	51
II.4. Conclusion	52
Chapitre III : Tests réels & discussions de résultats	
III.1 Introduction	53
III.2 Montage et réalisation du quadrirotor	
III.2.1 Expériences sur MPU-6050	53
III.2.2 Expériences sur Le transmetteur FS-i6X et son récepteur FS-iA10B	60

III.2.2.1 Protocoles TX	60
III.2.2.2 Protocoles RX	61
III.2.2.3 Première expérience	62
III.2.2.4 Deuxième expérience	66
III.2.3 Expériences sur l'équipement	68
III.2.3.1 Calibrage de l'ESC	71
III.3 Conclusion	74
Chapitre IV : Commande d'un drone type quadrirotor par régulateur PI	D
IV.1 Introduction	75
IV.2 Le régulateur PID du quadrirotor	75
IV.2.1 Saturation du régulateur PID et choix des gains [26]	78
IV.2.2 Algorithme PID du régulateur de vol	78
IV.2.3 Sous-programme de sortie PID	80
IV.2.4 Contrôle des ESC	82
IV.3.1 Conception du matériel	88
IV.3.2 Test du régulateur	89
IV.4 Conclusion	91
Chapitre V : La reconstruction 3D	
V.1 Introduction	92
V.2 Le principe	92
V.3 Les étapes de la détermination du nuage de points	93
V.3.1 Étape 01 : L'initialisation de la Camera	93
V.3.2 Étape 02 : L'extraction des caractéristiques d'image	95
V.3.3 Étape 03 : Correspondance d'image	96
V.3.4 Étape 04 : Correspondance de caractéristiques d'image	97
V.3.5 Structure From Motion	97
V.4 Logiciels utilisés	100
V.4.1 MeshLab	100
V.4.2 Meshroom	101
V.4.3 3DF Zephyr	102
V.5 Exemples de reconstruction 3D	103
V.5.1 Boite de jus (49 photos)	104

V.5.2 Flysky (69 photos)	105
V.5.3 Pumpjack ( 221 photos)	107
V.6 Critique des résultats obtenus	108
V.7 Conclusion	109

# Table des figures

Figure I.1: Drone dit 'aile volante
<b>Figure I.2</b> : L'hélicoptère est un sous-type de drone à voilure tournante. Le rotor de queue évite que l'appareil ne se mette à tourner sur lui-même.
<b>Figure I.3 :</b> Configurations fréquentes des hélices des multicoptères. Le sens de rotation des hélices est indiqué par une flèche colorée
Figure I.4 : Drone militaire.
Figure I.5 : Drone civil
<b>Figure I.6 :</b> Numérisation 3D réalisée par photogrammétrie
<b>Figure I.7 :</b> Les techniques de relevé géométrique à haute définition produisent des fichiers 3D bruts sous forme soit de nuages de points, soit de maillages
Figure I.8: Organigramme fonctionnel de la reconstruction 3D
Figure I.9 : Tableau des pixels de FAST.16Figure I.10 : Pyramide La placienne générée par ORB.17Figure I.11 : La sélection de pixel par ORB.18
Figure I.12: Coordonnées du monde et de la caméra19Figure II.1: Différents châssis de drones22Figure II.2: Châssis F45024
<b>Figure II.3 :</b> Configuration des pins du moteur Brushless
Figure II.4 : Pair d'hélice 10×45 (CW et CCW).28Figure II.5 : Branchement d'un ESC avec moteur brushless.28
Figure II.6: Anatomie d'un ESC.
Figure II.7: Le module MPU6050
<b>Figure II.8 :</b> Branchement du MPU6050 avec Arduino.

Figure II.9: La batterie Li Po 3S 4200 mAh 25C.
<b>Figure II.10 :</b> l'Arduino Mega 2560
Figure II.11: Flysky FS-i6 et son récepteur FS-iA10B
<b>Figure II.12</b> : Structure générale d'un quadrirotor
Figure II.13 : Illustration du mouvement de lacet
Figure II.14: Mouvement de roulis de quadrirotor
Figure II.15: Mouvement de tangage de quadrirotor
Figure II.16: Translation verticale de quadrirotor
<b>Figure II.17:</b> Illustration du mouvement de translation
Figure I.1: Branchement du MPU6050 avec Arduino Mega 2560
<b>Figure II.2 :</b> Programme pour obtenir des mesures d'accélération (x, y, z) sur MATLAB 42
Figure III.3: Mesures d'accélération en fonction de temps
<b>Figure III.4 :</b> Programme pour obtenir des mesures de gyroscope (x, y, z) sur MATLAB 44
<b>Figure III.5 :</b> La variation de vitesse angulaire de gyroscope en fonction de temps
Figure III.6: l'organigramme qui explique le processus
Figure III.7: Programme pour tracer les courbes pitch, roll, yaw
Figure III.8: Les mesures d'angle selon mouvement de gyroscope en fonction de temps 48
Figure III.9: Les différents modes
Figure III.10: branchement du FS-iA10B avec Arduino Mega 2560
Figure III.11: Programme de communication avec l'Arduino et les canaux de transmetteur 51
<b>Figure III.12 :</b> Les valeurs des chaînes avant l'étalonnage
<b>Figure III.13 :</b> Les valeurs des chaînes après l'étalonnage
<b>Figure III.14 :</b> La variation des valeurs des chaines selon les mouvements des sticks

Figure III.15: Branchement du FS-iA10B (IBUS SERVO) avec Arduino Mega 2560
Figure III.16: Programme de communication avec l'Arduino et les canaux de transmetteur 54
<b>Figure III.17 :</b> Les valeurs des chaînes. 54
Figure III.18: La variation des valeurs des chaines
Figure III.19: Difference entre Servo moteur et BLDC moteur
Figure III.20: Branchement Arduino, ESC, BLDC moteur et PWM signale
Figure III.21 : Calibration de l'ESC
Figure III.22: Branchement Arduino mega 2560 avec ESC et FS-iA10B
<b>Figure III.23 :</b> Programme Arduino pour contrôler la vitesse de moteur avec FS-i6X
Figure III.24 : La vitesse de notre moteur et l'entrée que nous avons donnée
Figure IV.1 : Schéma de la boucle de régulateur PID
<b>Figure IV.2:</b> Schéma montre le principe du PID utilisé dans ce régulateur de vol
<b>Figure IV.3:</b> L'organigramme qui explique l'étape de conversion des variables du récepteur en degrés / seconde pour un axe de mouvement « Roll »
<b>Figure IV.4 :</b> L'algorithme utilisé dans le sous-programme PID du régulateur de vol pour un axe de mouvement
Figure IV.5: L'organigramme qui explique le calcul du sorties PID pour un axe de mouvement «Roll»
La Figure IV.6: L'algorithme calculer les impulsions des ESC
La Figure IV.7: Les axes (Roll, Pitch et Yaw) et les mouvements du quadrirotor
<b>Figure IV.8:</b> L'algorithme du PID conduit le quadrirotor de revenir À l'état voulu en agissant sur les ESCs
<b>Figure IV.9</b> : Les impulsions des contrôleurs de vitesse esc avec le signe de régulateur 69

Figure IV.10: L'organigramme qui explique l'algorithme utilisé pour générer des impulsions
PWM aux ESC
Figure IV.11: Conception du matériel du quadrirotor
<b>Figure IV.12:</b> Réponses d'attitude du quadrirotor avec le régulateur PID
Figure IV.13: Signal de commande
<b>Figure IV.14:</b> Le quadrirotor utilisé dans notre projet avec radiocommande Flysky
<b>Figure V.1</b> : prise de vue différentes d'un damier
<b>Figure V.2</b> : Détection des coins des damiers sur la mire de calibration
<b>Figure V.3 :</b> Organigramme de l'étape 5
<b>Figure V.4 :</b> Visualisation d'un nuage de point sous MeshLab
<b>Figure V.5 :</b> Modèle 3D de Flysky sur meshroom
Figure V.6: logiciel 3DF Zephyr
<b>Figure V.7 :</b> Photos de la boite de jus
Figure V.8 : Nuage de points de la boite de jus
<b>Figure V.9 :</b> Modèle 3D de la boite de jus
<b>Figure V.10 :</b> Nuage de points de Flysky
Figure V.11 : Modèle 3D de Flysky sur 3D Zephyr
Figure V.12: Photos structure 1
Figure V.13: Photos structure 2
Figure V.14 : Nuage de points Structure
Figure V.15 : Modèle 3D Structure1.
Figure V.16 : Modèle 3D Structure2.
Figure V.17 : Modèle 3D Structure

# Table des tableaux

Tableau II.1 : Tableau indique les Caractéristiques techniques de Châssis Quadcoptères F45023	3
Tableau II.2 : Caractéristique de moteur    24	4
Tableau II.3 : Configuration des pins du moteur Brushless    25	5
Tableau II.4 : Combinaisons hélices et moteurs    20	6
Tableau II.5 : caractéristiques d'une hélice    2'	7
Tableau II.6: La fiche technique d'hélice 10×45	7
Tableau II.7 : Configuration du brochage du MPU6050	1
Tableau II.8: Branchement du MPU6050 avec Arduino.    32	2
Tableau II.9: La fiche technique de la batterie Li Po 3S 4200 mAh 25C	3
Tableau II.10 : Les caractéristiques d'Arduino Mega 2560.    3-	4
Tableau II.11: Spécification de FlySky FS-i6	5
Tableau II.12 : Spécification de FS-iA10B.    36	6
Tableau III.1: Branchement du MPU6050 avec Arduino Mega 2560	1
Tableau III.2:    branchement du FS-iA10B avec Arduino Mega 2560	0
Tableau III.3: Branchement du FS-iA10B (IBUS SERVO) avec Arduino Mega 2560	3
Tableau III.4: Branchement Arduino Mega 2560 avec FS-iA10B	8
Tableau III.5: Branchement Arduino Mega 2560 avec ESC	9
Tableau IV.1 : Appellation des rotations pour différents degrés de liberté	3
Tableau IV.2: Les constantes PID	7



# Introduction générale

Depuis un certain nombre d'années, on assiste à l'émergence de petits véhicules aériens sans pilote à bord, utilisés notamment pour des applications d'inspection ou de surveillance.

Avec les progrès constants en termes de miniaturisation et réduction des coûts des composants électroniques tels que centrales inertielles, capteurs de vision, ou microprocesseurs, de petits engins aériens pesant seulement quelques kilos peuvent maintenant bénéficier des avancées technologiques qui n'étaient jusqu'alors accessibles que pour des avions classiques. Ceci va permettre le développement d'engins beaucoup plus sophistiqués, dotés de fortes capacités de perception et d'action.

Les robots aériens ou drones (Remotely Piloted Aircraft Systems, en anglais RPAS) sont des engins volants sans pilote, capables de mener à bien une mission de façon plus ou moins autonome. Contrairement aux activités d'aéromodélisme, leur fonction principale est de réaliser une tâche « répétitive, sale ou dangereuse » (Dull, Dirty, Dangerous) de façon plus sûre ou plus efficace qu'un engin piloté à distance. La possibilité d'utiliser des systèmes autonomes tels que les drones aériens dans le secteur civil a été depuis quelques années largement testée grâce à de nombreux projets de recherche, certains financés par la Commission européenne, qui ont permis d'étudier des concepts d'application potentielle des drones comme vecteur expérimental.

La photogrammétrie est une méthode qui permet d'effectuer une modélisation en 3 dimensions et de prendre des cotes ou mesures dans un décor. Cette technique de mesure sans destruction et sans toucher l'objet à mesurer, utilise la parallaxe obtenue entre des prises des vues capturées avec des positions différentes. La méthode se base sur la vision stéréoscopique humaine. Actuellement, la photogrammétrie exploite majoritairement les calculs de corrélation entre des photographies numériques grâce à des logiciels de photogrammétrie très poussés. La photogrammétrie est utilisée depuis plus de 100 ans, mais a été démocratisée avec les drones civils, dans le but de simplifier les levés topographiques de grandes surfaces, ou de modéliser des bâtiments de manières précises afin d'obtenir des volumes précis ou pour la sauvegarde des monuments. Les applications de la photogrammétrie par drone sont très variées.

L'utilisation du drone nous permet de produire un grand volume de données 3D géoréférencées en peu de temps avec des possibilités de prises de vues complexe. Plus proches de l'industrie, les drones se sont surtout développés dans l'inspection de bâtiments et la surveillance d'infrastructures (pipeline, ligne, électriqueligne de chemin de fer), L'installation d'oléoducs et de gazoducs nécessite une planification importante. Les enquêtes par drone aident ces entreprises à évaluer où les pipelines peuvent et ne peuvent pas passer, que ce soit en raison de la proximité de ressources naturelles et de sites de conservation, de constructions ou d'infrastructures préexistantes ou de propriétés privées.

Le but de ce projet est de faire la conception et la commande à base de PID d'un drone quadrirotor á base Arduino, ainsi que la réalisation d'un prototype. Ensuite une représentation tridimensionnelle des objets d'intérêt à partir d'images acquises par nos smartphones pour des premiers tests ainsi par notre drone quadrirotor.

Le mémoire est organisé en cinq chapitres :

Chapitre 01 : État de l'art sur les drones et la photogrammétrie : Dans ce chapitre, nous explorons les différents types de drones et leur historique de développement, avant d'aborder leurs diverses utilisations, ainsi que nous avons présenté la photogrammétrie et sa fonctionnalité principale.

Chapitre 02 : Anatomie d'un drone type quadrirotor et ses composants : la présentation des composants nécessaires à la construction d'un drone quadrirotor, et également une description détailler sur les mouvements du drone.

Chapitre 03 : Commande d'un drone type quadrirotor : dans ce chapitre nous avons présenté des expériences sur le fonctionnement des différentes parties de notre système, le branchement de matériel et une explication sur le logiciel utilisé pour ces expériences.

Chapitre 04 : Tests réels & discussions de résultats : la réalisation d'un véhicule aérien de type Quad X et d'un système de régulation de type PID, ce chapitre est dédié principalement á effectuer des tests réels et présenter les résultats de rotation du drone selon les trois axes x, y et z.

Chapitre 05 : La reconstruction 3D : Ce chapitre est dédié à tous les étapes de la reconstruction 3D, les résultats de nos tests et la critique des différents résultats obtenus.

Enfin nous avons conclus avec une conclusion générale.

# Chapitre I : État de l'art sur les drones et la photogrammétrie

# Chapitre I:

# État de l'art sur les drones et la photogrammétrie

#### I.1 Introduction

Il y a quelques années encore, les drones étaient réservés à des applications de pointe, principalement dans le domaine militaire. Beaucoup ont découvert cette technologie en regardant les images des conflits armés du début des années 2000. A la même époque, on trouvait également des avions ou hélicoptères télécommandés dans les clubs d'aéromodélisme, sous forme de modèles réduits dont la construction et le pilotage demandaient de l'enthousiasme et de la persévérance.

Aujourd'hui, des drones 'intelligents' ont conquis le grand public. Les images d'un drone 'livreur de colis' imaginé par un célèbre distributeur en ligne ont, par exemple, fait le tour du monde. Les appareils modernes sont accessibles à tous, en témoignent les petits drones disponibles pour quelques dizaines d'euros sur Internet, qui permettent déjà de réaliser de petits films aériens sans requérir de compétences de pilotage pointues. Au niveau des secteurs professionnels, la grande diversité des capteurs et des outils que l'on peut embarquer permet d'envisager l'utilisation du drone pour de nombreuses tâches. L'industrie minière, le secteur énergétique, le secteur agricole et forestier, les médias ou encore la promotion immobilière s'approprient rapidement la technologie[1].

Le drone moderne est le fruit de nombreuses innovations technologiques mises au point au cours des dernières décennies, Le présent chapitre vise à comprendre ce contexte technologique, nous présentant des généralités sur les drones en donnant la définition, un historique domaines d'application, Ensuite la photogrammétrie et son principe de fonctionnement [1].

#### I.2 Le drone

#### I.2.1 Définition et mise en contexte

Historiquement, le concept n'est pas neuf et l'utilisation d'avions sans pilote était avancée1. Déjà, pendant la première guerre mondiale, des prototypes d'avions sans pilote radio-commandés ont vu le jour. A titre d'exemple en France, le 2 juillet 1917, le pilote Max Boucher fera voler un avion sans intervention de l'homme sur 1km2.

Au début de l'année 1918, Georges Clémenceau lui-même présentera à la commission sénatoriale de l'armée un projet d'avions sans pilote. Au cours des années 30', c'est principalement l'armée allemande qui développera des recherches sur des vecteurs guidés à distance et prenant la forme de bombes planantes anti-navires. Il faut toutefois attendre les guerres de Corée et du Vietnam pour qu'une réelle technologie des drones militaires se mette en place. C'est aussi au cours des années 70' que les Etats-Unis vont progressivement partager leur technologie avec Israël qui deviendra un des pays les plus en pointe au niveau mondial. Enfin, les années 90' verront émerger la doctrine « zéro mort« qui conduira à développer les projets de drones armés à travers le monde avec pour conséquence l'utilisation de cette technologie dans tous les conflits armés à partir des années 2000.

Pour rappel, le drone est également appelé UAV (Unmanned Aerial Vehicle) ou encore RPAS (Remotely Piloted Aircraft System)3. Il est télécommandé, autonome et peut emporter une charge utile destinée à des missions de type militaire. La taille du drone ainsi que sa masse dépendra des capacités recherchées. Enfin, le drone peut avoir une autonomie de vol de plusieurs dizaines d'heures contrairement aux avions classiques [2].

#### I.2.2 Types de drones

Il existe de nombreux types de drones, chacun avec une forme, une taille, un système de propulsion ou une source d'énergie différents. Les drones ressemblaient à des appareils d'aviation traditionnels : ils ressemblaient à des avions ou à des hélicoptères. Ensuite, les formulaires ont été spécialisés pour répondre au mieux aux missions spécifiques envisagées, en éliminant les éléments inutiles et en optimisant certains points clés pour le vol télécommandé. Si vous considérez un drone comme une machine volante sans pilote, distinguez-le de la charge utile qu'il transporte, qui est

généralement une caméra ou un autre appareil. Le drone n'est pas un outil de mesure, mais il est conçu de manière à tirer le meilleur parti des outils qui y sont attachés [1].

#### I.2.2.1 Drones à voilure fixe

Pour les drones à voilure fixe, la capacité à contrecarrer la gravité est assurée grâce à la présence d'une ou de plusieurs ailes rigides. C'est le profil spécifique des ailes qui produit la force portante lorsque l'appareil est soumis à un vent relatif (3). Les drones en forme d'avion standard appartiennent à cette catégorie, ainsi que toute une série d'appareils aux formes plus originales. Quand les ailes sont indiscernables du corps de l'avion, on parle généralement d'une 'aile volante' (voir **figure I.1**).

Les drones à voilure fixe sont capables de voler sur de grandes distances et sont très bien adaptés aux tâches de cartographie. La nécessité de maintenir une vitesse de déplacement minimale et la maîtrise limitée de leurs mouvements ne permettent cependant pas d'effectuer des manœuvres précises autour d'objets. De plus, leur décollage nécessite une vitesse horizontale initiale : il faudra donc les lancer afin d'initier leur vol [1].



**Figure I.1:** Drone dit 'aile volante [1].

#### I.2.2.2 Drones à voilure tournante

Dans le cas de drones à voilure tournante, le maintien de l'appareil dans les airs est assuré par un ou plusieurs rotors. Chaque hélice, dont le corps est parallèle au sol, exerce une force verticale sur l'air lorsqu'elle se met en rotation. On trouve dans cette catégorie des appareils similaires aux hélicoptères, mais aussi des drones de formes plus spécifiques. L'avantage majeur des drones à voilure tournante réside dans leur aptitude à maintenir un vol stationnaire, qui permet

de prendre des photographies dans de meilleures conditions de stabilité, et donc de multiplier les angles de vue sur un objet d'intérêt.

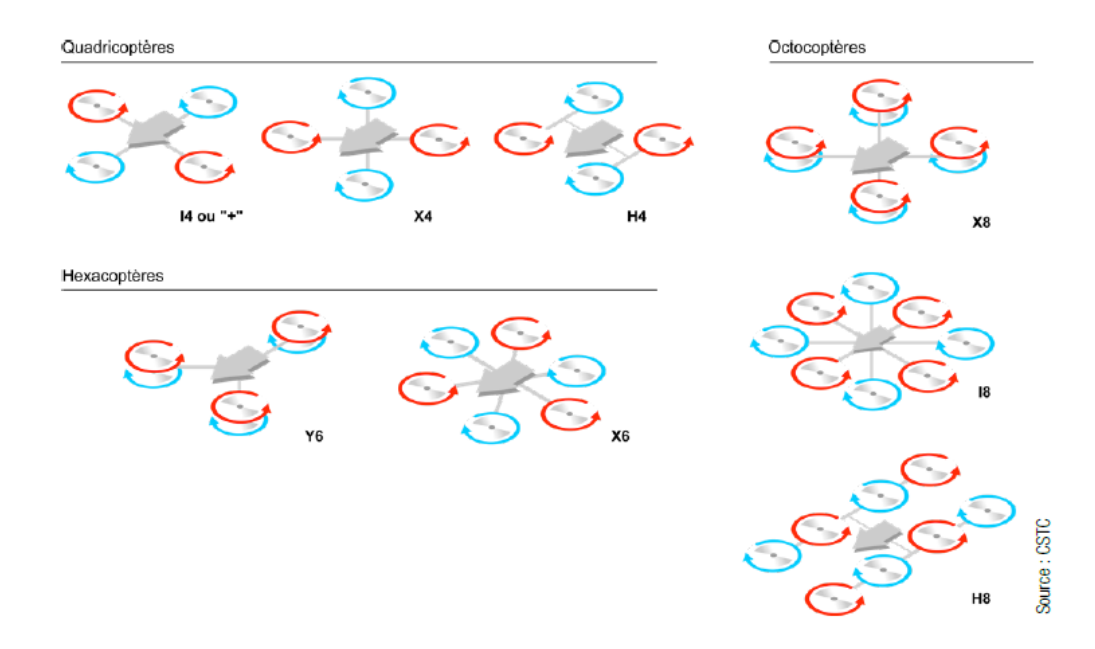
Les hélicoptères sont bien connus dans le monde de l'aviation traditionnelle. Dans ce type d'appareil, c'est un rotor unique (dit 'rotor principal') qui maintient l'appareil dans les airs. Afin d'éviter que l'appareil ne se mette à tourner sur lui-même lorsque le rotor principal tourne, par le principe de l'action et de la réaction, il est indispensable de prévoir un rotor de queue (ou rotor 'anticouple' – voir **figure I.2**) [1].



**Figure I.2**: L'hélicoptère est un sous-type de drone à voilure tournante. Le rotor de queue évite que l'appareil ne se mette à tourner sur lui-même [1].

Les multicoptères, aussi appelés 'multirotors' ou 'multicopters' en anglais, sont très populaires. Ils sont munis de plusieurs bras au bout desquels sont fixées des hélices identiques. Le nombre d'hélices et leur configuration peuvent être très variés, comme indiqué à la figure 7. Cette figure montre également qu'il y a toujours une alternance du sens de rotation des hélices.

En effet, si toutes les hélices tournaient dans le même sens et à la même vitesse, l'appareil entrerait naturellement en rotation autour de son centre de masse [1].



**Figure I.3 :** Configurations fréquentes des hélices des multicoptères. Le sens de rotation des hélices est indiqué par une flèche colorée.

#### I.2.3 Domaines d'applications

#### I.2.3.1 Drone militaires

La famille des drones militaires est très vaste4. Elle peut se subdiviser en plusieurs catégories dont nous résumerons ici l'essentiel. En règle générale, les drones militaires diffèrent selon leur vitesse, leur rayon d'action ainsi que leurs fonctions. Prenons à titre d'exemple les mini-drones qui seront utilisés pour des missions d'observation ; les drones tactiques appelés TUAV (Tactical Unmanned Air Vehicle) ; les drones de combat appelés UCAV (Unmanned Combat Air Vehicle) ou les drones de transport, en cours de préparation, qui seront utilisés pour le transport de troupes au combat.



**Figure I.4 :** Drone militaire.

Les drones militaires ont toujours présenté une alternative intéressante aux avions de combat qui nécessitent plus de moyens humains et financiers. Le drone est discret, rapide et sa masse moins importante. En outre, sa perte s'avère moins lourde qu'un avion et son pilote [2].

#### I.2.3.2 Drone civil

Le drone pour application civile est un aéronef autonome ou téléopéré. Il va se présenter sous deux formes. Le drone peut être multirotors ou de voiture fixe. Les drones mutirotors sont capables de rester immobiles ou de voler à de très faible vitesse dans l'air, ce qui les rend particulièrement utiles pour effectuer par exemple des photos aériennes ou des vidéos. En revanche, les drones à voiture fixe sont utiles pour couvrir de longues distances ou atteindre des hautes altitudes. Ils sont par exemple utilisés pour des missions de sauvetage ou pour des applications topographiques.

Ce qui caractérise enfin le drone à application civile, c'est le capteur qu'il pourra emporter. Le capteur est très souvent une caméra. Cela peut aussi être un appareil photo, voire un compteur Geiger ou un sonomètre. La tendance actuelle est bien entendu de pouvoir embarquer des marchandises d'un point A à un point B ou un émetteur lumière ou wifi pour couvrir une zone particulièrement inaccessible. La possibilité de localiser avec précision (en utilisant un GPS) dans le ciel des points de mesure, est aussi une qualité très recherchée pour beaucoup d'applications [2].

Les applications des drones civils sont multiples et variées. Citons la cartographie, la logistique, la sécurité publique et privée, les prises de vues aériennes (photographies ou vidéos), l'inspection de sites (ex. éoliennes, centrales nucléaires, ...), l'observation d'environnements marins, les secours (ex. : détection de victimes d'avalanches), la thermographie, la recherche agronomique et bien d'autres encore [2].



Figure I.5: Drone civil. [2]

#### I.3 Quadrirotor

#### I.3.1 Description

Le quadrirotor est un objet volant à quatre rotors placés aux extrémités d'un corps rigide en forme de croix. L'électronique de commande est généralement située au centre de la croix qui représente le centre de gravité de la machine. Pour empêcher le quadricoptère de tourner autour de l'axe de lacet, il faut que les hélices appartenant aux paires de moteurs avant et arrière tournent dans un sens et que les hélices appartenant aux paires gauche et droite dans l'autre sens. Pour garder le quadrirotor stable, il est nécessaire de développer des algorithmes qui permettent de contrôler chaque moteur séparément pour compenser l'inclinaison sur chaque axe et ainsi le stabiliser [3].

#### I.3.2 La technologie

Avant de commander n'importe quel système il est nécessaire de bien définir ces composants afin de pouvoir bien pouvoir le modéliser. Comme tout autre robot, quadrirotor se compose

principalement d'une partie mécanique qui forme son squelette et ses muscles, ainsi que d'une partie électronique qui rassemblant les capteurs, le calculateur et les modules de communications [3].

#### I.3.3 Avantages de la configuration quadrirotor

La conception du quadrirotor offre de réels avantages par rapport à d'autres configurations[3] :

- -Leurs tailles réduites et leur manœuvrabilité leurs permettent de voler dans des environnements fermés (Indoor) ou ouverts (Outdoor) et près des obstacles à l'opposition des hélicoptères classiques.
  - -La simplicité de sa mécanique facilite sa maintenance.
- -Aucun embrayage n'est exigé entre le moteur et le rotor et aucune exigence n'est donnée sur l'angle d'attaque des rotors.
- -Quatre petits rotors remplacent le grand rotor de l'hélicoptère ce qui réduit énormément l'énergie cinétique stockée et minimise les dégâts en cas d'accidents.
  - -Son décollage et atterrissage verticaux.
- -Cette configuration est commandée en variant seulement la vitesse de rotation des quatre moteurs.
- -Leur capacité de portance à cause de la présence de quatre rotors au lieu d'un qui peut être augmenté en rallongeant les pales d'un rotor ou en augmentant leur nombre, mais à cause de phénomènes aérodynamiques et d'encombrement, cela à des limites.
  - -Réduction de l'effet gyroscopique.
- -Sa dynamique est plus faible que celle de l'hélicoptère ce qui ne nécessite pas un temps de réaction rapide.

Toutefois, le quadrirotor possède pas mal d'inconvénients qui l'empêchent encore d'être en tête du peloton des UAV's, on peut citer :

- Malgré ses quatre rotors et son équilibre stationnaire, le X4 reste un système sous actionné et dynamiquement instable.
- Le rapport portance-poids reste faible, bien que la portance est avantagée par les quatre rotors, le poids du quadrirotor à vide augmente forcément avec, ce qui résulte en le

fait qu'un grand pourcentage de la portance gagnée est utilisée pour soulever le poids du véhicule même.

- Leur technologie reste émergente, ce qui n'encourage pas les industriels pour investir dessue.

La modélisation 3D est une technique qui consiste à reconstituer en 3 dimensions les d'objets, pour produire ces modélisations 3D, nous combinons différentes techniques et outils. Le drone est un outil particulièrement apprécié pour les modélisations 3D car il permet facilement d'aller capturer la donnée essentielle pour une parfaite reconstruction. [4].

Dans notre travail, on va utiliser le drone quadrirotor pour prendre des images à l'aide d'un camera intégrer ainsi relever des points d'intérêts utilisant la méthode SIFT et relever le nuage des points et puis les reconstruire avec un logiciel de reconstruction 3D pour obtenir des modèles 3D à partir de ces images.

#### I.4 La photogrammétrie

#### I.4.1 Introduction

La photogrammétrie est utilisée depuis plus d'un siècle comme instrument de mesure géométrique, essentiellement dans le domaine de la cartographie, ouaille est la base de la quasitotalité des cartes topographiques du monde. Pendant tout le vingtième siècle, les technologies ont relativement peu évolué. Elles sont restées très onéreuses et confinées dans des grands organismes, instituts géographiques civils ou militaires, ou sociétés privées de topographie. Depuis l'an 2000, trois facteurs ont complètement modifié les possibilités d'usage de la photogrammétrie [6]:

- Le plus important a été la généralisation de l'image numérique de bonne qualité, à des coûts toujours plus bas. Le handicap principal des techniques analogiques était en effet le support des images, plaques de verre ou film de grand format, qui rendait indispensable un système de visualisation optico-mécanique complexe et délicat. Même l'apparition des restituteurs numériques dans les années 80 n'a guère amélioré cette situation ;
- L'augmentation constante de la puissance de calcul des ordinateurs, qui permet de réaliser des opérations complexes en des temps très courts sur des grandes quantités de

données-la généralisation dans le domaine universitaire de logiciels libres a mis à la disposition de tout chercheur des outils extrêmement performants.

#### I.4.2 Historique

La photogrammétrie a fortement évolué depuis sa première application réalisée par un officier de l'armée française, Aimé Laussedat en 1849 sur la façade de l'Hôtel des Invalides : il a eu en effet l'idée d'utiliser des photographies de paysages non seulement pour observer le terrain mais aussi pour le mesurer. Il met ainsi au point une technique qui s'appellera plus tard la photogrammétrie. Laussedat devient professeur au CNAM en 1873, titulaire de la chaire de géométrie appliquée aux arts où il est souvent question de topographie, et celui que l'on peut considérer comme l'inventeur de la photogrammétrie sera même directeur du Conservatoire de 1881 à 1900.

L'autre personnage-clé est Félix Tournachon, plus connu sous le nom de Nadar, qui dans les années 1860 monte en ballon pour photographier Paris et bien d'autres villes, et qui a très bien compris, à en juger par les brevets qu'il a déposés, l'intérêt de la photographie aérienne pour des finalités tant civiles que militaires.

Inventée en France, la photogrammétrie a ensuite été développée et industrialisée de façon très complète en Allemagne. En pratique, il faut attendre l'entre-deux-guerres pour que la photographie aérienne se généralise, avec le développement de l'aviation.

Après-guerre, on observe un emploi de plus en plus systématique de la photogrammétrie pour réaliser les cartes de base de pays entiers.

Les développements de l'imagerie spatiale à haute résolution et de la puissance de l'informatique grand public ont donné depuis peu de nouvelles impulsions à ce domaine. Mais en parallèle, les développements au sein de la communauté de vision par ordinateur, destinés essentiellement à des applications de robotique, ont capitalisé depuis une décennie l'essentiel des efforts de recherche dans ce même domaine. C'est cette communauté qui, actuellement, est principalement porteuse de l'avenir de la photogrammétrie.

Le principe général est basé sur la perception humaine du relief par observation stéréoscopique. Pour le cas de la photogrammétrie aérienne, un avion équipé d'une chambre de prise de vues vole au-dessus d'une région, de façon qu'une partie du terrain figure sur deux clichés correspondant à deux positions différentes de l'avion.

Si on observe simultanément un cliché avec un œil et le second avec l'autre œil grâce à un outil optique approprié (stéréoscope à miroirs, appareil de restitution, ordinateur équipé de lunettes spéciales, etc.), on voit en relief la zone de terrain vue sur les deux images.

La vision humaine permet en effet de voir en relief dans une large gamme de dispositions relatives de ces deux images. Mais si nous disposons ces dernières dans une position relative exactement semblable à celle qu'elles avaient au moment de la prise de vue, alors l'image stéréoscopique observée est une exacte homothétie du terrain réel photographié, pour autant que la chambre de prise de vue soit parfaite (c'est-à-dire n'apporte aucune distorsion à l'image, on l'appelle alors chambre "métrique"), ou que l'image ait été corrigée de sa distorsion. Pour exploiter alors cette scène stéréoscopique, l'appareil de restitution superpose à chaque image un point (le "ballonnet"), que la vision humaine comprendra comme un petit objet dont la position est déplaçable à volonté en hauteur au-dessus de l'image du terrain grâce à des commandes appropriées. L'opérateur aura donc pour travail de promener ce ballonnet dans l'image sur tous les objets à mesurer, pendant que l'appareil archivera toutes les informations numériques produites.

Pour que l'image observée soit une copie exacte de l'objet mesuré, il faut contraindre un certain nombre de points dans l'image en les obligeant à être à des positions relatives similaires aux leurs sur l'objet. Pour un couple stéréoscopique donné, on montre qu'il faut 6 points connus pour que l'image soit fidèle. Ces points seront mesurés : cette opération est appelée stéréopréparation. Lorsque de nombreux couples stéréoscopiques sont enchaînés (bande de clichés aériens), on peut limiter le nombre de points terrain à mesurer en analysant toutes les contraintes géométriques qui se transmettent de cliché à cliché. Le processus de calcul, très complexe, s'appelle aérotriangulation. Par ailleurs, la manipulation des grandes quantités de données numériques extraites est résolue par des logiciels spécialisés, outils permettant la mise en forme finale des données sorties de l'appareil, d'entrée des corrections en provenance des équipes de terrain (qui complètent les levers de toutes les informations non visibles sur les clichés et corrigent

les points douteux, phase dite de complètement), et enfin de formatage et d'édition des données selon les besoins du client [7].

#### I.4.3 Reconstruction 3D

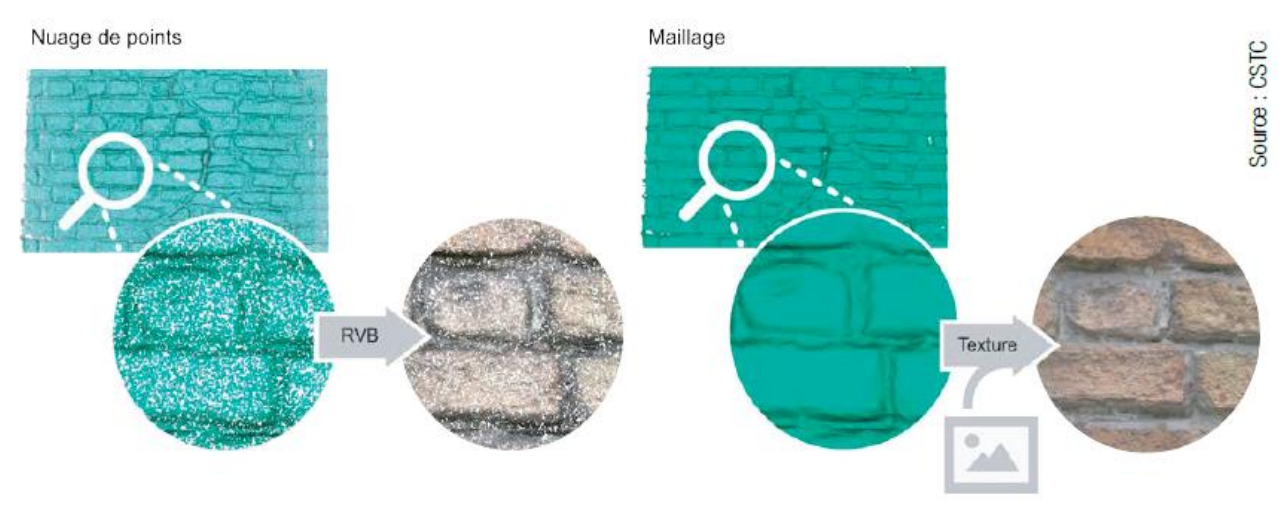
Les technologies de relevé géométrique ont fortement évolué ces dernières années. Elles permettent de numériser automatiquement des objets existants et d'en produire une représentation en très haute résolution (reproduction de détails fins et de couleurs). Le travail de modélisation s'en trouve grandement simplifié ; il n'est même parfois plus nécessaire.

On distingue deux grandes familles de techniques de relevé 3D en haute définition utilisables en combinaison avec un drone : les techniques de scanning 3D à proprement parler, où la géométrie d'un objet est mesurée en temps réel par des systèmes très performants comme les scanners laser, et les techniques de reconstruction photogrammétrique, consistant à déterminer la géométrie de l'objet à partir de photos grâce à un logiciel. Le lecteur intéressé trouvera un aperçu des évolutions récentes en la matière dans la monographie du CSTC intitulée 'Le relevé 3D à l'heure du BIM. Capturer la réalité en haute définition [1].



**Figure I.6 :** Numérisation 3D réalisée par photogrammétrie [1].

Un nuage de points est un type de fichier fréquemment obtenu lorsque l'on fait appel à une méthode de relevé 3D à haute définition. Les objets scannés y sont reproduits sous la forme d'une multitude de points localisés dans l'espace et suffisamment rapprochés pour que l'on puisse distinguer des détails très fins. Un autre type courant de fichier 3D brut est le maillage triangulé ou mesh. L'objet y est représenté par un ensemble de faces triangulaires interconnectées. Au regard de la nature très différente de ces deux types de modèles, l'information de couleur y sera encodée de deux manières distinctes. Dans un nuage de points, une couleur (une valeur RVB) est attribuée à chaque point composant le modèle. Dans le cas d'un maillage, la surface de chaque face triangulaire doit être colorée ; cette opération est réalisée au moyen d'une texture. La texture consiste en une image que l'on colle sur le modèle. La figure 2 montre les distinctions entre ces deux types courants de fichiers 3D bruts issus de relevés en haute définition [1].



**Figure I.7 :** Les techniques de relevé géométrique à haute définition produisent des fichiers 3D bruts sous forme soit de nuages de points, soit de maillages [1].

#### I.4.4 Domaines d'application de la reconstruction 3D

Les applications pouvant bénéficier de la reconstruction 3D, sont toutes les applications usuelles de la synthèse d'images : CAO1, Réalité Virtuelle2, Réalité Augmentée, entraînement, simulation, commerce, loisirs, compression de données, et beaucoup de recherches sont en cours dans ces sens [8].

#### I.4.4.1 Entraînement

Pour toutes sortes d'interventions en milieux hostiles : nucléaire, militaire, spatial ; il est nécessaire de préparer et d'entrainer les hommes à évoluer dans leur futur milieu d'action ; en les plongeant dans une situation simulée le plus fidèlement possible, ils apprennent donc à repérer la topographie du site et de se familiariser à la géographie du lieu à l'aide d'une représentation graphique tridimensionnelle réaliste.

#### I.4.4.2 Simulation

L'intérêt des simulations a été démontré dans des contextes industriels, parfois de façon spectaculaire. Et comme il est fastidieux de produire de tels modèles manuellement, des systèmes automatiques de génération à partir d'images ont ici grand intérêt.

#### I.4.4.3 Compression de données

Calculer de nouvelles vues à partir de quelques images d'une scène, a une application immédiate en compression de données. Le principe est de calculer une représentation géométrique grossière des objets filmés, ainsi que les transformations qu'ils subissent : changements de position, ou de point de vue.

#### I.4.4.4 Imagerie médicale

Depuis de nombreuses années, la manipulation d'images médicales a véritablement aidé le chirurgien dans la pratique de son art. L'utilisation de caméras vidéo, d'ordinateurs, et d'appareils de mesure sophistiqués pour préparer et réaliser les interventions, a permis d'améliorer le confort des patients, de diminuer les complications et de faire d'importantes économies de santé publique. La complexité des données 3D, en imagerie médicale nécessite le développement de modèles intégrants de multiples connaissances et de grandes quantités d'informations, et la synthèse d'images à partir d'images est donc complètement adéquate.

#### I.4.4.5 Commerce

Avec Internet s'est développée la possibilité d'effectuer des transactions financières à distance, et de pratiquer le commerce électronique. Alors, les catalogues agrémentés de photos et de visualisations plus ou moins animées ou interactives, permettent de bien visualiser puis de choisir les produits.

#### I.4.4.6 Conservations

La capture automatique de modèles à partir d'images, peut être utilisée pour la restitution de maquettes numériques d'édifices ou d'objets d'antiquité. Ceci peut simplifier la navigation et les interactions avec les sources documentaires qui lui sont associées. Ces informations et les représentations géométriques multiples des objets constituant l'édifice peuvent être restituées de manière dynamique en fonction de différents points de vue utilisateurs.

#### I.4.4.7 Autres applications

On peut encore citer le domaine des loisirs, et de toutes les applications exigeant un grand nombre d'images : visite de musées virtuels, visualisation de maisons ou d'équipements ménagers pour la vente, de lieux de vacances dans une agence de voyage, jeux vidéo.

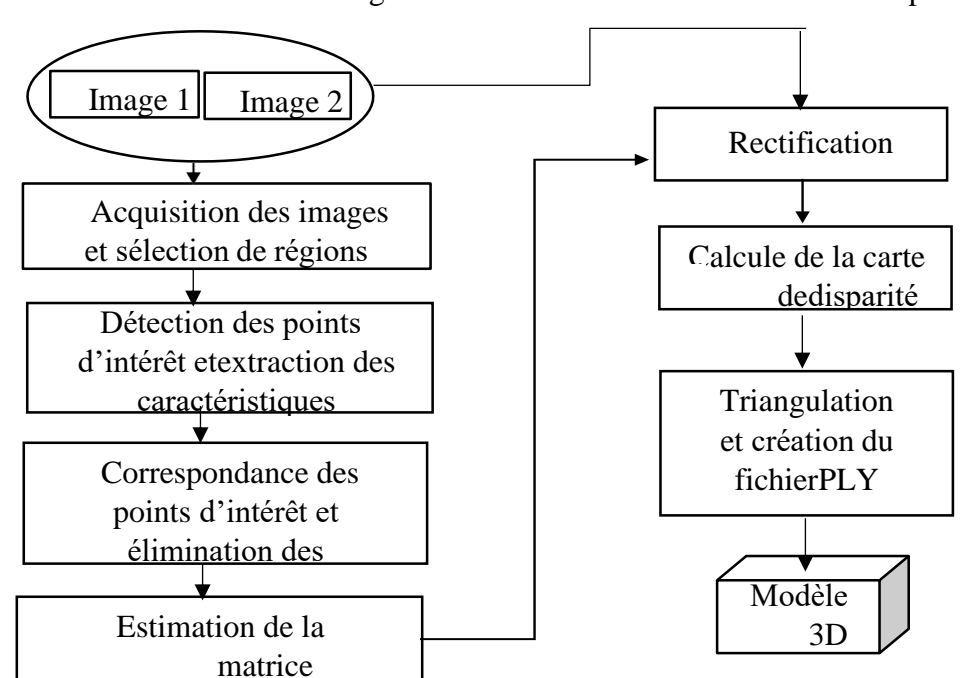
#### I.4.5 Principe de fonctionnement

Le principe général est basé sur la perception humaine du relief par observation stéréoscopique. Pour le cas de la photogrammétrie aérienne, un avion équipé d'une chambre de prise de vues vole au-dessus d'une région, de façon qu'une partie du terrain figure sur deux clichés correspondant à deux positions différentes de l'avion.

Si on observe simultanément un cliché avec un oeil et le second avec l'autre oeil grâce à un outil optique approprié (stéréoscope à miroirs, appareil de restitution, ordinateur équipé de lunettes spéciales, etc.), on voit en relief la zone de terrain vue sur les deux images. La vision humaine permet en effet de voir en relief une large gamme de dispositions relatives de ces deux images. Mais si nous disposons ces dernières dans une position relative exactement semblable à celle qu'elles avaient au moment de la prise de vue, alors l'image stéréoscopique observée est une exacte homothétie du terrain réel photographié, pour autant que la chambre de prise de vue soit parfaite

(c'est-à-dire n'apporte aucune distorsion à l'image, on l'appelle alors chambre "métrique"), ou que l'image ait été corrigée de sa distorsion. Pour exploiter cette scène stéréoscopique, l'appareil de restitution superpose à chaque image un point (le "ballonnet"), que la vision humaine comprendra comme un petit objet dont la position est déplaçable à volonté en hauteur au-dessus de l'image du terrain grâce à des commandes appropriées. L'opérateur aura donc pour travail de promener ce ballonnet dans l'image sur tous les objets à mesurer, pendant que l'appareil archivera toutes les informations numériques produites.

Pour que l'image observée soit une copie exacte de l'objet mesurée, il faut contraindre un certain nombre de points dans l'image en les obligeant à être à des positions relatives similaires à celles de l'objet. Pour un couple stéréoscopique donné, on montre qu'il faut 6 points connus pour que l'image soit fidèle. Ces points seront mesurés : cette opération est appelée stéréopréparation. Lorsque de nombreux couples stéréoscopiques sont enchaînés (bande de clichés aériens), on peut limiter le nombre de points terrain à mesurer en analysant toutes les contraintes géométriques qui se transmettent de cliché à cliché. Le processus de calcul, très complexe, s'appelle triangulation. Par ailleurs, la manipulation de grandes quantités de données numériques extraites est résolue grâce à divers algorithmes et méthodes de traitement d'images. Ceux-ci permettent la mise en forme finale des données en sorties de l'appareil [10].



Le schéma fonctionnel de l'algorithme de reconstruction 3D est illustré par la figure I.9 [9] :

**Figure I.8 :** Organigramme fonctionnel de la reconstruction 3D

#### I.4.5.1 Acquisition des images et sélection des régions d'intérêt

Après avoir acquis le couple d'images, l'opérateur sélectionne l'objet ou la région que nous souhaitons reconstruire à partir des deux images. Une partie de chaque image est isolée centrée sur l'objet/région d'intérêt respectif (nous appelons chaque partie P1 et P2, respectivement.). P1 et P2 doivent être riches en caractéristiques facilement détectables (comme les coins et les bords). Par conséquent, dans le cas d'images très texturées, elles peuvent être de petite taille. Dans le cas d'images à texture fine, la taille de la région d'intérêt doit être grande. En P1 et P2, diverses transformations sont utilisées pour détecter les points les plus informatifs (on parlera des points clés par KP).

#### I.4.5.2 Détection des points d'intérêt et extraction des caractéristiques

Les caractéristiques de chaque KP sont extraites et paramétrées sous la forme d'un vecteur, via les différents descripteurs tels que SIFT, SURF ou ORB. La détection des points clés KP influence de façon considérable les étapes suivantes (l'appariement des KP affecte directement le calcul de la matrice essentielle qui est l'opération pivot de l'ensemble de l'algorithme de reconstruction).

#### • SIFT (Scale Invariant Feature Transform)

SIFT effectue l'extraction des patchs (régions d'intérêt) dans une première image qui peut être comparée aux autres patchs d'une seconde image indépendamment de la rotation, de la translation et de l'échelle. Comme un détail pertinent n'existe qu'à une certaine échelle, les patchs extraits sont centrés sur des points d'intérêt stables. L'idée clé est que, dans une certaine mesure, on peut utiliser l'invariance SIFT pour traiter les transformations d'image qui se produisent lorsque les points de vue changent pendant l'acquisition d'image. L'image est représentée à différentes échelles. SIFT calcule les maxima de la représentation laplacienne à chaque échelle, en utilisant un filtrage par Gaussiennes pour supprimer le bruit. Ces maxima correspondent à des points d'intérêt. Puis pour chaque maximum, un patch est échantillonné. L'origine est le maximum et la direction est le gradient dominant à l'origine.

Pour chaque point clé, une description de ces patchs est associée.

Les données fournies initialement par le détecteur sont les coordonnées des points d'intérêt ainsi que leur échelle caractéristique. Une étape préliminaire consiste à construire l'histogramme des orientations locales définies en chaque point (x) par :

$$\theta(x) = \arctan\left(\frac{L(x, y + 1) - L(x, y - 1)}{L(x + 1, y) - L(x - 1, y)}\right)$$

Cet histogramme se compose de trente-six intervalles (36 classes), couvrant chacun un angle de dix degrés. Ce dernier est pondéré d'une part par un filtre gaussien d'écart type égal à une fois et demie la valeur de l'échelle locale et d'autre part par l'amplitude m de chaque point défini par :

$$m(x,y) = \sqrt{((L(x+1,y) - L(x-1,y))^2 + ((L(x,y+1) - L(x,y-1))^2)^2}$$

La description, qui est généralement stockée sur 128 bits, consiste en une statistique de gradients calculés dans des régions autour du point clé. La taille de la région est déterminée par l'échelle des points clés et l'orientation est déterminée par l'axe dominant. Comme le nombre d'entités extraites peut varier beaucoup en raison de la variabilité de la complexité des textures (d'une image à une autre ou dans différentes parties de l'image), une étape de post-filtrage permet de contrôler le nombre de caractéristiques extraites dans des limites raisonnables (par exemple

entre un et dix milliers par image). Nous utilisons un filtrage pour assurer une bonne répartition dans l'image [31, 32, 33].

#### • SURF (Speeded-Up Robust Features)

Surf s'appuie sur le déterminant de la matrice Hessienne pour sélectionner l'échelle ainsi que l'emplacement des points d'intérêt. Étant donné un pixel p, l'Hessienne de p est :

$$H(f(x,y)) = \begin{bmatrix} \frac{\partial^2 f}{\partial x^2} & \frac{\partial^2 f}{\partial x \partial y} \\ \frac{\partial^2 f}{\partial x \partial y} & \frac{\partial^2 f}{\partial y^2} \end{bmatrix}$$

SURF est basé sur une approximation du filtrage gaussien, permettant de diminuer considérablement les temps de calculs. Il est donné par l'équation (Eq-I.4), que l'on obtient pour un point x sur l'échelle  $\sigma$ :

$$\mathcal{H}(x,\sigma) = \begin{bmatrix} Lxx(x,\sigma) & Lxy(x,\sigma) \\ Lxy(x,\sigma) & Lyy(x,\sigma) \end{bmatrix}$$

Où Lxx  $(\mathbf{x},\sigma)$  est la convolution avec la dérivée gaussienne du second ordre avec l'image I au point x, et de même pour Lxy  $(\mathbf{x},\sigma)$  et Lyy  $(\mathbf{x},\sigma)$ . Les gaussiennes sont optimales pour l'analyse échelle-espace, mais en pratique, elles doivent être rognées et discrétisées.

Afin de garder la cohérence dans le filtrage, un filtre approximé initial de taille 9x9 correspondant à un filtre gaussien d'écart type  $\sigma = 1,2$  est utilisé. Enfin, afin de gérer la multi-échelle, SURF s'appuie sur un ensemble de masques de tailles croissantes (9x9, 15x15, 21x21, 27x27, ...) dépendant de l'écart type de la gaussienne à approximer.

#### ORB (Oriented Fast and Rotated Brief)

ORB fonctionne aussi bien que SIFT dans la tâche de détection de caractéristiques. Il est deux fois plus rapide que SIFT. ORB est basé sur le célèbre détecteur de points clés FAST et le descripteur Brief. Ces deux techniques sont intéressantes en raison de leurs bonnes performances et de leur faible coût. Les principales contributions d'ORB sont les suivantes :

- L'ajout d'un composant d'orientation rapide et précis à FAST
- Le calcul efficace des caractéristiques BRIEF orientées.
- Analyse de variance et corrélation de caractéristiques BRIEF orientées.

#### • Fast (Features from Accelerated and Segments Test)

Étant donné un pixel p, la luminosité de p est comparée à celle des 16 pixels environnants qui sont dans un petit cercle autour de p. Les pixels du cercle sont ensuite triés en trois classes (plus clair que p, plus foncé que p ou similaire à p). Si plus de 8 pixels sont plus sombres ou plus clairs que p, ils sont sélectionnés comme point clé. Ainsi, les points clés trouvés par FAST nous donnent des informations sur l'emplacement des contours déterminants d'une image. (Détecteur de coins)

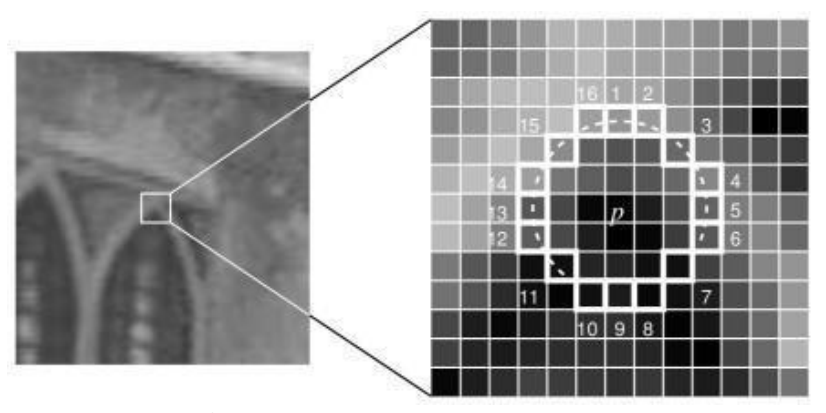


Figure I.9: Tableau des pixels de FAST

Cependant, les entités FAST n'ont pas de composant d'orientation et d'entités multi-échelles. L'algorithme ORB utilise donc une pyramide d'images à plusieurs échelles. Une pyramide d'images (Pyramide Laplacienne). Chaque niveau de la pyramide contient la version sous-échantillonnée de l'image par rapport au niveau précédent. Une fois que la pyramide d'images a été créée, ORB utilise l'algorithme FAST pour détecter les points clés dans l'image. En détectant les points clés à chaque niveau, l'ORB localise efficacement les points clés à une échelle différente.

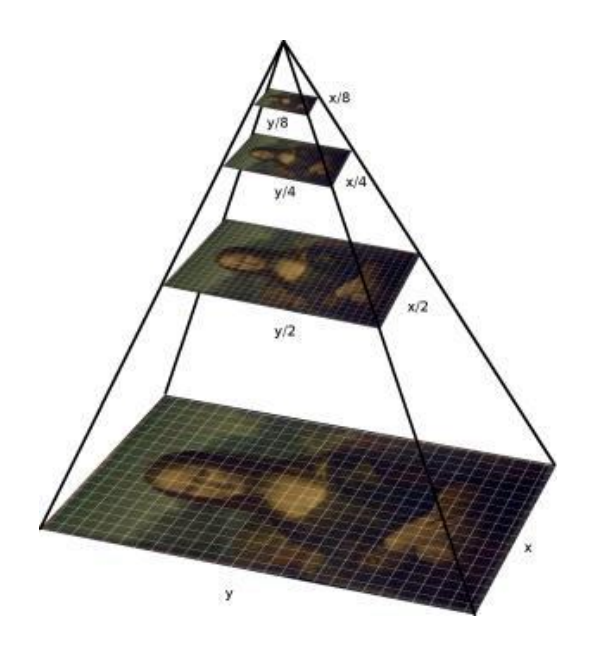


Figure I.10: Pyramide La placienne générée par ORB

Après avoir localisé les points clés, une orientation à chaque point clé est attribuée. Pour détecter le changement d'intensité, ORB utilise le centre de gravité. Le centroïde d'intensité suppose que l'intensité d'un coin est décalée de son centre, et ce vecteur peut être utilisé pour attribuer une orientation.

Le centroid ou centre de masse est définis par l'équation suivante :

$$C = \left(\frac{m_{10}}{m_{00}}, \frac{m_{01}}{m_{00}}\right)$$

Avec m les moments des patchs de points clés calculés par :

$$m_{pq} = \sum_{x,y} x^p y^q I(x,y)$$

L'orientation du patch est donnée par l'expression suivante :

$$\theta = \operatorname{atan} 2(m_{01}, m_{10})$$

Puis le descripteur est calculé par FAST.

#### • Brief (fonction élémentaire indépendante robuste binaire) :

Brief prend tous les points clés trouvés par FAST et les convertit en un vecteur de caractéristiques binaires représentant un objet. Le vecteur de caractéristiques binaires, également appelé descripteur de caractéristiques binaires, est un vecteur de caractéristiques qui ne contient que des 1 et 0. En bref, chaque point clé est décrit par un vecteur de caractéristiques constitué d'une chaîne de 128 à 512 bits.

Brief débute par le lissage de l'image à l'aide d'un noyau gaussien afin d'éviter que le descripteur soit affecté par le bruit. Ensuite, une paire aléatoire de pixels dans un voisinage défini autour de ce point clé est sélectionnée. Le voisinage défini autour du pixel constitue la région d'intérêt. Le premier pixel de la paire aléatoire est tiré d'une distribution gaussienne centrée autour du point clé avec une déviation sigma. Le deuxième pixel de la paire aléatoire est tiré d'une distribution gaussienne centrée autour du premier pixel avec un écart type ou un étalement de sigma par deux. Maintenant, si le premier pixel est plus lumineux que le second, il attribue la valeur 1 au bit correspondant sinon 0.

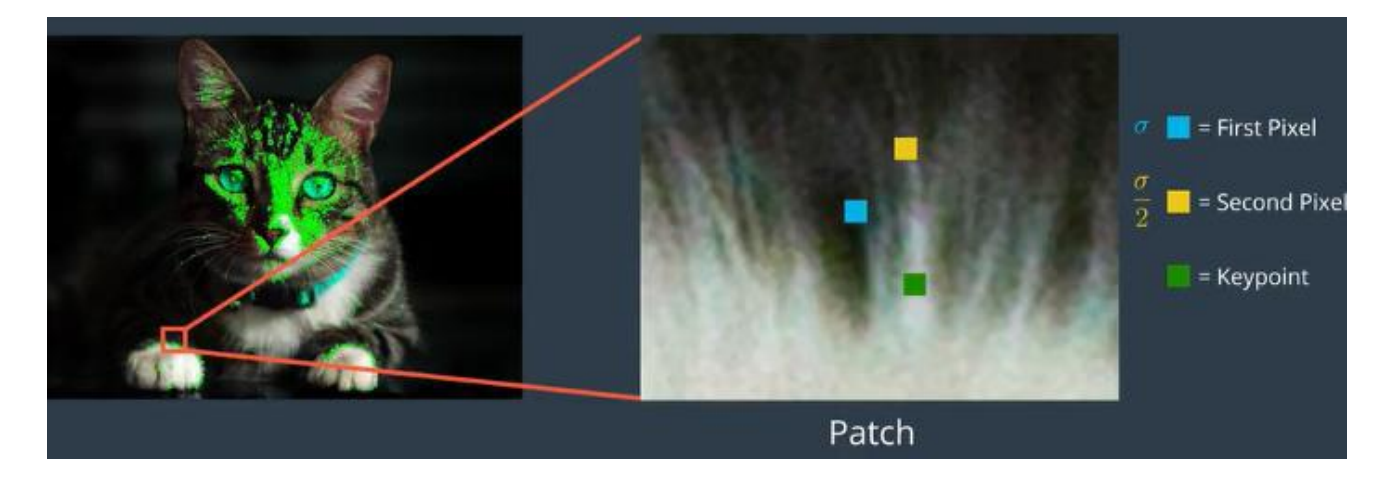


Figure I.11: La sélection de pixel par ORB

#### I.4.5.3 Correspondance des points d'intérêt et élimination des correspondances non fiables

Les Points d'intérêt analogues dans les deux portions d'image sont mis en correspondance, en recherchant, pour chaque vecteur de caractéristiques de la première image, le vecteur de caractéristiques le plus proche de la deuxième image. Les points d'intérêt appariés dont les vecteurs de caractéristiques sont plus éloignés qu'un certain seuil sont supprimés. Le seuil est fixé entre 0,9

et 1,5 fois la distance moyenne sur l'ensemble des couples des vecteurs de caractéristiques des points d'intérêt analogues, en fonction du nombre total de points appariés. Cette étape nous permet non seulement d'affiner les correspondances trouvées, mais aussi de réduire le temps de calcul de l'étape suivante, c'est-à-dire l'élimination des valeurs aberrantes, puisqu'il sera réalisé sur moins de couples de points. Pour supprimer les valeurs aberrantes, le test randomisé RANSAC avec rapport de probabilité séquentielle est utilisé, car il est l'une des méthodes plus rapides.

#### I.4.5.4 Estimation de la Matrice essentielle et Rectification

Avec les points appariés restants en entrée, l'algorithme donne en sortie une estimation de la matrice fondamentale (E) basée sur le principe suivant :

Supposons qu'il existe un point p dans le système de coordonnées du monde, la coordonnée est X, son image dans la caméra 1 est x1 et son image dans la caméra 2 est x2, comme suit :

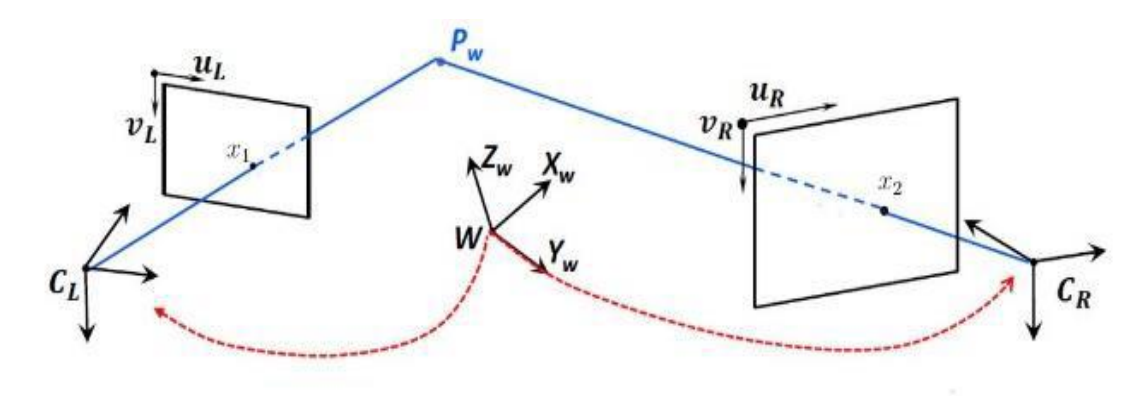


Figure I.12: Coordonnées du monde et de la camera

Supposons que les distances verticales de X aux plans d'image des deux caméras soient respectivement s1 et s2, et que les deux caméras aient la même matrice de paramètres internes K, et que la relation de transformation avec le système de coordonnées mondiales soit [R1, T1] et [R2, T2], on peut alors obtenir les deux équations suivantes :

$$s_1x_1 = K(R_1X + T_1)$$

$$\mathbf{s_2}\mathbf{x_2} = K(R_2X + T_2)$$

Puisque K est une matrice inversible, on multiplie les deux équations par l'inverse de K pour obtenir :

$$s_1 K^{-1} x_1 = (R_1 X + T_1)$$

$$s_2K^{-1}x_2 = (R_2X + T_2)$$

Supposons que:

$$K^{-1}x_1 = x_1'$$
,  $K^{-1}x_2 = x_2'$ 

Puis:

$$s_1 x_1' = (R_1 X + T_1)$$

$$s_2 x_2' = (R_2 X + T_2)$$

x'1 et x'2 sont les coordonnées normalisées de l'image.

Étant donné que le système de coordonnées mondial peut être sélectionné arbitrairement, nous choisirons le système de coordonnées mondial comme système de coordonnées de la première caméra. La formule ci-dessus devient :

$$s_1x_1' = X$$

$$s_2 x_2' = (R_1 X + T_2)$$

En l'écrivant sous la deuxième forme :

$$s_2 x_2' = s_1 R_2 x_1' + T_2$$

Le vecteur tridimensionnel est défini par :

$$\hat{T}_{2}x_{1}' = [T_{2}]_{x}x_{2}' = \begin{bmatrix} 0 & -t_{3} & t_{2} \\ t_{3} & 0 & -t_{1} \\ -t_{2} & t_{1} & 0 \end{bmatrix}$$

Le Vecteur est perpendiculaire à x'2 et T2

En utilisant le vecteur pour faire le produit scalaire des deux côtés de l'équation on obtient :

$$x_2' \widehat{T}_2 R_2 x_1' = 0$$

D'où la déduction de l'expression de la matrice essentielle à travers l'équation des contraintes épi polaire comme suit :

$$E = \hat{T}_2 R_2$$

La valeur estimée de E est utilisée pour rectifier les deux images, c'est-à-dire de les transformer, par une homographie projective, de sorte que les rangées de la première image soient alignées avec les rangées analogues de la deuxième image. A noter que la rectification peut être précise (jusqu'à un certain degré) uniquement si la taille des photos détecteurs et le décalage entre l'axe optique et le centre de l'image, qui composent les paramètres intrinsèques de la caméra ainsi que la distance focale, soient connus. Pour limiter le temps de calcul, la rectification est effectuée uniquement pour les régions d'intérêt.

#### I.4.5.5 Calcul de la carte de disparité

La carte de disparité est calculée sur les deux sous-images rectifiées.

La disparité fait référence au décalage horizontal entre les points analogues des deux images considérées. La reconstruction doit être la plus réaliste que possible. Donc, cette étape doit être effectuée pour tous les points des deux images afin d'éviter des « trous » dans le modèle 3D et, ainsi, obtenir une reconstruction fidèle à la réalité.

La correspondance des points est exécutée au moyen de l'algorithme de correspondance de blocs semi-global.

#### I.4.5.6 Triangulation et création du fichier PLY

Enfin, la reconstruction 3D de la zone d'intérêt est obtenue, à partir de la carte de disparité, par triangulation.

La triangulation fait référence au processus de détermination d'un point dans l'espace 3D compte tenu de ses projections sur deux ou plusieurs images. Afin de résoudre ce problème, il est nécessaire de connaître les paramètres de la fonction de projection des caméras de 3D à 2D pour les caméras concernées, dans le cas le plus simple représenté par les matrices de caméras. La triangulation est parfois aussi appelée reconstruction ou intersection.

L'équation de triangulation est la suivante :

$$x = \frac{b \cdot u}{d}, y = \frac{b \cdot v}{d}, z = \frac{b \cdot f}{d}$$

Où u, v = coordonnées 2D du point à reconstruire, exprimé dans le système d'images.

x, y, z = Coordonnées du point reconstruit, exprimé dans le système de référence 3D choisi.

f = La focale de la camera

b = La distance entre chaque prise

d = La disparité entre chaque prise

L'algorithme crée également un fichier PLY du nuage de points. Ce format permet d'associer les coordonnées de chaque point reconstruit à ses valeurs d'intensité de couleur (RGB). Ce qui rend le modèle 3D plus réaliste. Le format PLY peut être lu par tous les logiciels de visualisation 3D les plus courants, de sorte que le nuage de points peut être facilement présenté et utilisé par l'opérateur.

#### I.4.5.7 Génération du Modèle 3D

Cette partie a été effectuée en faisant l'importation du nuage de points ainsi que leurs photos correspondantes vers des logiciels de traitement d'images dont on parlera plus en détails dans le chapitre 5.

#### I.5 Conclusion

Dans ce chapitre nous avons exposé des généralités sur les drones et son domaine d'applications ainsi que le drone quadrirotor, le type qui nous intéresse dans ce travail. Nous avons donné également les différents éléments nécessaires à notre projet. A savoir le principe de base de la photogrammétrie domaines d'application et son fonctionnement.

Le chapitre suivant est consacré à la présentation des différents composants constituant un quadrirotor.

# Chapitre II:

# Anatomie d'un drone type quadrirotor et ses composants

# Chapitre II:

# Anatomie d'un drone type quadrirotor et ses composants

#### **II.1 Introduction**

Dans ce chapitre on va présenter les différentes pièces, les composants nécessaires à la construction d'un drone quadrirotor, ceux-ci incluent le système d'alimentation, le contrôleur de vol, les hélices, les capteurs, le transmetteur et son récepteur. Ensuite, on va détailler les mouvements de drone.

#### II.2 Les composants de notre réalisation

#### II.2.1 Le châssis

Le châssis est la structure du drone sur laquelle viennent se fixer tous les autres composants, à savoir les pièces électroniques, les moteurs ou encore les différents capteurs. Cette structure peut prendre des formes très différentes selon le type de drone. A puissance égale, un drone constitué de composants plus légers pourra soulever une charge plus importante.

Cela explique la recherche constante de matériaux légers et résistants pour fabriquer le châssis.

Un drone comporte en général des bras sur lesquels sont fixés les moteurs. Ces bras peuvent être attachés mécaniquement à un élément central du châssis ou moulés directement dans un châssis monobloc. La longueur des bras dépendra de l'importance accordée à la stabilité et à la manœuvrabilité du drone. Si l'on privilégie la stabilité, on optera pour des bras longs, alors que des bras courts rendront le drone plus réactif. Pour plus de facilité lors du transport, certains châssis disposent d'éléments repliables (voir figure). Les trains d'atterrissage peuvent être considérés comme faisant partie du châssis. Ils permettent au drone de se poser sans endommager

l'équipement embarqué. Il est également possible de monter un système de train rétractible à distance, afin de ne pas gêner la prise de vue [1].



Figure II.1 : Différents châssis de drones [11].

Dans notre réalisation on a choisi le type des drones appeler 'prise en vue' ou FPV (first person View) ce type offre l'avantage de la stabilité par apport a d'autre type de véhicule aérien.

Pour construire notre propre multirotor de A à Z. Son assemblage est simple et rapide. Les 4 bras sont vissés entre la plaque inférieure et la plaque supérieure. Ce châssis a une envergure de 450 mm et pèse 272 grammes.

Cette structure permettra d'accueillir toute l'électronique : ESCs, moteurs, contrôleur de vol... Quelques soudures seront à prévoir sur la PCB intégrée dans la plaque inférieure. La propulsion recommandée repose sur des moteurs 2212, des hélices 10x45 en 3S et 8x45 en 4S pour un poids total en vol situé entre 800 et 1600 grammes maximum.

#### Points forts [12]:

- Châssis F450 polyvalent facile à monter
- Robuste et léger : 272 g seulement
- Propulsion modulable, de 3 à 4S
- 800 à 1600 g en vol

# Caractéristiques techniques [12]:

Référence	F450
Dimensions	450 mm
Poids	272 grammes
Couleur	Frame : noir et or/ bras
	: rouge et noir
Matériau(x)	Bras en ABS
Hélices	10x4.5 en 3S ou 8x4.5
	en 4S
Moteurs	2212 et ESCs 30A
Batterie	3 et 4S
Autres spécifications	En kit à monter

**Tableau II.1 :** Tableau indique les Caractéristiques techniques de Châssis Quadcoptère F450.



**Figure II.2 :** Châssis F450 [12].

#### II.2.2 Les moteurs

Le 2212 (BLDC) BRUSHLESS DC MOTOR est un moteur brushless à haute vitesse conçu spécifiquement pour les quadcoptères, les drones ou les avions jouets. Le moteur est de type OUTRUNNER où le boîtier extérieur tourne tandis que l'intérieur reste fixe. C'est l'un des modèles les plus populaires sur le marché en raison de son faible coût. Il est préféré pour les petits drones et avions. Ce modèle est disponible en différentes vitesses et doit être choisi en conséquence [13].

Le nom du moteur sans balais est le suivant : a2212/1000KV.

Information	Représente	Informations
		complémentaires
22	Diamètre du	Avec un plus
	moteur (22mm dans ce	grand diamètre, nous
	cas)	aurons plus de couple.
		*Choisissez le
		plus grand
12	Hauteur du	
	moteur (12mm dans ce	*Choisissez le
	cas)	plus grand
1000KV	Nombre de tours	*Choisissez un
	effectués par le moteur	moteur avec un KV
	par volt d'alimentation	plus élevé pour une
	(1000 tours par volt	meilleure poussée.
	ici. Si la tension	
	d'alimentation est de	
	10 volts, le moteur	
	tournera à 10000 tours	
	par minute).	

**Tableau II.2 :** Caractéristique de moteur [13].

Un nombre de tours inférieur signifie une vitesse élevée mais un couple inférieur. De même, un nombre plus élevé de tours signifie une vitesse moindre mais un couple plus élevé.

Configuration des pins du moteur Brushless :

Le moteur a trois pins comme indiqué sur la figure. La connexion interne entre trois d'entre elles est indiquée ci-dessous.

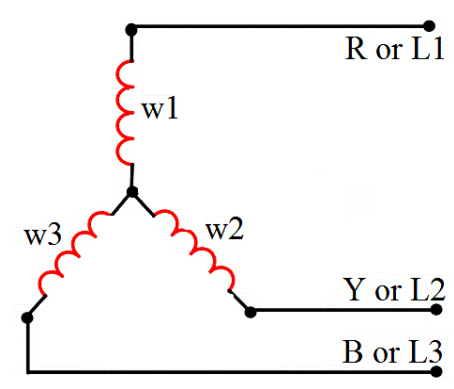


Figure II.3: Configuration des pins du moteur Brushless

Nom de la pin	Description
R ou L1	Connecté à
	l'enroulement 1 ou à la
	phase 1
Y ou L2	Connecté à
	l'enroulement 2 ou à la
	phase 2
B ou L3	Connecté à
	l'enroulement 3 ou à la
	phase 3

Tableau II.3: Configuration des pins du moteur Brushless

Caractéristiques et spécifications [14] :

• Tension de fonctionnement : 7,2V à 12V (2 à 3Li-poly ou 6 à 10 NiCad)

• Courant à vide : 0.5Amp

Courant maximum: 13Amp pour 60Sec

• Puissance maximale: 150 watts

• Poids du moteur : 50-60 grammes

- Température maximale de fonctionnement : + 80°C
- Contrôle complet de la vitesse grâce à la connexion triphasée.
- Longue durée de vie car il n'y a pas de contacts mobiles.

Il n'existe pas de norme industrielle pour ces moteurs sans balais. Les appareils des différentes sociétés ont des valeurs nominales légèrement différentes. Il faut consulter la fiche technique du moteur BLDC pour plus d'informations sur un modèle particulier.

Voici quelques raisons pour lesquelles le moteur 2212 BLDC est préféré aux autres moteurs:

- Le 2212 est utilisé lorsque le coût du projet est faible. Le 2212 est l'un des moteurs les moins chers et les plus robustes du marché. Il est disponible sur tous les marchés électroniques.
- Le 2212 est facile à utiliser, étant donné qu'il existe de nombreux modules de commande pour ce moteur. Avec ces modules, nous pouvons facilement contrôler la vitesse du moteur sans balais.
- Grâce aux connexions triphasées, nous pouvons contrôler la vitesse du moteur de manière plus précise et plus régulière.
- L'efficacité est également l'une des raisons de choisir ce moteur. Le rendement de ce moteur est bon compte tenu de son coût d'achat.

#### Applications:

- Drones
- QUADCOPTERS
- Robotique
- Avions jouets
- Projets de loisirs

#### II.2.3 les hélices

Elles sont souvent en matière plastique mais aussi parfois en matériaux composites. Elles sont identifiées par leur diamètre et leur pas indiqués en pouces (ex : 10x4,5). Sur un drone quadrirotor, il faut 2 hélices à sens horaires et 2 hélices à sens anti-horaire [15].

Voici quelques exemples de combinaisons d'hélices et de moteurs :

Moteurs	Hélices	Résultats
KV	Grandes	NON → tire fort sur la batterie et risque de cramer les
élevé	hélices	moteurs.
KV	Petites	OUI → pour du vol acrobatique.
élevé	hélices	
KV	Grandes	$OUI \rightarrow pour du vol stable.$
faible	hélices	
KV	Petites	$NON \rightarrow$ pas assez de portance, le drone ne décollera pas.
faible	hélices	

Tableau II.4: Combinaisons hélices et moteurs [15].

Structure	Conséquence
Grande hélice	Beaucoup de portance, vol stable mais a besoin de puissance pour
	faire 1 tour entier → il faut un moteur puissant.
Petite hélice	Moins de portance, vol réactif et a besoin de moins de puissance pour
	faire 1 tour entier.
Petit pas	Plus grande traction à faible vitesse, mais vitesse maxi limitée.
Grand pas	Plus petite traction à faible vitesse, mais vitesse maxi élevée.

**Tableau II.5:** caractéristiques d'une hélice [15].

Bien souvent, les caractéristiques d'une hélice sont présentées sous cette forme : 1045 dans cet exemple, ça signifie simplement une longueur de 10 pouces et un pas 4,5 pouces our du vol acrobatique, on préfèrera des hélices courtes apportant de la réactivité au drone. Pour du vol stable, on préfèrera des hélices longues apportant de la stabilité. Ça permettra également de transporter des charges (une caméra par exemple) [15].

Selon la fiche technique précédente (Tableau II.5) du moteur que nous avons choisi, l'hélice parfaite pour notre propulseur est :

Type d'hélice	Hélice d'avion
(catégorisation)	
Nombre de pales	2 pales
Taille d'hélice	10×45 pouces
	(25.4cm)
Matière de fabrication	Plastique

**Tableau II.6:** La fiche technique d'hélice 10×45.

Les hélices que on a utilisées sont en plastique de taille 10 pouces et un pas de 45 (10×45).



Figure II.4: Pair d'hélice 10×45 (CW et CCW).

Applications:

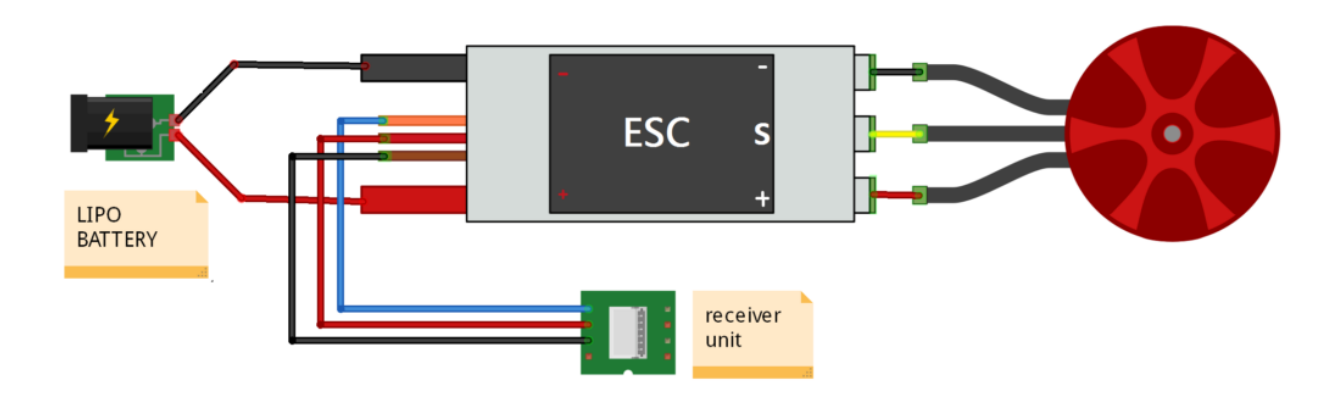
- Drones
- QUADCOPTERS

# II.2.4 Les Contrôleurs de vitesse électroniques (ESC)

Un contrôleur de vitesse électronique, ou ESC, prend la puissance de la batterie et l'envoie aux bobines du moteur sans balai de manière à le faire tourner à la vitesse commandée à son entrée. Chaque contrôleur contient plusieurs transistors à effet de champ (FET) pour contrôler

l'alimentation et des capteurs pour déterminer la position du moteur pour déterminer la position du moteur, ainsi qu'un contrôleur intégré pour relier le tout oui, chaque ESC a son propre petit processeur, et dans certains cas, vous pouvez réellement mettre à jour le code, bien que nous n'en ayons pas besoin [16].

Un ESC sert à contrôler la vitesse de rotation d'un moteur brushless.



**Figure II.5:** Branchement d'un ESC avec moteur brushless.

#### Avantages:

- Programmable à l'aide d'une carte de programmation ou d'un émetteur
- Réglage linéaire de l'accélérateur très doux et précis
- Supporte les moteurs à haut régime.
- Utilise des MOSFETs plus petits pour minimiser le poids.
- Perte de chaleur minimale

#### Anatomie d'un ESC:



Figure II.6: Anatomie d'un ESC.

Comme on peut le voir sur la figure ci-dessus, un ESC possède un connecteur 3 broches

(parfois, seulement deux) sur lequel on retrouve

• Une broche de masse, ici le fil noir : à mettre en commun avec les masses des autres

composants

• Une broche signal, ici le fil blanc : c'est une broche d'entrée sur laquelle on envoie

le signal de commande de l'ESC

• Une broche d'alimentation (optionnelle), ici le fil rouge : cette broche fournie une

alimentation +5V qui peut servir à alimenter d'autres composants (un récepteur RF par

exemple). Ça implique que l'ESC embarque un régulateur de tension en interne, ce qui n'est

pas toujours le cas.

Du même côté que ce connecteur, on retrouve deux fils plus épais, un rouge et un noir. On

devine rapidement qu'il s'agit de l'alimentation de l'ESC, à brancher directement sur l'alimentation

générale du drone.

Enfin, de l'autre côté, trois fils, de la même couleur. Ces fils sont à brancher sur le moteur à

contrôler.

Le choix des ESC est assez simple et dépend beaucoup de votre budget et de la qualité

désirée. Les variateurs ont deux valeurs importantes : l'ampérage et le voltage.

Exemple: ESC 30A 3-4S

• 30A veut dire qu'il peut fournir jusqu'à 30A

• 3-4S définit le nombre de cellules de la batterie qui l'alimentera et donc son voltage

(pour une batterie LiPo, on compte en général 3.7V / cellule)

Sur la fiche technique des moteurs est indiqué leur consommation maximale. Si un moteur a

une consommation maximale de 25A, il faut prendre des ESC d'au moins 30A.

Applications:

**Multirotors** 

Avions RC

Quadcopter

Hexacopter etc.

38

#### II.2.5 MPU6050

Le module MPU6050 est un microsystème électromécanique (MEMS) qui comprend un accéléromètre à 3 axes et un gyroscope à 3 axes. Cela nous permet de mesurer l'accélération, la vitesse, l'orientation, le déplacement et de nombreux autres paramètres liés au mouvement d'un système ou d'un objet.

## Configuration du brochage du MPU6050 :



**Figure II.7 :** Le module MPU6050. [18]

Chapitre II: anatomie d'un drone type quadrirotor et ses composants

Numéro de la broche	Nom de la broche	Description
1	Vcc	Fournit l'alimentation du
		module, peut être de +3V à
		+5V. Généralement, le +5V est
		utilisé
2	Ground	Connecté à la terre du
		système
3	Serial Clock (SCL)	Utilisé pour fournir une
		impulsion d'horloge pour la
		communication I2C.
4	Serial Data (SDA)	Utilisé pour le transfert de
		données par la communication
		I2C
5	Auxiliary Serial Data	Peut être utilisé pour
	(XDA)	interfacer d'autres modules I2C
		avec MPU6050. Il est optionnel
6	Auxiliary Serial Clock	Peut être utilisé pour
	(XCL)	interfacer d'autres modules I2C
		avec MPU6050. Il est optionnel
7	AD0	Si plus d'un MPU6050 est
		utilisé par un seul MCU, cette
		broche peut être utilisée pour
		faire varier l'adresse.
8	Interrupt (INT)	Broche d'interruption
		pour indiquer que les données
		sont disponibles pour la lecture
		par le MCU.
		l .

Tableau II.7: Configuration du brochage du MPU6050 [18]

#### Caractéristiques du MPU6050[17]:

- Valeurs combinées de l'accéléromètre MEMS 3-aixs et du gyroscope 3 axes
- Alimentation électrique : 3-5V
- Communication : protocole I2C
- ADC 16 bits intégré pour une grande précision
- Le DMP intégré fournit une puissance de calcul élevée.
- Peut être utilisé pour s'interfacer avec d'autres dispositifs IIC comme le magnétomètre.
  - Adresse IIC configurable
  - Capteur de température intégré

#### Accéléromètre [19]

- L'un des composants clés du MPU-6050 est un accéléromètre. Comme son nom l'indique, il s'agit d'un dispositif capable de mesurer l'accélération.
- L'accélération est décrite comme étant le taux de changement de la vitesse d'un objet. Un objet se déplaçant à une vitesse constante n'a pas d'accélération.
- Une unité courante d'accélération est la force G. Sur Terre, une force G équivaut à 9,9 mètres par seconde au carré, ce qui correspond à l'accélération de la gravité. Sur d'autres planètes, le chiffre est différent.
- Un accéléromètre doit prendre en compte l'accélération statique comme la force de gravité lorsqu'il effectue ses mesures.
- L'accéléromètre utilisé dans le MPU-6050 est un accéléromètre à trois axes, ce qui signifie qu'il détecte l'accélération sur les axes X, Y et Z.

#### Gyroscope [19]

- Un autre composant clé du MPU-6050 est le gyroscope.
- Un gyroscope peut mesurer le moment angulaire ou la rotation le long des axes X, Y et Z. Ces composants sont essentiels pour maintenir l'équilibre des avions et des engins spatiaux.

- Un gyroscope mécanique est constitué d'une roue ou d'un disque monté de manière à pouvoir tourner rapidement autour d'un axe libre de se déplacer dans n'importe quelle direction.
- Le type de gyroscope utilisé dans le MPU-6050 est un gyroscope "Micro Electro Mechanical System" ou MEMS. Il se compose de trois capteurs, un par axe, qui produisent une tension lorsqu'ils tournent. Cette tension est échantillonnée en interne à l'aide d'un convertisseur analogique-numérique 16 bits.

Branchement du MPU6050 avec Arduino:

Il est très facile de brancher le MPU6050 avec Arduino.

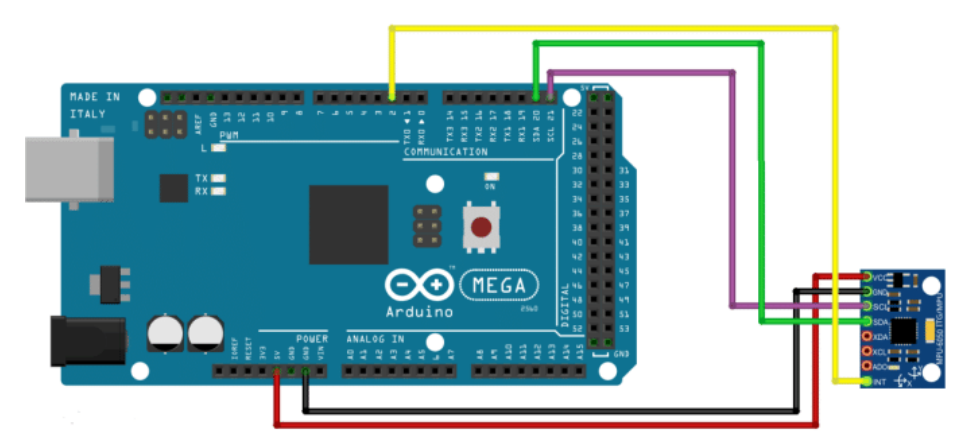


Figure II.8: Branchement du MPU6050 avec Arduino.

Arduino	MPU6050
5v/3v	VCC
GND	GND
A5/ SCL pin	SCL
A4/SDA pin	SDA

Tableau II.8: Branchement du MPU6050 avec Arduino.

#### Applications:

- Utilisé pour la mesure de l'IMU
- Drones / Quadcopters
- Robots auto-équilibrés

- Contrôle des bras robotiques
- Robots humanoïdes
- Capteur d'inclinaison
- Détecteur d'orientation / de rotation

#### II.2.6 Source et gestion d'énergie Batterie LiPo

La plupart des multicoptères électriques sont équipés de batteries de type lithium-ion-polymer ou LiPo. Ces modèles de batteries permettent d'emmagasiner suffisamment d'énergie et leur poids est moindre que les batteries lithium-ion, à capacité égale. En d'autres termes, elles possèdent le meilleur rapport puissance/masse. De plus, leur capacité à offrir une décharge rapide, grâce à leur faible résistance interne, se révèle très utile. Ce type de batterie est toutefois hautement inflammable, et il est donc essentiel de prendre ce risque en compte lors de leur manipulation, leur chargement et leur stockage [1].

Le tableau (II.2) montre les paramètres de l'accumulateur Batterie LiPo 3S 4200mAh choisi dans notre réalisation.

Batterie	Li Po HJPOWER
Le voltage(v)	3×3.7=11.1
La capacité(mAh)	4000
Le taux de décharge	25C
Configuration (nombre de cellules)	3s
Poids(g)	275
Type de connecteur	XT60
La taille(cm)	4×2×13

**Tableau II.9:** La fiche technique de la batterie Li Po 3S 4200 mAh 25C.



Figure II.9: La batterie Li Po 3S 4200 mAh 25C.

#### Applications:

- Drones
- QUADCOPTERS
- Robotique

#### II.2.7 La carte Arduino Mega 2560

L'Arduino Mega 2560 est une carte microcontrôleur basée sur l'ATmega2560 (datasheet). Elle possède 54 broches d'entrée/sortie numériques (dont 14 peuvent être utilisées comme sorties PWM), 16 entrées analogiques, 4 UART (ports série matériels), un oscillateur à quartz de 16 MHz, une connexion USB, une prise d'alimentation, un connecteur ICSP et un bouton de réinitialisation. Il contient tout ce qui est nécessaire pour prendre en charge le microcontrôleur ; il suffit de le connecter à un ordinateur avec un câble USB ou de l'alimenter avec un adaptateur CA/CC ou une batterie pour commencer. Le Mega est compatible avec la plupart des shields conçus pour l'Arduino Duemilanove ou Diecimila [21].



**Figure II.10:** l'Arduino Mega 2560 [21].

Les caractéristiques d'Arduino Mega 2560 :

Microcontrôleur	ATmega2560
Tension de fonctionnement	5V
Tension d'entrée (recommandée)	7-12V
Tension d'entrée (limites)	6-20V
Broches d'E/S numériques	54 (dont 14 fournissent une sortie
	PWM)
Broches d'entrée analogique	16
Courant continu par broche E/S	40mA
Courant continu pour la broche	50mA
3.3V	
Mémoire flash	256 KB dont 8 KB utilisés par le
	bootloader
SRAM	8KB
EEPROM	4 KB
Vitesse d'horloge	16 MHz

Tableau II.10: Les caractéristiques d'Arduino Mega 2560 [21].

#### II.2.8 Système de Communication (Le transmetteur FS-i6X et son récepteur FS-iA10B)

Le système de communication radio est l'équipement qui assure l'interface entre l'humain et la machine. Le télépilote actionne les différents leviers et boutons sur la télécommande et les ordres correspondants sont communiqués par ondes radio via un émetteur vers un récepteur installé sur le drone, on utilise principalement les bandes de 2,4 GHz et 5,8 GHz pour la communication avec les drone [1].

Pour notre part, on 'a investi dans la FlySky FS-i6 et son récepteur, livrée avec son récepteur. Cette radiocommande dispose de 10 canaux, de 4 switches, d'un écran LCD et de boutons permettant de naviguer dans les menus de configuration.



Figure II.11: FlySky FS-i6 et son récepteur FS-iA10B.

### Spécification [21]:

#### • FlySky FS-i6:

Canaux	10
Type de protection	CONTRÔLEUR RADIO
Type de modèle	Quadcopter
Gamme RF	2.408 - 2.475GHz
Bande passante	500 KHz
Alarme de basse tension	Oui (inférieur à 4,2V)
PS2/USB Port	Oui (Micro-USB)
Alimentation électrique	6V DC 1.4AA*4
Poids	392g
Taille	174*89*190 mm

Tableau II.11: Spécification de FlySky FS-i6.

#### • FS-iA10B:

Canaux PWM	10
Fréquence sans fil	2.4GHz
Protocole sans fil	AFHDS 2A
Gamme	500 ~ 1500m (en l'air)
Type d'antenne	Antenne double tube en
	cuivre (150mm * 2)
Puissance	4.0-8.4V
RSSI	Supporté
Port de données	PWM / PPM / i.bus / s.bus
Poids	19.3 g
Taille	47 * 33.1 * 14.7 mm

**Tableau II.12 :** Spécification de FS-iA10B.

# II.3 Les mouvements du quadrirotor

Pour réaliser les six mouvements du quadrirotor nous n'avons à notre disposition que quatre actionneurs, par conséquent les mouvements de l'appareil sont couplés ce qui signifie que nous ne pouvant pas effectuer un des mouvements sans en impliquer d'autres. Par exemple en réduisant la vitesse du rotor droit, le quadrirotor s'incline de ce côté et l'équilibre entres les rotors qui tourne dans le sens des aiguilles d'une montre et les rotors qui tourne dans le sens inverse est perturbé, ce qui implique deux mouvements de rotation appelés roulis et lacet. Le mouvement de rotation de roulis implique un mouvement de translation sur l'axe Y. C'est cette particularité qui permet de commander le quadrirotor sur six degrés de libertés avec seulement quatre actionneurs. [22]

Ainsi le quadrirotor a les cinq mouvements suivants:

• Les mouvements de rotation

Rotation de roulis

Rotation de tangage

Rotation de lacet

• Les mouvements de translations

Translation verticale

Translation horizontale

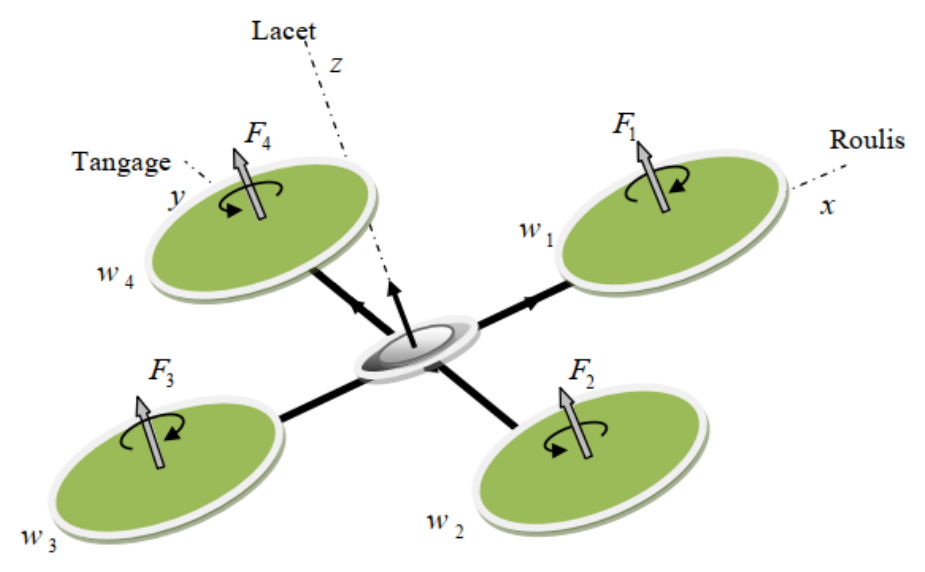


Figure II.12: Structure générale d'un quadrirotor

#### II.3.1 Les mouvements de rotation du quadrirotor :

La combinaison des forces  $\vec{i}$  et des couples résistants Ci produit les mouvements angulaires autour des axes du quadrirotor. Ces axes représentent les axes d'attitude du quadrirotor. Les mouvements angulaires sont définis selon l'axe. On a alors le mouvement de lacet, le mouvement de roulis et le mouvement de tangage.

#### II.3.1.1 Mouvement de lacet

La figure (IV.2) montre comment le mouvement de lacet est obtenu. Dans ce cas, nous voulons appliquer un couple autour de l'axe z, qui est fait en appliquant une différence de vitesse entre les rotors {1,3} et {2,4}. Ce mouvement n'est pas un résultat direct de la poussée produit par les propulseurs mais par les couples réactifs produits par la rotation des rotors. La direction de la force de poussée ne décale pas pendant le mouvement, mais l'augmentation de la force de portance dans une paire de rotors doit être égale à la diminution des autres paires pour s'assurer que toute la force de poussée demeure la même.

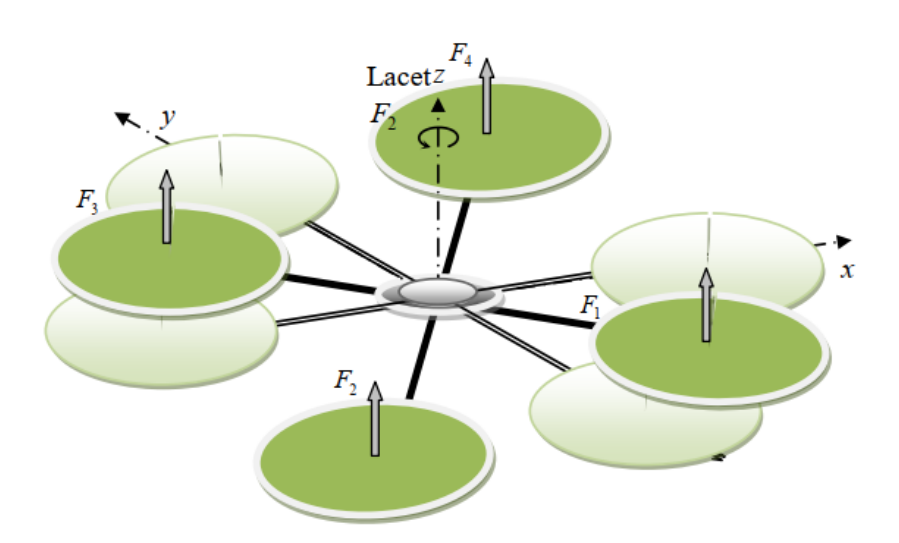


Figure II.13: Illustration du mouvement de lacet

#### II.3.1.2 Mouvement de roulis :

Ce mouvement est assuré par la différence des forces (F1, F3) produites par les moteurs avant et arrière. C'est le même principe que pour le mouvement de tangage mais le couple créé par la différence des forces sera autour de l'axe de roulis. La figure (IV.3) présente une illustration d'un mouvement de roulis pour un quadrirotor.

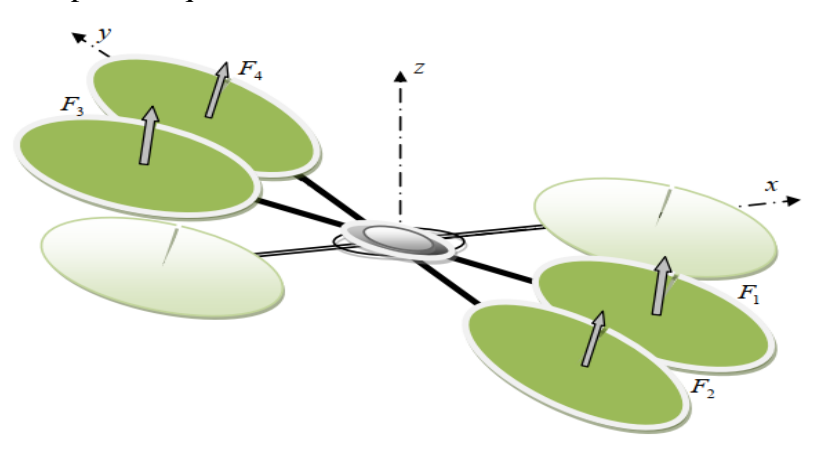


Figure II.14: Mouvement de roulis de quadrirotor

#### II.3.1.3 Mouvement de tangage :

Ce mouvement est assuré par la différence des forces (F2, F4) produites par les moteurs droite et gauche c'est à dire que les moteurs M1 et M3 vont tourner avec la même vitesse de rotation tandis que M2 et M4 vont tourner avec deux vitesses différentes. Par conséquent cette différence de forces produit un couple autour de l'axe y. La figure 2.5 présente une illustration d'un mouvement de tangage pour un quadrirotor.

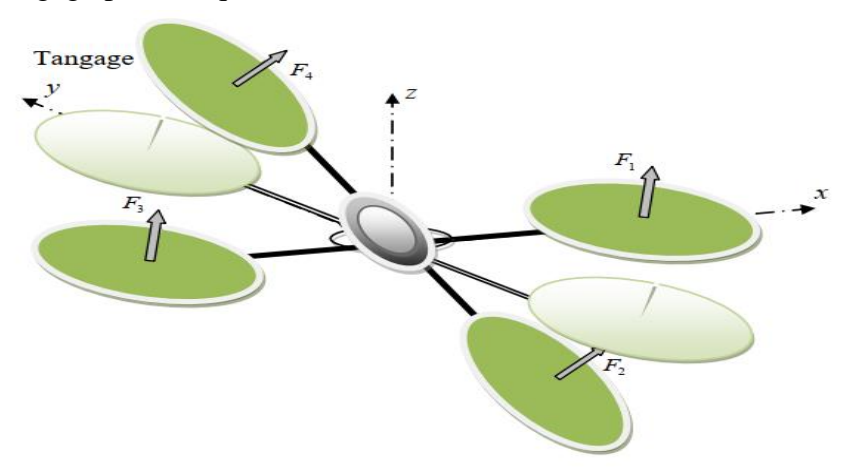


Figure II.15 : Mouvement de tangage de quadrirotor

Les commandes de mouvements angulaires sont envoyées au quadrirotor afin de permettre des déplacements dans les différentes directions : gauche/droite, avant/arrière, haut/bas.

#### II.3.2 Les mouvements de translations du quadrirotor

Les mouvements de translations sont classés en deux : les translations verticales et les translations horizontales.

#### II.3.2.1 Translation verticale

Ce mouvement est un déplacement suivant l'axe z. Il peut être effectué en faisant augmenter la vitesse de rotation des 4 moteurs de façon à avoir une force de poussée FT > mg tandis que si FT < mg donc nous allons avoir un mouvement vertical vers le bas suivant l'axe z. La figure (IV.5) présente une illustration de translation verticale pour un quadrirotor

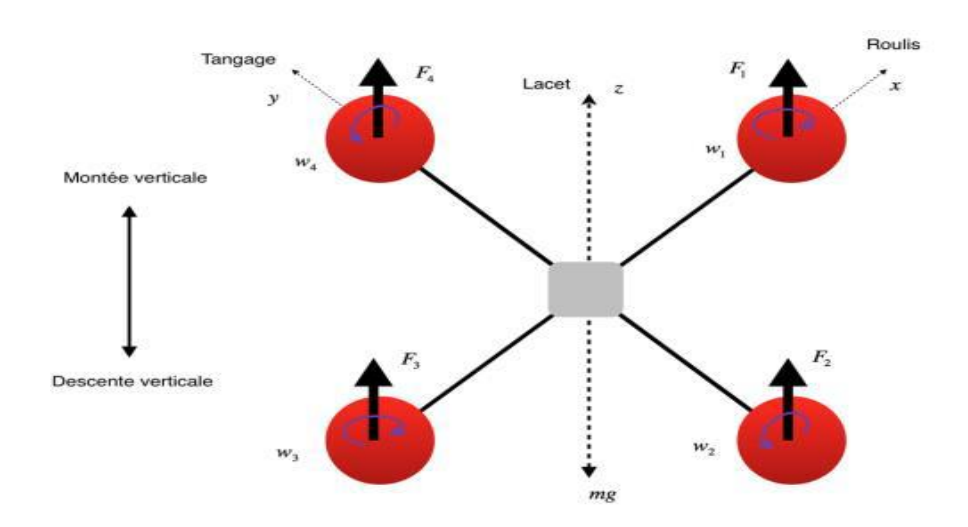


Figure II.16: Translation verticale de quadrirotor

#### **II.3.2.2** Translation horizontale

Il a le même principe que pour la translation verticale mais cette fois-ci dans le plan x y. Il faut augmenter les vitesses de rotation de façon à ce que la force de poussée maintient le quadrirotor à une hauteur constante par rapport au sol et en appliquant une force le long de x ou y, le système effectue un vol connu dans la littérature sous le nom de « vol en palier ».

La figure (IV.6) présente une illustration de translation horizontale pour un quadrirotor. Translation horizontale

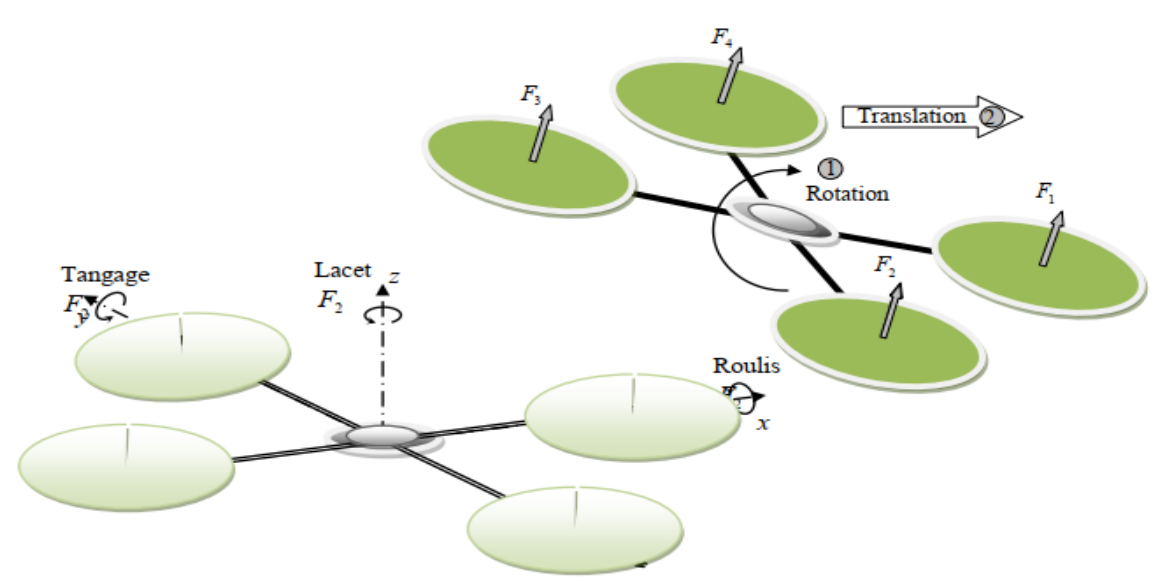


Figure II.17: Illustration du mouvement de translation

# **II.4.** Conclusion

Dans ce chapitre, une description détaillée des composants utilisés dans le montage de notre drone quadrirotor et ses mouvements est présentée, également les logiciels utilisés pour réaliser notre travail.

Dans le chapitre suivant, nous présenterons les opérations d'assemblage des composants et réalisation de quadrirotor. Ensuite, nous réaliserons des tests sur le calibrage des capteurs, les contrôleurs de vitesse électronique ESC, les moteurs et la radiocommande FLYSKY.

# Chapitre III:

Tests réels & discussions de résultats

# Chapitre III:

# Tests réels & discussions de résultats

#### **III.1 Introduction**

Le but de ce chapitre est de donner des expériences complètes sur le fonctionnement des différentes parties de notre système. Nous expliquerons le branchement de matériel que nous avons utilisé pour ces expériences et comment assembler les outils et gadgets électroniques de base pour construire un drone. Nous donnerons également une explication détaillée du logiciel utilisé pour ces expériences.

#### III.2 Montage et réalisation du quadrirotor

Dans les parties suivantes nous allons faire plusieurs montages et différents tests nécessaires nous irons pas à pas pour arriver à la réalisation finale de notre quadrirotor, dans chaque montage nous allons apprendre de nouvelles choses sur l'électronique, la programmation, les effets aéronautiques ...etc., et nous connaîtrons les détails de chaque composant : moteurs, ECS, Flysky FS-I6X, MPU-6050.

#### III.2.1 Expériences sur MPU-6050

Après avoir identifié le MPU-6050 dans le chapitre précédent, nous allons maintenant nous intéresser au module MPU-6050 pour voir comment l'utiliser avec un Arduino.

#### III.2.1.1 Première expérience

En fait, dans cet exemple, nous allons voir si notre capteur fonctionne et nous allons afficher les mesures du capteur sur MATLAB.

Dans cette expérience, nous allons tester le gyroscope et l'accélération. Nous utiliserons :

#### • Matériel :

- Carte Arduino Mega 2560.
- MPU 6050
- Fil de liaison

# • Logiciel:

#### MATLAB

Pour Branchement du MPU6050 avec Arduino dans notre expérience voire le tableau et la Figure ci-dessous.

Arduino	MPU6050
Mega 2560	
5v/3v	VCC
GND	GND
SCL pin	SCL
SDA pin	SDA

Tableau III.1: Branchement du MPU6050 avec Arduino Mega 2560.

**Figure III.1 :** Branchement du MPU6050 avec Arduino Mega 2560.

### • Testez l'accélération :

Nous avons extrait les mesures d'accélération des registres 59 à 64, tout cela par programmation sur MATLAB.

La figure suivante donne le programme sur MATLAB qui nous permet d'obtenir des mesures d'accélération (x, y, z).

```
1 -
       hold all
 2 -
       a = arduino('COM3','Mega2560');
3 -
       mpu = i2cdev(a,'0x68'); %L'adresse du mpu est normalement 0x68
 4 -
       writeRegister(mpu, hex2dec('B6'), hex2dec('00'), 'int16'); %réinitialiser
       data = zeros(10000,14,'int8'); %la prélocalisation pour la vitesse
 5 -
 6 -
 7 -
       al = animatedline('Color',[1 0 0]);
8 -
       a2 = animatedline('Color',[0 1 0]);
9 -
       a3 = animatedline('Color',[0 0 1]);
10 -
       legend('Accel x','Accel y','Accel z')
11 -
        grid on
12
13
        %% loop
14 -
     - while (true)
15 -
            x=1;
16 -
            for i=59:64
17 -
                data(j,x) = readRegister(mpu, i, 'int8');
18 -
                x = x + 1;
19 -
20 -
           y = swapbytes(typecast(data(j,:), 'intl6'))
21 -
            addpoints(al,j,double(y(l)));
22 -
            addpoints(a2,j,double(y(2)));
23 -
            addpoints(a3,j,double(y(3)));
24 -
            j = j+1;
25 -
            drawnow limitrate
26 -
       -end
```

**Figure IV.2 :** Programme pour obtenir des mesures d'accélération (x, y, z) sur MATLAB.

La figure III.3 montre l'accélération des registres 59 à 64 selon les axes x, y, z en fonction de temps. L'accélération selon l'axe x représente la courbe rouge, l'accélération selon l'axe y représente la courbe vert et L'accélération selon l'axe z est blue,

Les variations brusques des courbes dans l'intervalle de 175s à 1300s sont dû au déplacement de MPU6050 dans différentes vitesses sur les axes x, y, z.

Les mesures de valeurs d'accélération de MPU6050 en fonction de temps stabilisants si on pause les déplacements, et les courbes restent stable aux dernières valeurs d'accélération mesuré.

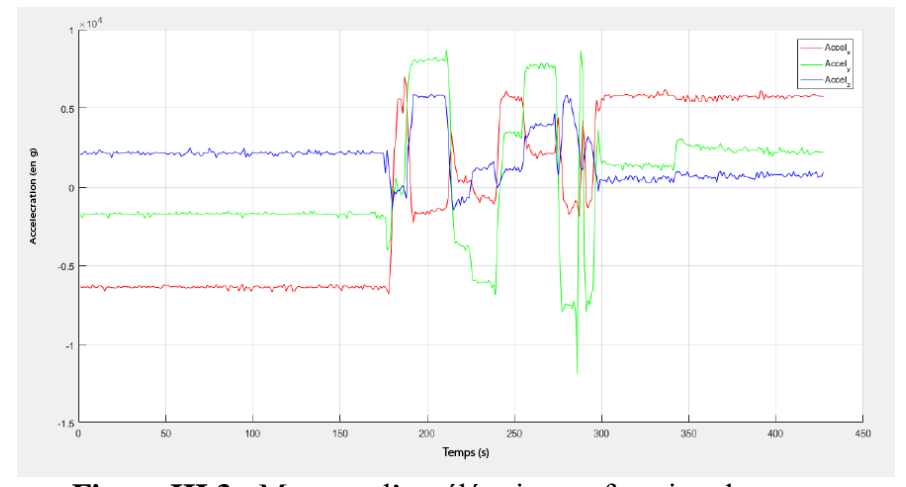


Figure III.3: Mesures d'accélération en fonction de temps.

#### • Testez le gyroscope

Nous avons extrait les mesures de gyroscope des registres 67 à 72, tout cela par programmation sur MATLAB.

La figure suivante donne le programme sur MATLAB qui nous permet d'obtenir des mesures de gyroscope (x, y, z).

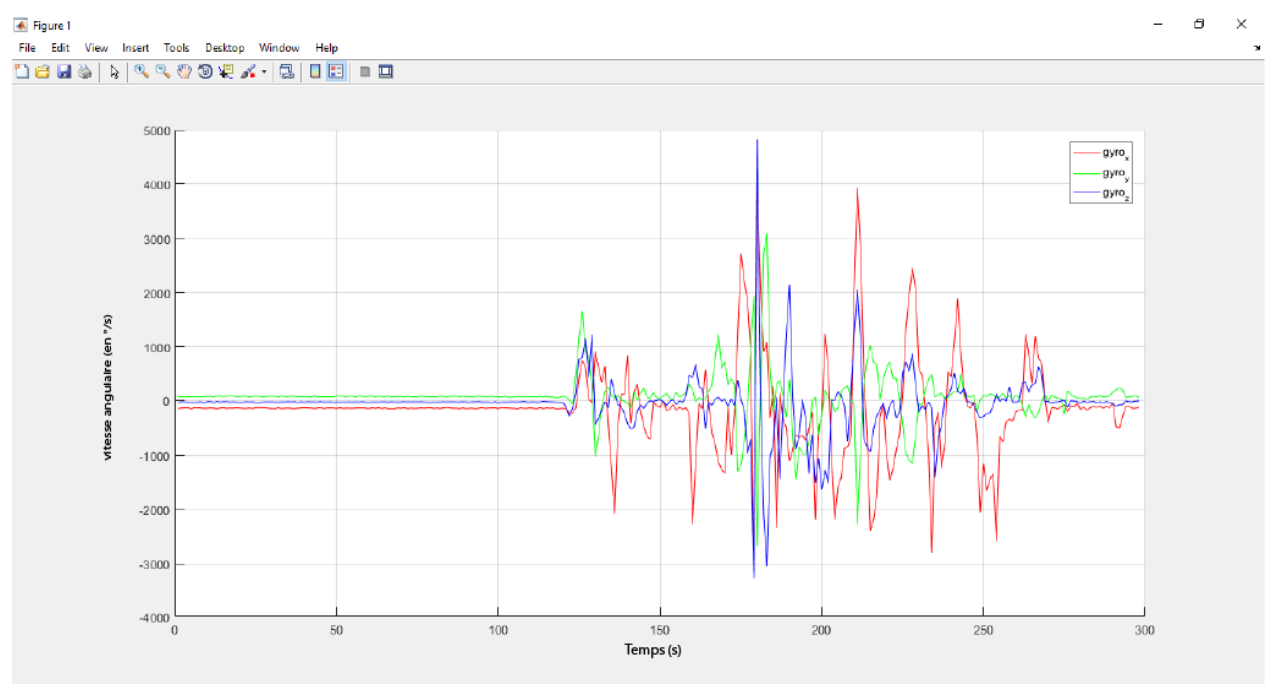
```
1 -
       hold all
 2 -
       a = arduino('COM3','Mega2560');
 3 -
       mpu = i2cdev(a,'0x68'); %L'adresse du mpu est normalement 0x68
 4 -
       writeRegister(mpu, hex2dec('B6'), hex2dec('00'), 'int16'); %réinitialiser
       data = zeros(10000,14,'int8'); %la prélocalisation pour la vitesse
 6 -
       j = 1;S
 7 -
       gyrol = animatedline('Color',[1 0 0]);
 8 -
       gyro2 = animatedline('Color',[0 1 0]);
 9 -
       gyro3 = animatedline('Color',[0 0 1]);
10 -
       legend('gyro x', 'gyro y', 'gyro z')
11 -
       grid on
12
13
       %% loop
14 - while (true)
15 -
           x=1:
16 - 🗀
           for i=67:72
17 -
               data(j,x) = readRegister(mpu, i, 'int8');
18 -
               x = x + 1;
19 -
           end
           gyro = swapbytes(typecast(data(j,:), 'int16'))
20 -
           addpoints(gyrol,j,double(gyro(1)));
21 -
22 -
          addpoints(gyro2,j,double(gyro(2)));
23 -
           addpoints(gyro3,j,double(gyro(3)));
24 -
           j = j+1;
25 -
           drawnow limitrate
26 -
      ∟end
```

**Figure III.4:** Programme pour obtenir des mesures de gyroscope (x, y, z) sur MATLAB.

La figure III.5 montre la variation de vitesse angulaire selon les axes x, y, z en fonction de temps. Gyro selon l'axe x représente la courbe rouge, gyro selon l'axe y représente la courbe vert et gyro selon l'axe z est blue.

D'après la figure ci-dessous, Les changements de courbes présentées les mesures de vitesse angulaire dans l'intervalle de 150s à 175s à cause du déplacement de gyroscope dans des différents vitesses et angles.

Les mesures de vitesse angulaires de gyroscope en fonction de temps stabilisants au 0 si on pause les changements d'angles et de vitesse, alors les allures des mesures reviennent à l'état initiale.



**Figure III.5**: La variation de vitesse angulaire de gyroscope en fonction de temps.

#### III.2.1.2 Deuxième expérience

Dans cette expérience, nous allons obtenir les angles de tangage, de roulis et de lacet à partir des données du gyroscope.

L'Arduino Mega 2560 du contrôleur de vol lit les données des angles parcouru par le Gyro à partir des registres de sortie d'adresses 0x69 et 0xA8 qui sont à 16 bits en utilisant le protocole de communication I<sup>2</sup>C.

Par exemple pour lire l'axe « Yaw » on lit les 8 bits du poids fort du registre 16 bit à part, puis les 8 bits du poids faible et on fait un décalage pour avoir les 16 bits puis on affecte le résultat au variable « gyro\_yaw ».

Toutes les autres parties intéressantes pour la communication I<sup>2</sup>C avec le Gyro sont gérées par la librairie « wire » qui nous facilitent la tâche.

Début Variables entiers 16 bits: Int cal = 0 Initialiser les Variables 8 bits : lowByte, highByte Initialiser les Variables 64 bits: gyro\_pitch, gyro\_roll, gyro\_yaw, cal\_axe\_x, cal\_axe\_y, cal\_axe\_z Int\_cal < 2000 ? Non Pour exécuter Le code 2000 fois Oui Sous-programme de lecture des Incrémenter par 1 Diviser la variable données du Gyro MPU-6050 Int cal++ cal\_axe\_x par 2000 pour obtenir l'offset de l'axe x Ajouter la valeur lue gyro pitch L'axe Pitch de l'axe x du Gyro à la variable Diviser la variable cal\_axe\_x cal axe y par 2000 pour obtenir l'offset de l'axe y Ajouter la valeur lue gyro\_roll L'axe Roll de l'axe y du Gyro à la variable Diviser la variable cal\_axe\_y cal axe z par 2000 pour obtenir l'offset de l'axe z Ajouter la valeur lue gyro yaw L'axe Yaw de l'axe z du Gyro à la variable cal \_axe\_z Fin Tarder 3ms

La figure ci-dessous montre l'organigramme qui explique le processus :

Figure III.6: l'organigramme qui explique le processus.

### Nous utiliserons:

#### • Matériel :

- Carte Arduino Mega 2560.
- MPU 6050
- Fil de liaison

# • Logiciel:

- MATLAB
- IDE Arduino

Pour Le branchement voire la Figure V.1.

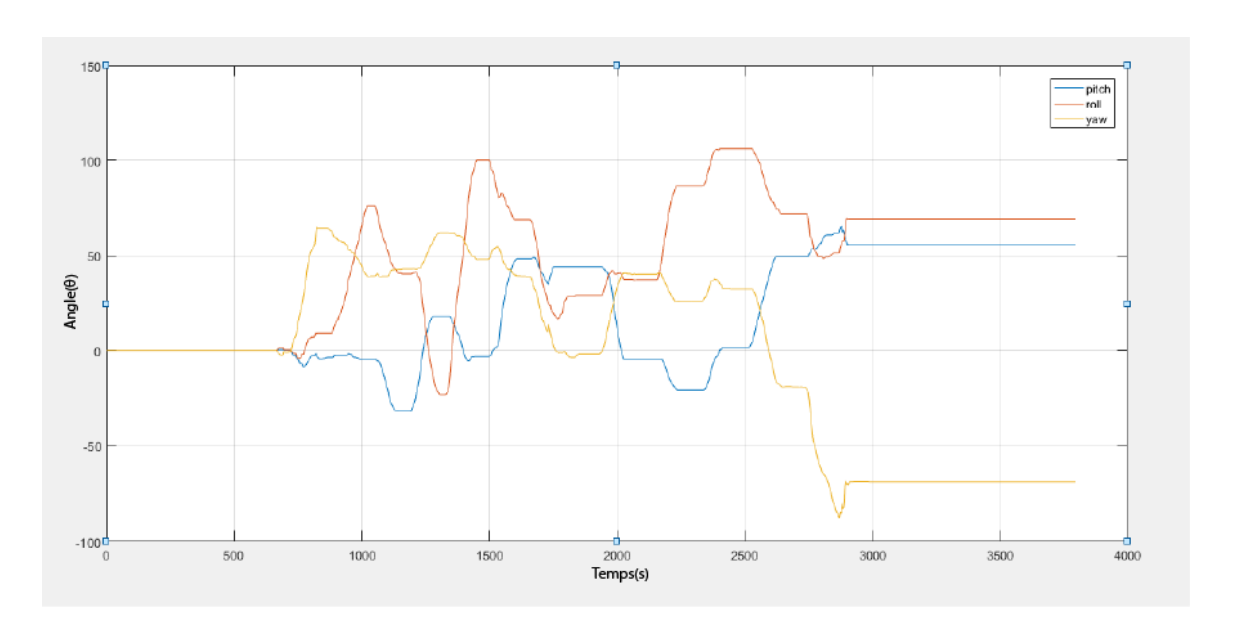
Nous avons programmé ce code dans logiciel IDE Arduino pour obtenir des données et nous avons utilisé MATLAB pour dessiner les courbes.

```
MPU6050_gyro_pitch_roll_yaw §
 3 #include <Wire.h>
 4 #include <MPU6050.h>
 6 MPU6050 mpu:
8 // Timers
9 unsigned long timer = 0;
10 float timeStep = 0.01;
12 // Pitch, Roll and Yaw values
13 float pitch = 0;
14 float roll = 0;
15 float yaw = 0;
16
17 void setup()
18 {
19 Serial.begin(115200);
20
    // Initialize MPU6050
22 while (!mpu.begin (MPU6050_SCALE_2000DPS, MPU6050_RANGE_2G))
24
      Serial.println("Could not find a valid MPU6050 sensor, check wiring!");
25
      delay(500);
26 }
27
    // Calibrate gyroscope. The calibration must be at rest.
    // If you don't want calibrate, comment this line.
Impression terminée.
```

**Figure III.7:** Programme pour tracer les courbes pitch, roll, yaw.

La figure III.7 montre les mesures d'angle selon mouvement de gyroscope en fonction de temps. Pitch représente la courbe blue, roll selon y représente la courbe rouge et yaw selon z est orange.

Entre l'intervalle de 0 á 700ms les courbes sont stable, au moment de 700ms on a déplacé gyroscope dans des différents angles on remarque qu'entre 700ms et 2800ms des changements des courbes selon x, y, z en fonction de temps, après ces courbes stabilisants le temps on a fixé l'angle du gyroscope.



**Figure III.8:** Les mesures d'angle selon mouvement de gyroscope en fonction de temps.

# III.2.2 Expériences sur Le transmetteur FS-i6X et son récepteur FS-iA10B

#### III.2.2.1 Protocoles TX

Nous verrons ce terme utilisé pour décrire un émetteur RC. Le terme "mode" s'applique généralement à l'utilisation de l'émetteur avec un avion et fait référence à la façon dont l'émetteur est configuré pour contrôler l'avion, c'est-à-dire quels manches actionnent quelles commandes sur l'avion.

Un émetteur standard possède deux manches, chacun pouvant effectuer des mouvements horizontaux et verticaux. Chaque manche possède donc deux canaux, un pour les mouvements horizontaux et un autre pour les mouvements verticaux.

Il existe quatre modes TX au total:

- Mode 1 Le manche gauche actionne la gouverne de profondeur et la gouverne de direction, le manche droit actionne les gaz et les ailerons.
- Mode 2 Le manche gauche actionne les gaz et la direction, le manche droit actionne la profondeur et les ailerons.
- Mode 3 Le manche gauche actionne la profondeur et les ailerons, le manche droit actionne les gaz et le gouvernail.

• Mode 4 - Le manche gauche actionne les gaz et les ailerons, le manche droit actionne la profondeur et le gouvernail.

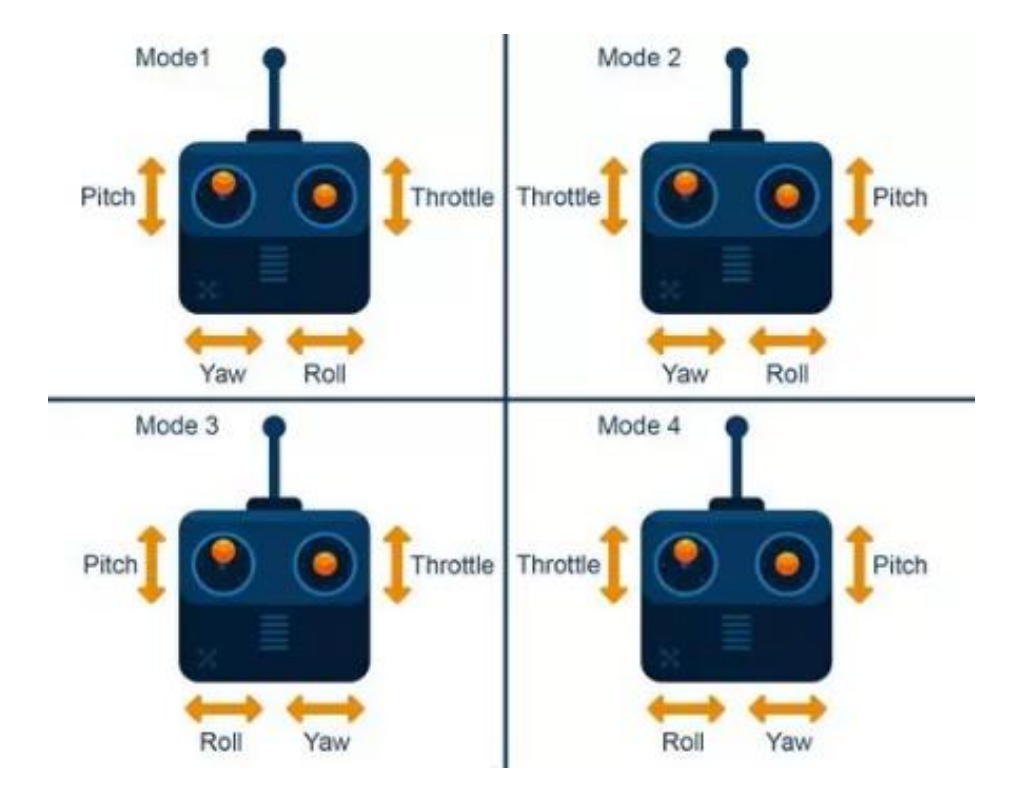


Figure III.9: Les différents modes.

#### III.2.2.2 Protocoles RX

Une fois de plus, nous avons un terme qui peut être utilisé pour deux aspects différents du système de radiocommande. Alors qu'un "protocole" peut se référer à la méthode utilisée pour échanger des données entre l'émetteur et le récepteur, dans ce contexte, il se réfère aux ports sur le récepteur.

Le protocole le plus communément utilisé du côté du récepteur est le PWM (Pulse Width Modulation), et il est utilisé presque universellement pour contrôler les servomoteurs et les ESC.

Nous montrerons deux manières d'utiliser le récepteur avec un Arduino Mega 2560 :

- Utilisation des sorties PWM comme entrées de l'Arduino Mega 2560.
- Utilisation de la sortie iBus du Flysky.

Dans les deux expériences, nous utiliserons :

#### • Matériel :

- Carte Arduino Mega 2560.
- Transmetteur FS-i6X et le récepteur FS-iA10B
- Fil de liaison

#### • Logiciel:

• IDE Arduino

#### III.2.2.3 Première expérience

Une façon de travailler avec le récepteur Flysky est de lire chaque canal individuel de sortie du connecteur "servo".

Par défaut, les sorties de l'émetteur sont réglées comme suit

- Canal 1 Manche droit, gauche/droite
- Canal 2 Stick droit, haut/bas
- Canal 3 Stick gauche, haut/bas
- Canal 4 Stick gauche, gauche/droite
- Canal 5 Contrôle VRA
- Canal 6 Contrôle VRB

Ainsi, en connectant des dispositifs à ces sorties de canal du récepteur, vous pouvez les contrôler avec leurs fonctions associées.

Notre contrôleur émet un signal PWM, qui par sa propre nature communique en manipulant la largeur d'une impulsion. Nous utilisons Arduino Mega 2560, pour mesurer la largeur de l'impulsion et interpréter ces données.

Le branchement est assez simple, les six sorties du récepteur Flysky sont connectées aux six entrées de l'Arduino Mega 2560.

Nous connectons également la sortie 5 volts de l'Arduino Mega 2560 au VCC du récepteur pour l'alimenter. Et, bien sûr, nous connectons également une masse.

Pour interfacer le récepteur FS-iA10B avec l'Arduino Mega 2560 dans notre expérience, voir le tableau et la figure ci-dessous.

Arduino Mega 2560	FS-iA10B	
GND	GND	
5V	VCC	
Pin numérique 3 (PWM)	C1	
Pin numérique 4 (PWM)	C2	
Pin numérique 5 (PWM)	C3	
Pin numérique 6 (PWM)	C4	
Pin numérique 7 (PWM)	C5	
Pin numérique 8 (PWM)	C6	

Tableau III.2: branchement du FS-iA10B avec Arduino Mega 2560.

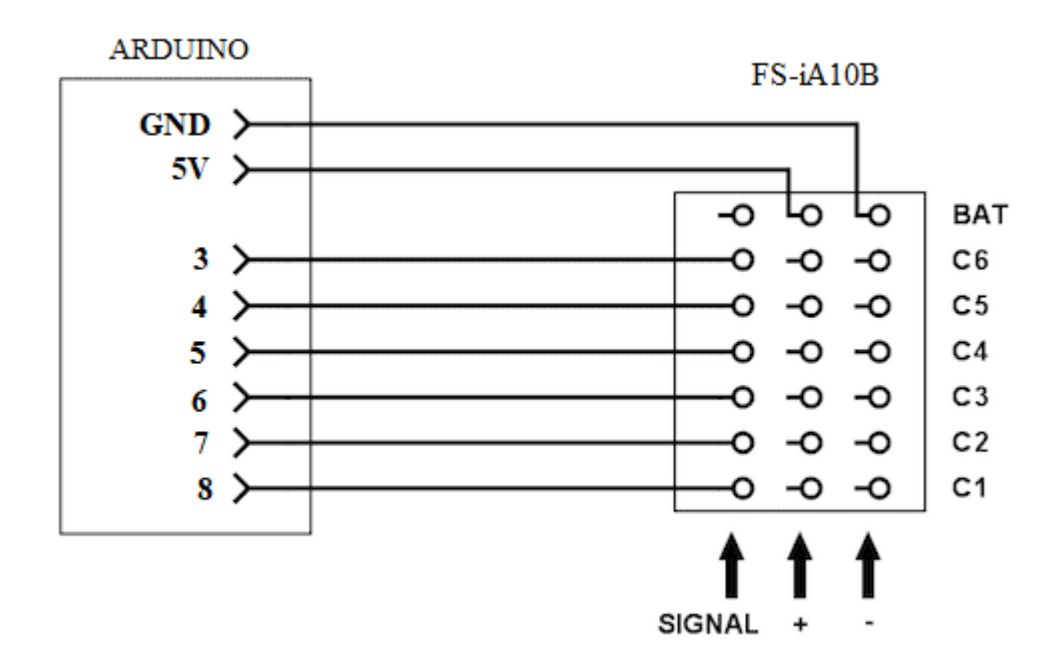


Figure III.10: branchement du FS-iA10B avec Arduino Mega 2560.

La figure ci-dessous montre le programme de communication avec l'Arduino et les canaux de notre transmetteur pour obtenir les données.

```
FLYSKY §
 1
 3 // Define Input Connections
 4 #define CH1 3
 5 #define CH2 4
 6 #define CH3 5
 7 #define CH4 6
 8 #define CH5 7
9 #define CH6 8
11 // Integers to represent values from sticks and pots
12 int chlValue:
13 int ch2Value;
14 int ch3Value;
15 int ch4Value:
16 int ch5Value;
18 // Boolean to represent switch value
19 bool ch6Value;
21 // Read the number of a specified channel and convert to the range provided.
22 // If the channel is off, return the default value
23 int readChannel(int channelInput, int minLimit, int maxLimit, int defaultValue) {
24 int ch = pulseIn(channelInput, HIGH, 30000);
    if (ch < 100) return defaultValue;
    return map(ch, 1000, 2000, minLimit, maxLimit);
27 1
29 // Read the switch channel and return a boolean value
```

Figure III.11: Programme de communication avec l'Arduino et les canaux de transmetteur.

On remarque qu'il y des perturbations dans des données des canaux, voire La figure cidessous

Dans la figure III.11 On trouve que les valeurs des chaînes ne sont pas proches 0, alors nous avons besoin de faire un étalonnage.



Figure III.12: Les valeurs des chaînes avant l'étalonnage.

## • Etalonnage de FS-i6X :

Nous utilisons FS-i6X lui-même pour résoudre le problème de perturbation, voire La figure ci-dessous.

Donc, d'après l'étalonnage les valeurs des chaînes devient proche de 0.

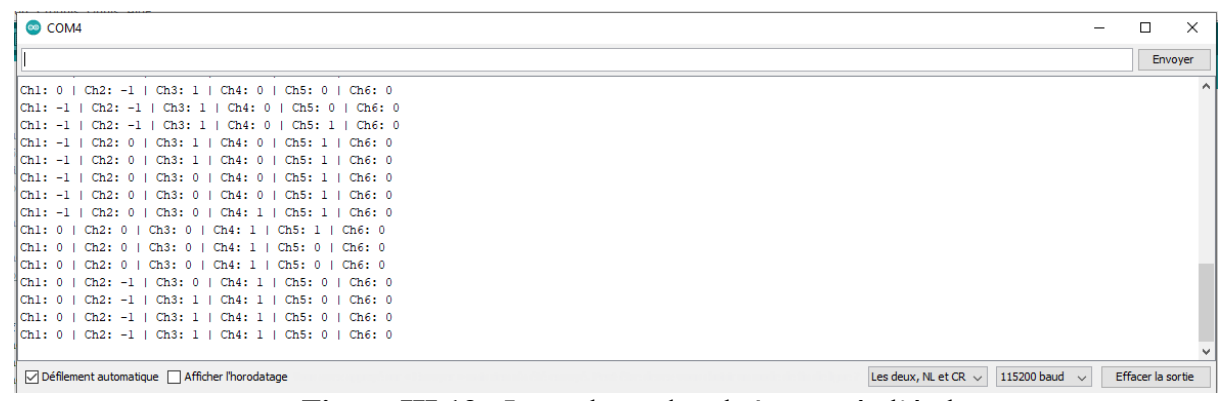


Figure III.13 : Les valeurs des chaînes après l'étalonnage.

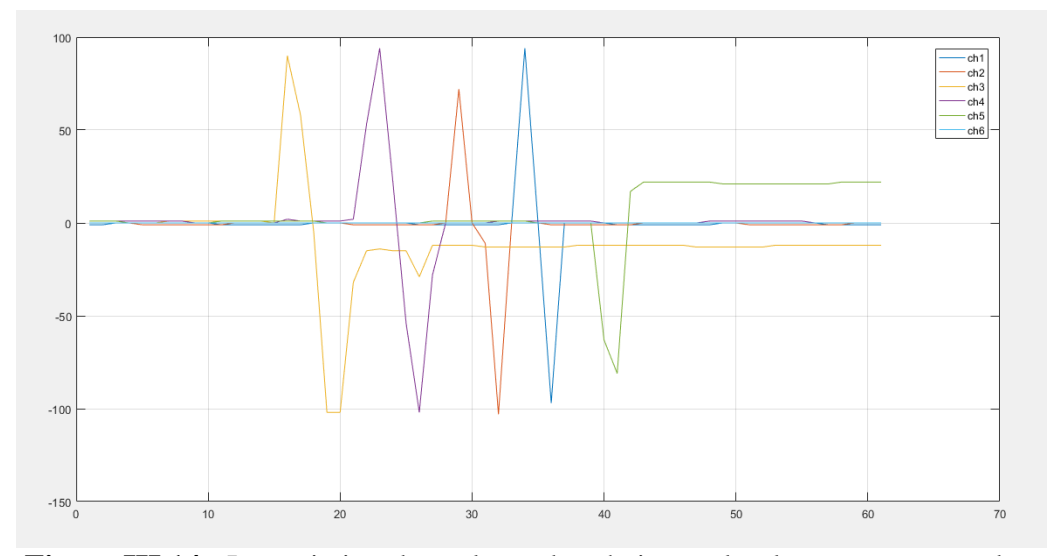


Figure III.14: La variation des valeurs des chaines selon les mouvements des sticks.

La figure III.13 montre la variation des valeurs des chaines selon les mouvements des sticks en fonction de temps(s).

Donc, d'après les résultats de cet essai, nous constatons que les courbes des chaines présentent des petits perturbations le temps on a déplacé les sticks de commande entre 15 et 42ms.

## III.2.2.4 Deuxième expérience

Une autre façon d'obtenir des données du récepteur Flysky est de passer par la connexion série iBus. Cela présente quelques avantages, notamment celui de ne nécessiter qu'un seul fil (plus l'alimentation et la masse).

Nous allons avoir besoin d'un deuxième UART, ou entrée série, sur notre microcontrôleur. Nous puissions émuler un port série avec SoftwareSerial, dans ce cas, nous utilisons une bibliothèque qui nécessite un UART physique.

Pour cette raison, nous passons à un Arduino Mega 2560, il a plusieurs UARTs matériels.

Pour le branchement du FS-iA10B avec Arduino Mega 2560 dans cette expérience voire le tableau et la Figure ci-dessous.

Arduino	FS-iA10B	
Mega 2560	(IBUS SERVO)	
GND	GND	
5V	VCC	
19 (RX1)	DATA	

Tableau III.3: Branchement du FS-iA10B (IBUS SERVO) avec Arduino Mega 2560.

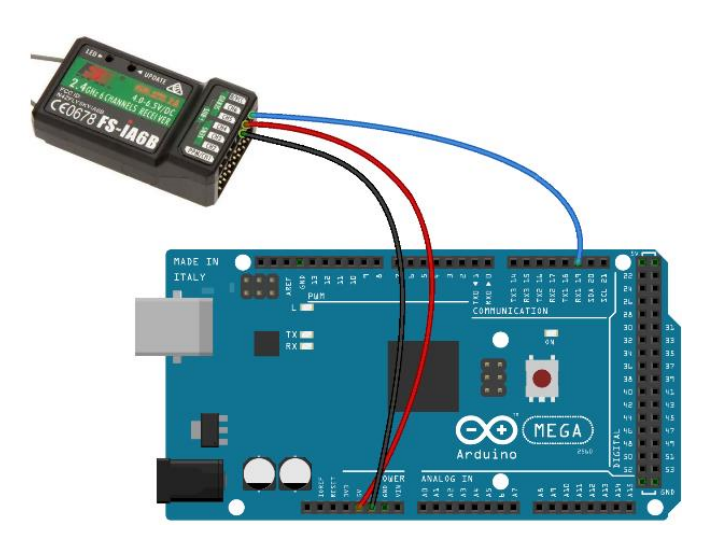


Figure III.15: Branchement du FS-iA10B (IBUS SERVO) avec Arduino Mega 2560.

La figure ci-dessous montre le programme de communication avec l'Arduino et les canaux de notre transmetteur pour obtenir les données.

```
flysky2
 1 #include <IBusBM.h>
   // Create iBus Object
 3 IBusBM ibus;
 5 // Read the number of a given channel and convert to the range provided.
 6 // If the channel is off, return the default value
 7 int readChannel(byte channelInput, int minLimit, int maxLimit, int defaultValue) {
 8 uint16_t ch = ibus.readChannel(channelInput);
9 if (ch < 100) return defaultValue;</pre>
10 return map(ch, 1000, 2000, minLimit, maxLimit);
11 1
12
13 // Read the channel and return a boolean value
14 bool readSwitch(byte channelInput, bool defaultValue) {
int intDefaultValue = (defaultValue) ? 100 : 0;
int ch = readChannel(channelInput, 0, 100, intDefaultValue);
17 return (ch > 50);
18 }
20 void setup() {
21 // Start serial monitor
22
   Serial.begin(115200);
23
24
    // Attach iBus object to serial port
25 ibus.begin(Serial1);
26 1
28 void loop() {
Enregistrement terminé
```

Figure III.16: Programme de communication avec l'Arduino et les canaux de transmetteur.

Comme nous le remarquons dans La figure ci-dessous les résultats des données sont parfaits.



**Figure III.17 :** Les valeurs des chaînes.

On note qu'après étalonner toutes les valeurs des chaines á 0, les mouvements son devenu en douceur et les perturbations sont éliminé comme le montre la figure ci-dessous :

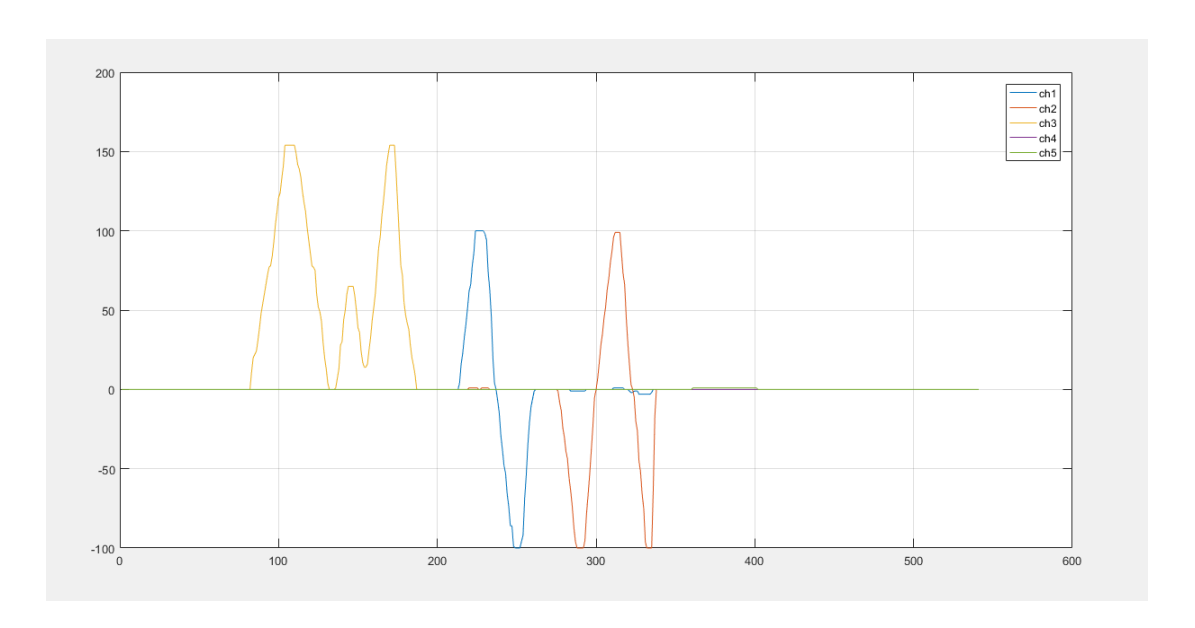


Figure III.18: La variation des valeurs des chaines.

#### III.2.3 Expériences sur l'équipement

Dans cette expérience nous allons utiliser un seul moteur, donc nous allons utiliser la batterie Li -Po avec un contrôleur de vitesse et une hélice, maintenant que nous avons acheté tout l'équipement il est temps de le tester. Cependant, nous devons d'abord calibrer les ESC afin de pouvoir les utiliser. Le but de cette expérience est de :

- Comprendre le fonctionnement du contrôleur de vitesse électrique (ESC).
- Observer la vitesse du moteur.
- Mesurer le poids maximum que le moteur peut soulever.

Dans cette expérience, nous utiliserons :

## L'expérience précédent :

• Utilisation des sorties PWM comme entrées de l'Arduino Mega 2560.

#### • Matériel :

- Carte Arduino Mega 2560.
- Transmetteur FS-i6X et le récepteur FS-iA10B
- Batterie Li Po 3300mAh 11.1V 25C.
- Moteur brushless 2212 1000KV.

- Contrôleur de vitesse électrique 30A
- Fil de liaison
- Hélices 10×45

#### Logiciel:

- IDE Arduino
- MATLAB

Pour cette expérience, nous allons utiliser une batterie LI Po 3s qui comporte 3 éléments et 11,1V. Nous pouvons donc nous attendre à ce que mon moteur atteigne un RPM maximum de 11100.

L'ESC 30A que nous allons utiliser pour cette expérience et qui correspond aux exigences du moteur. D'un côté, l'ESC a trois fils qui contrôlent les trois phases du moteur.

D'un autre côté, il y a deux fils, VCC et GND, pour l'alimentation.

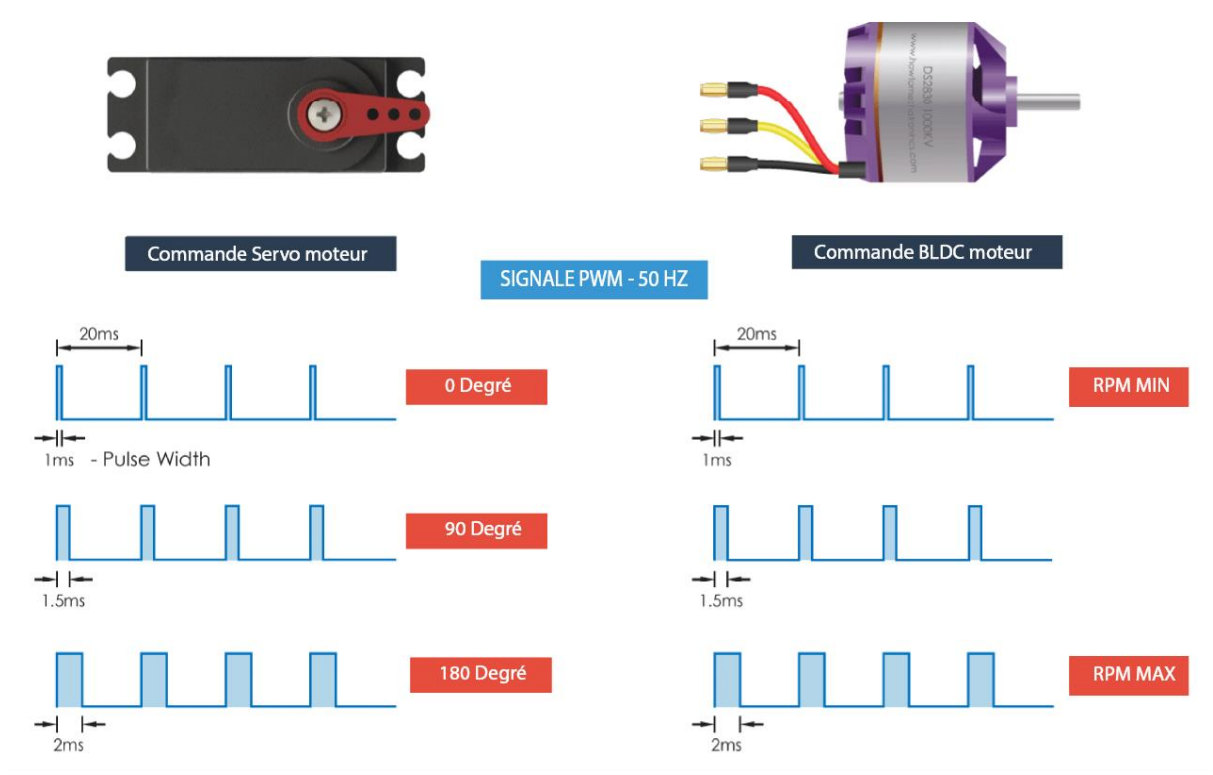
Il y a aussi un autre ensemble de trois fils qui sortent de l'ESC et c'est la ligne de signal, +5V et la masse. Cette caractéristique de l'ESC est appelée circuit éliminateur de batterie.

Comme son nom l'indique, ce circuit élimine le besoin d'une batterie séparée pour le microcontrôleur. Avec cela, l'ESC fournit 5V régulé qui peut être utilisé pour alimenter notre Arduino.

Les ESC se comportent comme des servomoteurs. Aussi, nous allons devoir générer un signal PWM bien particulier pour les contrôleurs

Nous pouvons remarquer ici que cette connexion est en fait la même que celle que nous voyons sur les servomoteurs.

Ainsi, contrôler un moteur brushless en utilisant un ESC et Arduino est aussi simple que de contrôler un servo en utilisant Arduino. Les ESC utilisent le même type de signal de contrôle que



les servos, à savoir le signal PWM 50Hz standard.

Figure III.19: Difference entre Servo moteur et BLDC moteur.

Ceci est très pratique, car par exemple, lors de la construction d'un drone RC, nous avons généralement besoin de servos et de moteurs brushless et, de cette façon, nous pouvons les contrôler facilement avec le même type de contrôleur.

Ainsi, en utilisant l'Arduino, il suffit de générer le signal PWM 50Hz et en fonction de la largeur des impulsions ou de la durée de l'état haut, qui doit varier entre 1 milliseconde et 2 millisecondes, l'ESC fera passer le moteur de la vitesse minimale à la vitesse maximale.

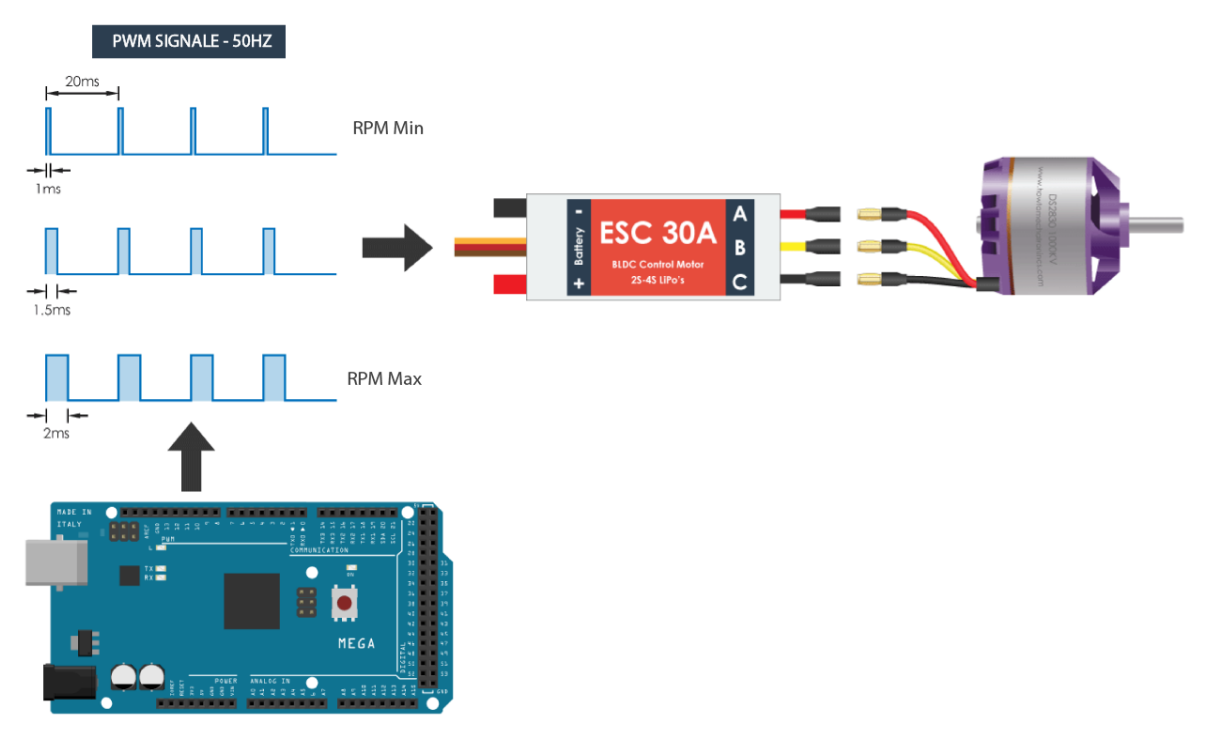


Figure III.20: Branchement Arduino, ESC, BLDC moteur et PWM signale.

# III.2.3.1 Calibrage de l'ESC

Les ESC se comportent comme des servomoteurs. Aussi, nous allons devoir générer un signal PWM bien particulier pour les contrôleurs

Enfin, expliquons comment fonctionne la calibration de l'ESC. Chaque ESC a ses propres points hauts et bas, et ils peuvent varier légèrement. Par exemple, le point bas peut être de 1,2 millisecondes et le point haut de 1,9 millisecondes. Dans ce cas, notre accélérateur ne fera rien dans les premiers 20 % jusqu'à ce qu'il atteigne le point bas de 1,2 millisecondes. Ce point bas de 1,2 milliseconde. Voire la Figure ci-dessous.

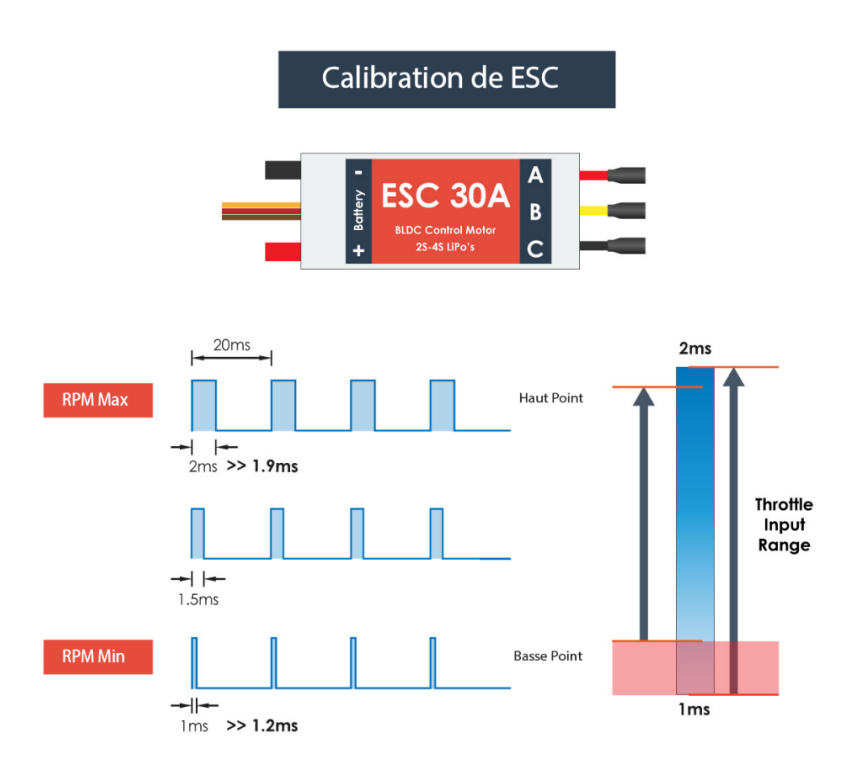


Figure III.21: Calibration de l'ESC.

Pour Branchement dans cette expérience voire le tableau et la Figure ci-dessous.

Arduino Mega	FS-iA10B	
2560		
GND	GND	
5V	VCC	
Pin	C3	
analogique A0		

Tableau III.4: Branchement Arduino Mega 2560 avec FS-iA10B.

Arduino	ESC	
Mega 2560		
GND	GND	
5V	VCC	
Pin numérique	La ligne de	
9	signal	

Tableau III.5: Branchement Arduino Mega 2560 avec ESC.

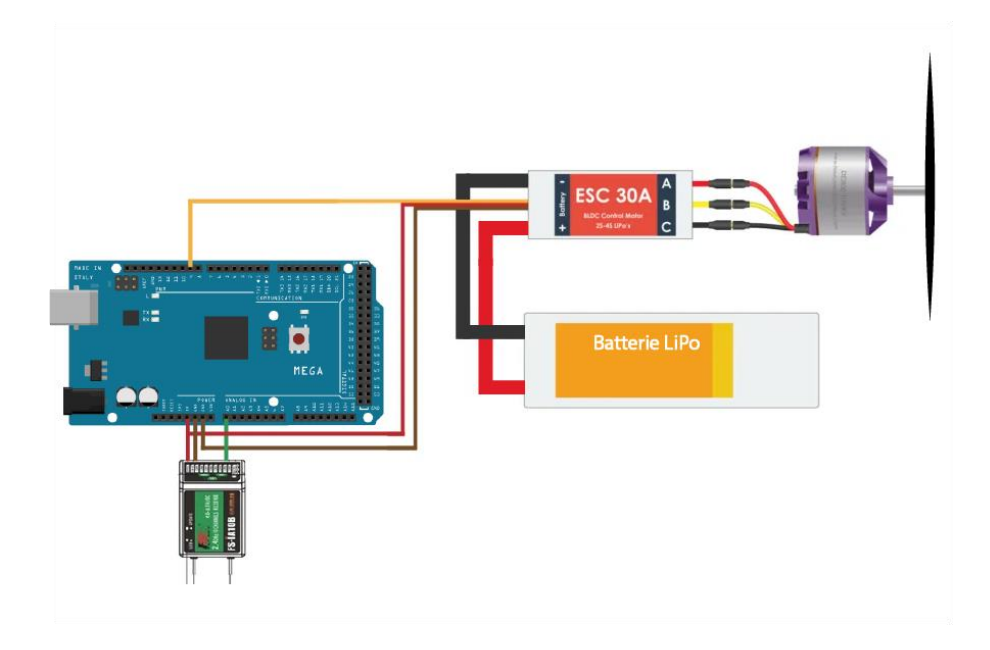
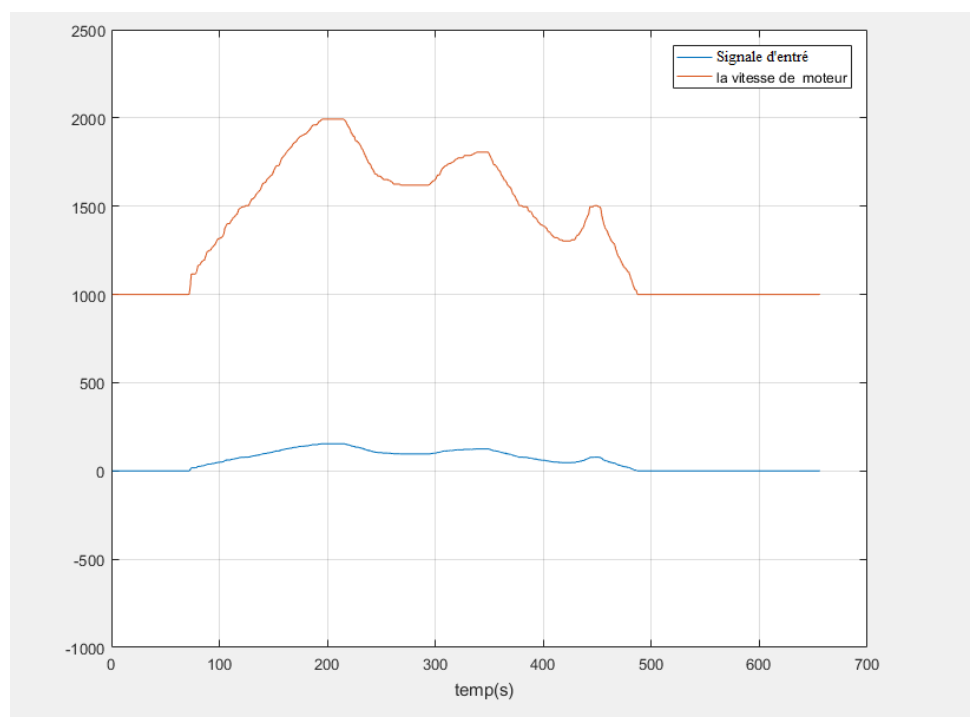


Figure III.22: Branchement Arduino mega 2560 avec ESC et FS-iA10B

La figure suivante donne le programme Arduino qui nous permet de contrôler la vitesse de notre moteur avec le transmetteur FS-i6X.

```
test
 1 #include<Servo.h>
 2 #define CH3 5
 3 Servo esc:
\boldsymbol{5} // Integers to represent values from sticks and pots
6 int ch3Value;
8 // Read the number of a specified channel and convert to the range provided.
9 // If the channel is off, return the default value
10 int readChannel(int channelInput, int minLimit, int maxLimit, int defaultValue){
int ch = pulseIn(channelInput, HIGH, 30000);
    if (ch < 100) return defaultValue;
13 return map(ch, 1000, 2000, minLimit, maxLimit);
14 }
15
16
17 void setup() {
    esc.attach(9); //Specify the esc signal pin, Here as D8
    esc.writeMicroseconds(1000); //initialize the signal to 1000
     // Set up serial monitor
     Serial.begin(115200);
    // Set pin as input
    pinMode(CH3, INPUT);
Enregistrement terminé
```

Figure III.23: Programme Arduino pour contrôler la vitesse de moteur avec FS-i6X



La figure ci-dessous montre la vitesse de notre moteur et la consigne que nous avons donnée.

Figure III.24 : La vitesse de notre moteur et l'entrée que nous avons donnée.

# **III.3 Conclusion**

Ce chapitre a été consacré à l'explication des opérations et des tests des composants qui composent notre drone. Nous avons programmé avec l'Arduino pour tester nos composants, nous avons également programmé avec Matlab dans l'une de nos expériences, nous avons également implémenté un code Matlab pour tracer les courbes des valeurs que nous avons mesurées avec ces composants. Nous avons trouvé que l'équipement que nous avons utilisé pour notre projet a très bien fonctionné et nous pouvons l'utiliser pour réaliser le drone.

# Chapitre IV:

Commande d'un drone type quadrirotor par régulateur PID

# Chapitre IV:

# Commande d'un drone type quadrirotor par régulateur PID

### **IV.1 Introduction**

Afin de concevoir un contrôleur de vol, il faut bien comprendre la dynamique des mouvements de l'avion. Cette compréhension est non seulement nécessaire pour la conception du contrôleur, mais également pour garantir que les simulations du comportement du véhicule lors de l'application du contrôleur sont aussi réalistes que possible. Le quadrirotor est classé dans la catégorie des systèmes de vol les plus complexes en raison du nombre d'effets physiques affectant sa dynamique, à savoir les effets aérodynamiques, la gravité, les effets gyroscopiques, les frottements et le moment d'inertie.

Notre but dans ce chapitre est de réaliser un véhicule aérien de type Quad X et un système de régulation de type PID, ce chapitre est dédié principalement á effectuer des tests réels et présenter les résultats de rotation du drone selon les trois axes x, y et z. Nous allons également visualiser les réponses de variation des angles de rotation en déduisant sur la stabilité du système.

# IV.2 Le régulateur PID du quadrirotor

Le contrôle par PID est la méthode la plus simple à programmer sur un processeur et elle est souvent employée pour les asservissements [24].

Cette méthode est basée sur une structure qui délivre un signal de commande à partir de l'erreur existante entre la référence et la mesure de son intégrale et de sa dérivée **figure IV.1** 

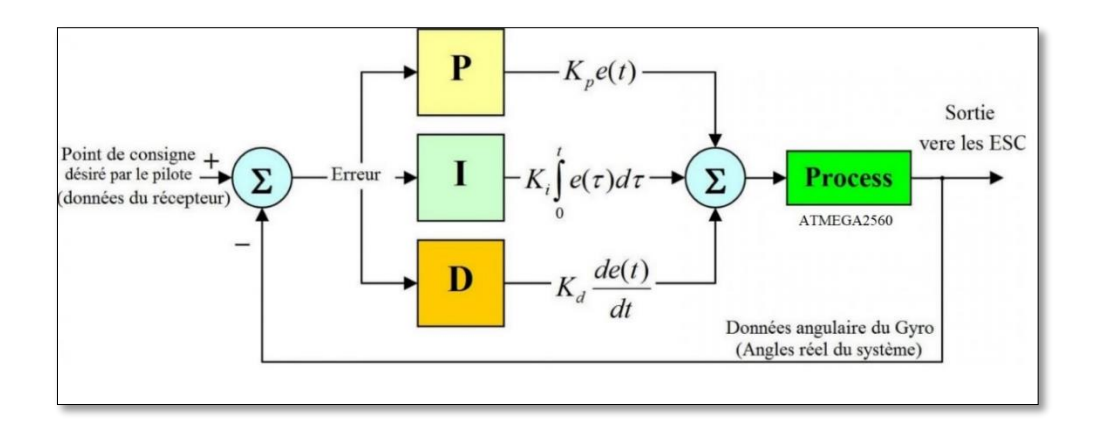


Figure IV.1 : Schéma de la boucle de régulateur PID.

Le contrôle par PID est souvent utilisé dans l'industrie car il est très simple à mettre en place et s'avère efficace à réduire les erreurs pour la plupart des systèmes réels non linéaires.

Dans notre cas le principe de base du régulateur PID est simple, lorsque le drone se trouve déséquilibré à cause du vent ou de la turbulence.

L'algorithme envoie une commande vers les ESC qui provoque une réaction dont le sens est opposé à celui qui a conduit au déséquilibre, afin que le drone retrouve l'état souhaité.

Plus précisément, il faut garder les valeurs mesurées du MPU6050 (données angulaires réel du système) identique au point de consigne désiré par le pilote (données d'entrée du récepteur de la routine d'interruption) voire la Figure IV.2.

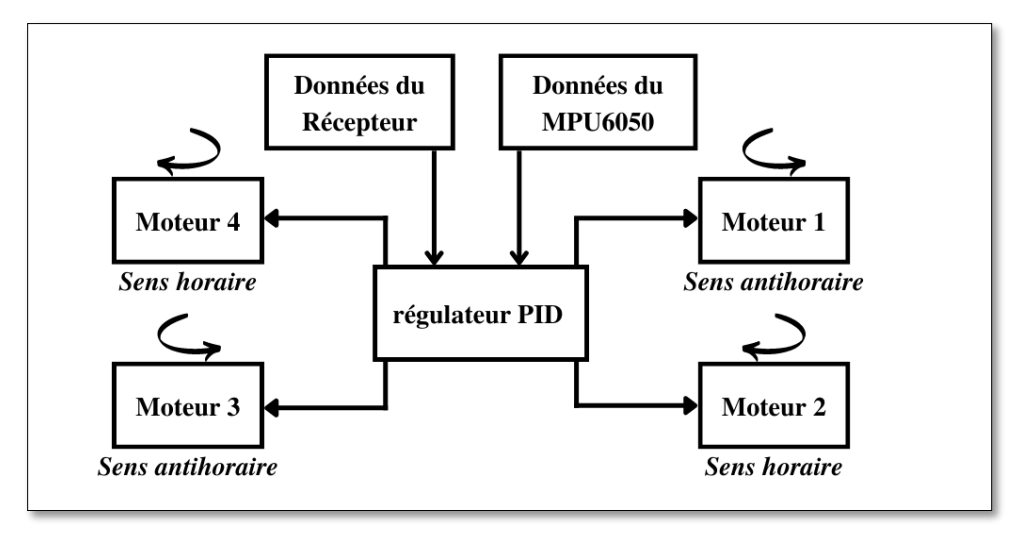


Figure IV.2: Schéma montre le principe du PID utilisé dans ce régulateur de vol.

Par exemple si le pilote ne veut aucun mouvement, le taux angulaire Gyro doit être également nul, donc l'erreur du système «  $\varepsilon$  » pour un axe de mouvement est la différence :

 $\varepsilon$  = (Données d'entrée du MPU6050 – Données d'entrées du récepteur).

Le régulateur PID calcule les corrections nécessaires pour les trois axes (Pitch, Roll et Yaw).

Les consignes pour le régulateur PID sont les signaux d'entrée du récepteur et les variables des mouvements angulaires mesurées par le gyroscope.

Les sorties du régulateur PID sont destinées pour contrôler la vitesse des moteurs du quadrirotor afin d'assurer l'équilibre.

L'utilisation des opérateurs mathématiques (Proportionnel, Intégrateur et Dérivateur) permet de produire une sortie de commande adéquate pour le système.

Le modèle mathématique du régulateur PID est décrit comme suit :

$$u(t) = k_p(t) + \; k_i \int_0^t e(\tau) d\tau + \; k_d \frac{de(t)}{dt} \;$$
 , tel que :

•  $e(\tau)$ : L'erreur du système.

• u(t): Variable de sortie du PID.

• k<sub>p</sub> : Gain proportionnel.

 $\bullet \, k_i \,$  : Gain d'intégration.

 $\bullet$   $k_d$ : Gain de dérivation.

# Effet proportionnel $k_p(t)$

Ce terme est proportionnel à l'erreur, il contribue à la stabilité et à la réactivité et permet une augmentation du temps de réponse du système, en fait le régulateur seul n'est pas tout à fait suffisant pour stabiliser le drone [25].

# Effet d'intégral $k_i \int_0^t e(\tau) d\tau$

Ce terme est proportionnel à l'intégrale de l'erreur, il permet au système d'atteindre le point de consigne désiré, permet aussi d'éliminer l'erreur statique du système et de diminuer l'impact des perturbations [25], il en résulte un système précis.

Effet de la dérivée 
$$k_d \frac{de(t)}{dt}$$

Ce terme est proportionnel à la dérivée de l'erreur, il permet d'accéléré la réponse du système et d'éliminé les oscillations autours du point de consigne [25].

# IV.2.1 Saturation du régulateur PID et choix des gains [26]

Pour empêcher le PID de devenir incontrôlable, il est nécessaire de limiter la sortie PID à une valeur critique qui est le point de saturation du système et ça se détermine selon les caractéristiques du système et l'algorithme du régulateur PID utilisé.

Cette limitation est souvent appliquée pour la sortie globale du régulateur PID.

Chaque quadrirotor est caractérisé par ces propres gains PID, généralement les gains PID varis d'un drone à l'autre en fonction du poids et du hardware utilisé.

La mise en œuvre de la commande PID exige d'abord une sélection adéquate des gains,  $k_i$  et  $k_d$  car la réponse de la sortie PID sera influencée en agissant sur ces trois gains.

Pour notre système les gains seront déterminés expérimentalement.

#### IV.2.2 Algorithme PID du régulateur de vol

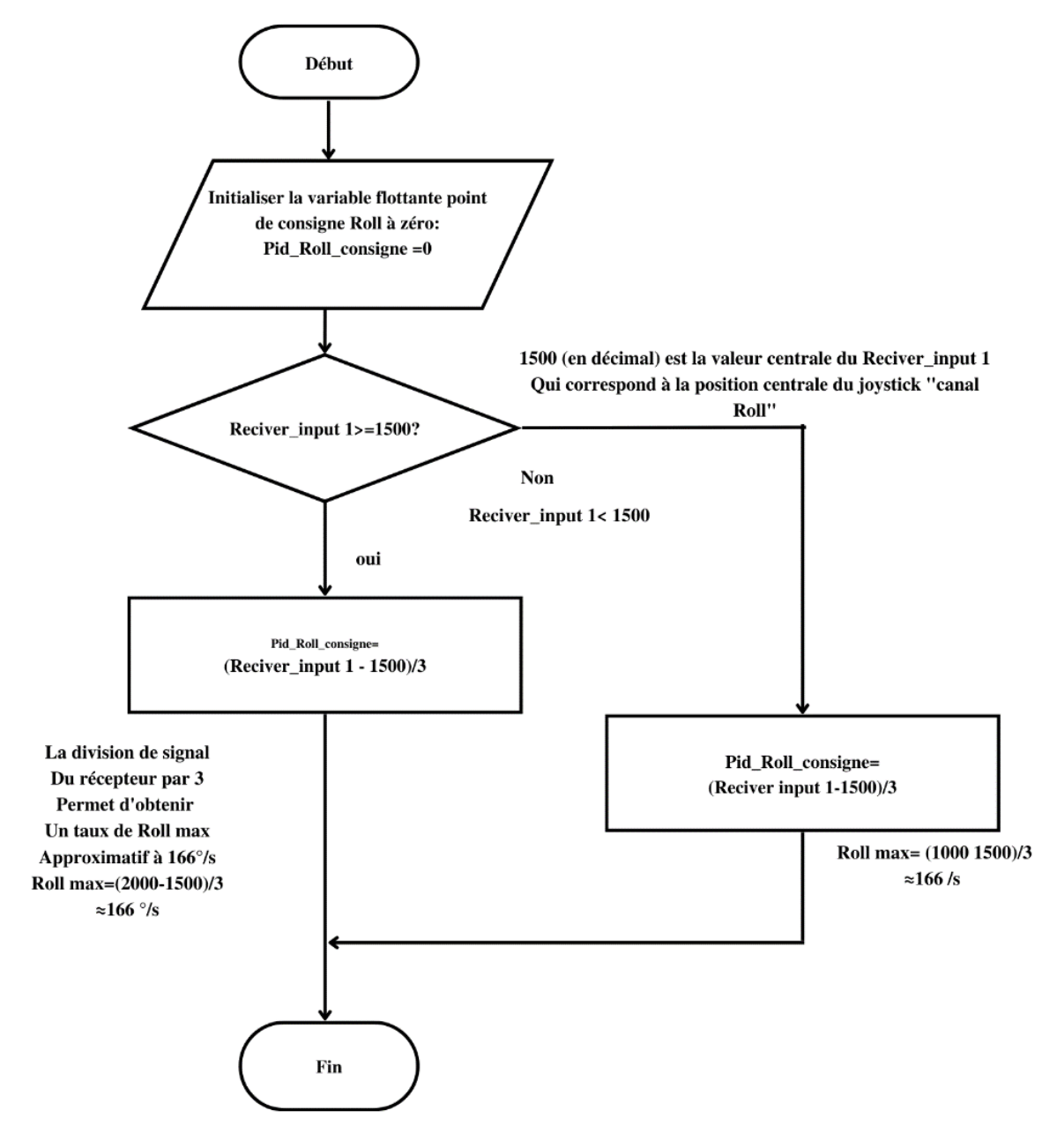
Dans le programme du régulateur de vol, trois régulateurs PID sont utilisés pour les trois axes de mouvement essentiels (Pitch, Roll et Yaw).

Les trois axes de mouvement essentiels	Angle de rotation Selon l'axe	Le nom de l'angle
Roll	X	φ
Pitch	Y	θ
Yaw	Z	Ψ

**Tableau IV.1:** Appellation des rotations pour différents degrés de liberté.

Au début, il est nécessaire de transférer les variables des canaux d'entrée du récepteur (de la routine d'interruption) en degrés / seconde pour avoir les trois points de consigne de mouvement, identiques en grandeurs que les données d'entrée du MPU6050.

L'organigramme suivant explique l'étape de conversion des variables du récepteur en degrés / seconde pour un axe de mouvement « Roll », la même routine se répète pour les deux autres axes « Pitch et Yaw ».

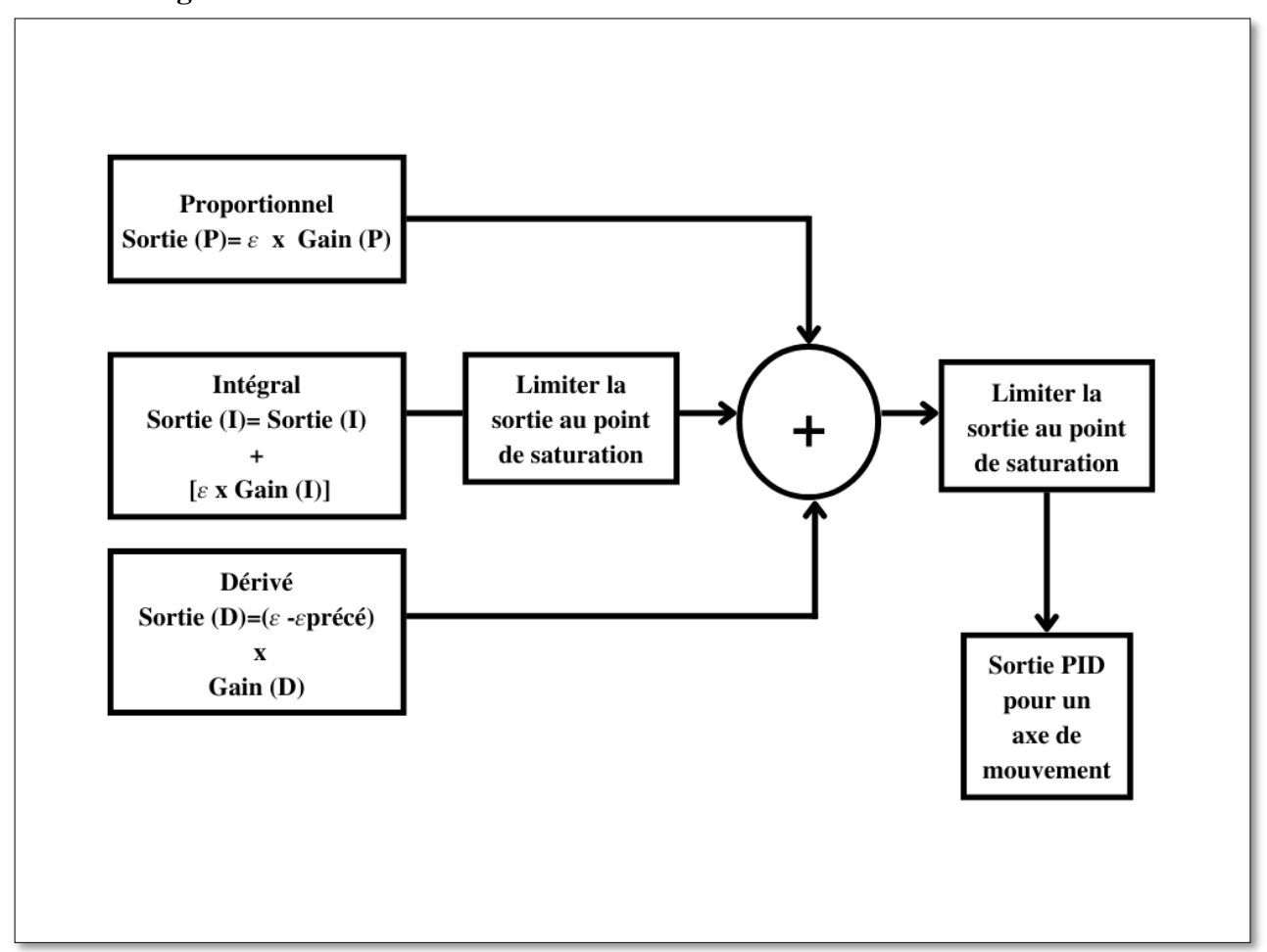


**Figure IV.3:** L'organigramme qui explique l'étape de conversion des variables du récepteur en degrés / seconde pour un axe de mouvement « Roll »

Les entrées du régulateur PID {données du récepteur : (Pid\_Roll\_consigne, Pid\_Pitch\_consigne, Pid\_Yaw\_consigne) et les données angulaires du MPU6050 :

(angle\_roll, angle\_pitch, angle\_yaw)} sont connues, reste à déterminer les variables de sortie PID pour les mouvements (Pitch, Roll et Yaw).

Dans le sous-programme PID les trois parties (proportionnel, intégral et dérivé) sont calculées simultanément et combinées à un seul signal de sortie pour chaque axe de mouvement voire la Figure IV.4

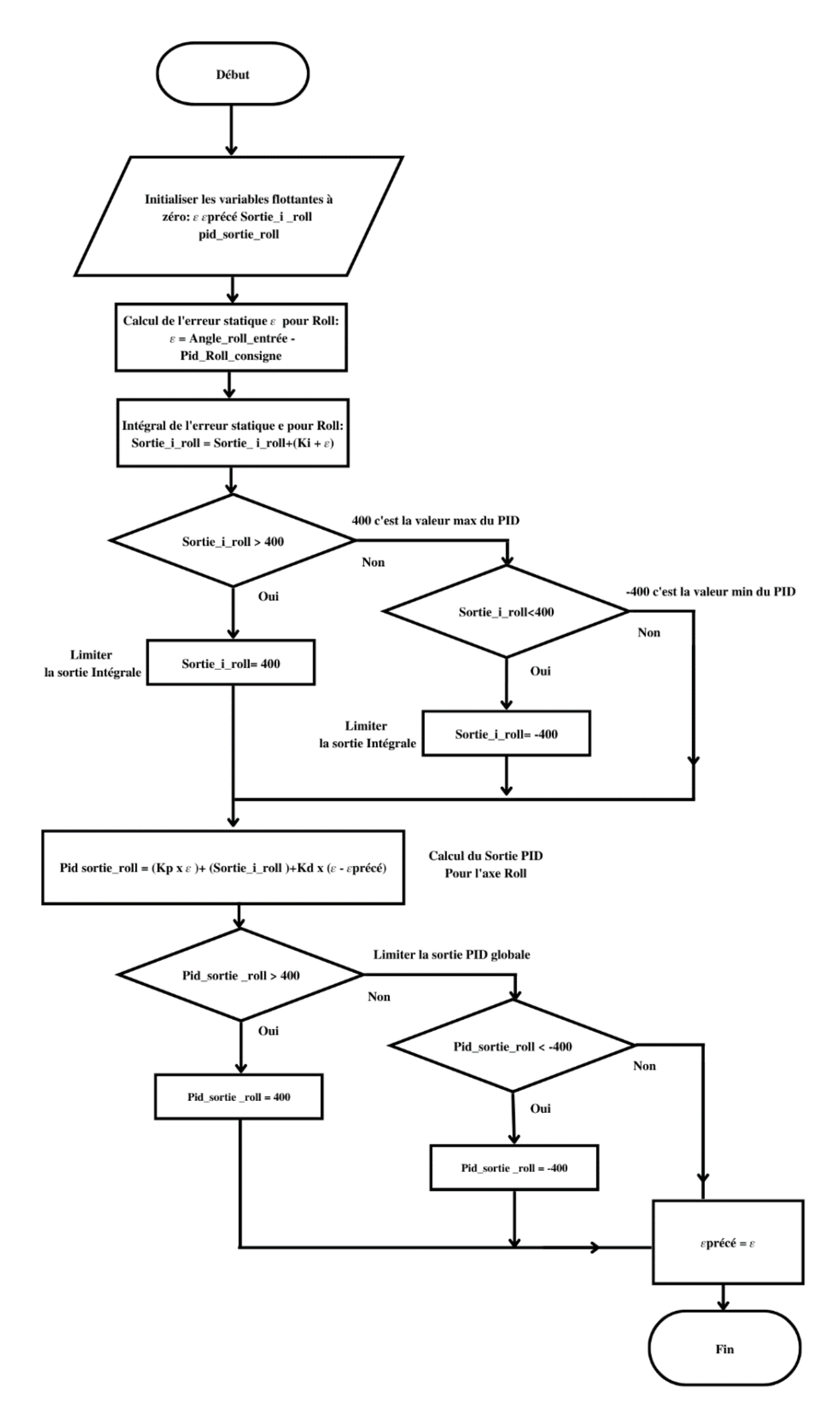


**Figure IV.4 :** L'algorithme utilisé dans le sous-programme PID du régulateur de vol pour un axe de mouvement.

# IV.2.3 Sous-programme de sortie PID

L'organigramme ci-dessous explique le calcul de la sortie PID pour un axe de mouvement « Roll».

La même routine est répétée dans la sous-routine PID du régulateur de vol pour les deux autres axes «Pitch et Yaw ».



**Figure IV.5:** L'organigramme qui explique le calcul du sorties PID pour un axe de mouvement « Roll ».

#### IV.2.4 Contrôle des ESC

Dans cette partie, le but est de générer les impulsions de commande à envoyer pour les quatre ESCs en fonction des variables de sorties PID, afin de contrôler la vitesse des moteurs du quadrirotor.

Les ESC sont connectés à l'Arduino Uno du régulateur de vol via les broches digitales (B4, B5, B6 et B7) du registre PORTB.

Au début du programme principal, ces broches numériques doivent être déclarés en tant que sorties.

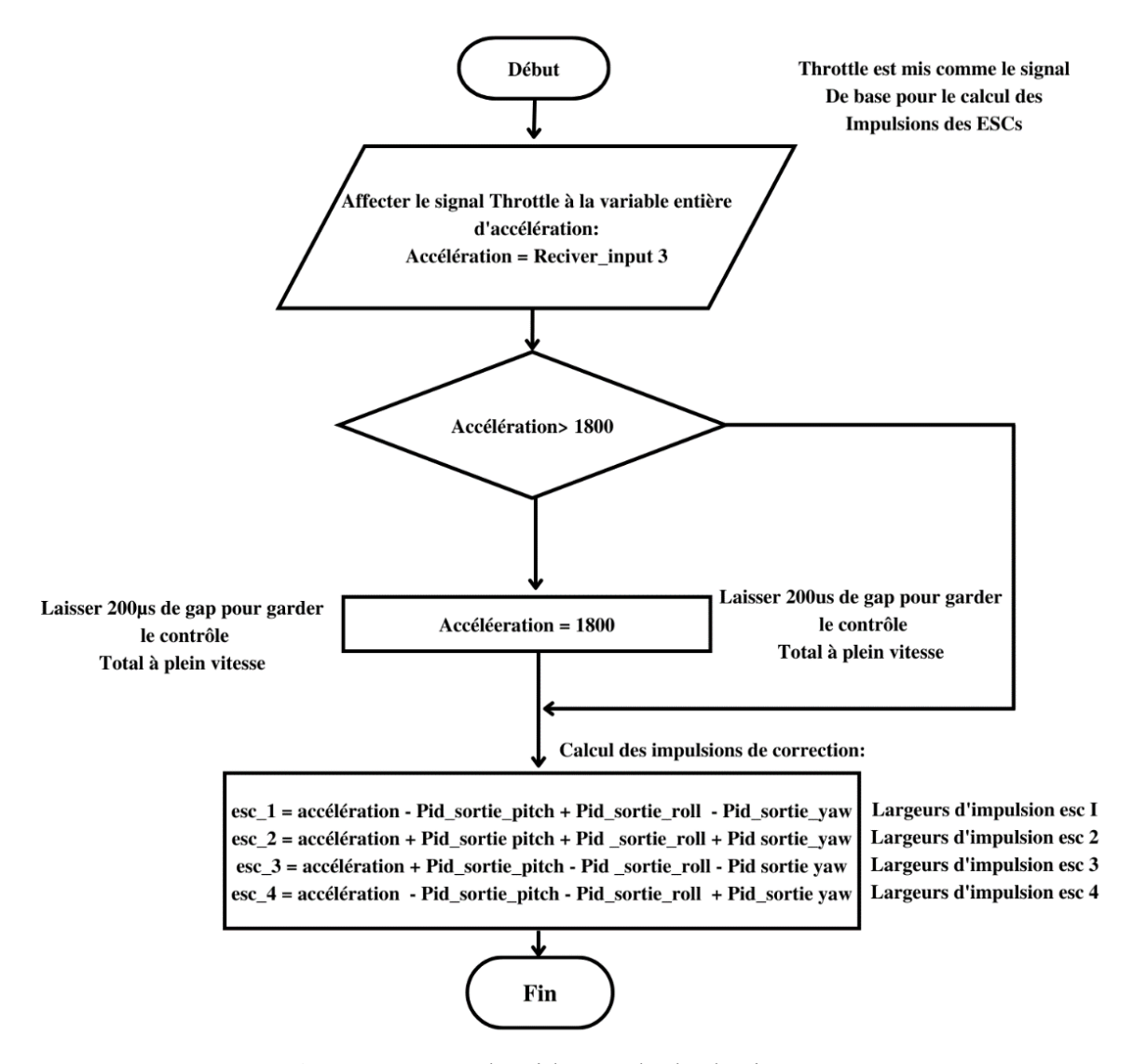
Après avoir calculé les variables de sortie du régulateur PID pour les axes de commande (Pitch, Roll et Yaw), il devient possible de calculer les largeurs d'impulsion à fournir pour les ESC toutes les 4 ms afin de corriger la position du quadrirotor.

Au début, il est nécessaire de déclarer le signal d'entrée du récepteur Throttle « Reciver\_input 3 » comme la variable de base d'accélération.

Pour assurer que les trois régulateurs PID ont suffisamment d'espace pour corriger le quadrirotor à pleine vitesse, la variable d'accélération est limitée à 1800 µs au lieu de 2000 µs.

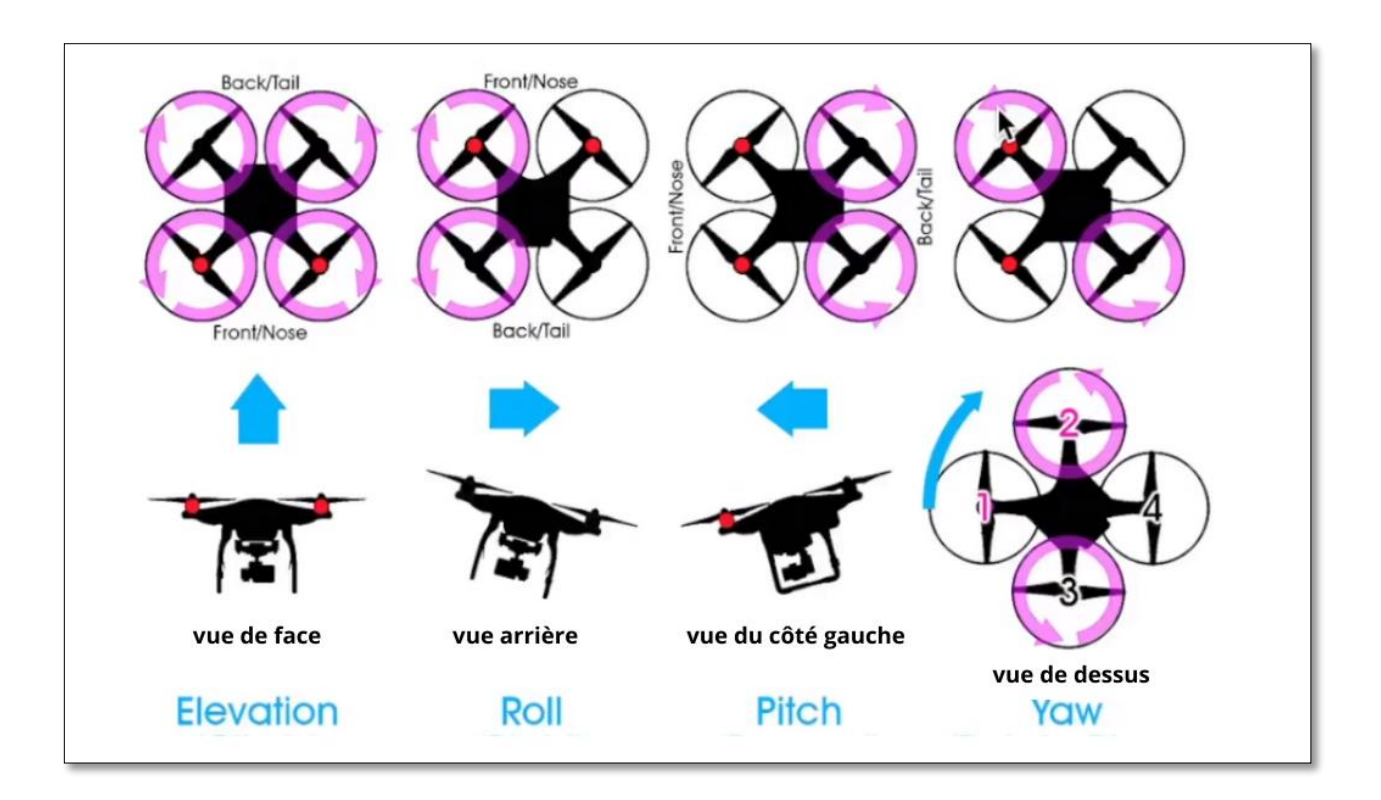
De cette façon, chaque régulateur PID peut ajouter 200 µs supplémentaires en cas de besoin.

Pour calculer les impulsions des ESC, il suffit de combiner les variables de sorties PID séparées (Pitch, Roll et Yaw) et de les ajouter ou les soustraire à la variable d'accélération suivant cet algorithme :



La Figure IV.6: L'algorithme calculer les impulsions des ESC.

La Figure représente les axes (Roll, Pitch et Yaw) et les mouvements du quadrirotor.



La Figure IV.7: Les axes (Roll, Pitch et Yaw) et les mouvements du quadrirotor.

Pour l'axe de Roulis, si le quadrirotor penche vers la droite en raison du vent ou de la turbulence, cela conduit le Gyro d'envoyer un angle de roulis positif (Données d'entrée Roll du Gyro > 0).

Lorsque le pilote ne veut aucun mouvement (le joystick de l'émetteur est en position centrale).

C'est à dire la variable roulis du récepteur est de  $0^{\circ}$  / sec (Pid\_Roll\_consigne =  $0^{\circ}$ ) implique que la sortie roulis du régulateur PID est positive (Pid\_sortie roll > 0) car l'erreur  $\varepsilon$  > 0.

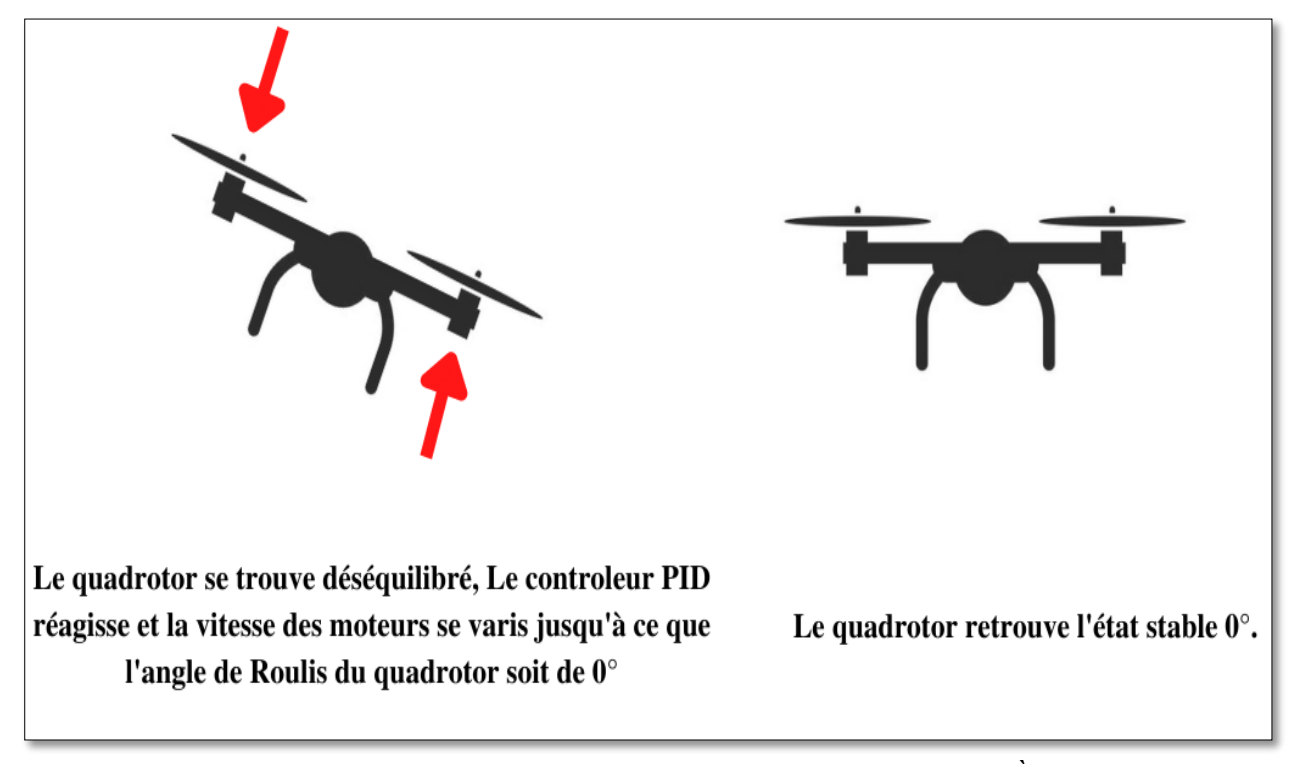
Donc pour que le quadrirotor puisse revient à l'état stable 0°, la vitesse du moteur avant droit doit augmenter et ceci est fait en ajoutant la sortie du régulateur PID Roll (Pid\_sortie\_roll) à l'impulsion de l'ESC 1.

Le même principe pour le tangage (Pitch), lorsque le front du drone est incliné en bas à cause d'une perturbation ou du vent, le Gyro envoie un angle de tangage négatif et la sortie du régulateur PID Pitch devienne négative (Pid\_sortie\_pitch < 0).

En soustrayant la sortie du PID Pitch de l'impulsion ESC 1 implique que la vitesse du moteur1 s'augmente et le quadrirotor retrouve l'état stable 0°.

Cela est illustré dans la Figure IV.8 pour l'axe de roulis (Roll) et la même chose pour le tangage (Pitch).

Le même principe se répète pour chaque combinaison moteur / ESC.



**Figure IV.8:** L'algorithme du PID conduit le quadrirotor de revenir À l'état voulu en agissant sur les ESCs.

Selon les dernières instructions citées dans l'algorithme en haut :

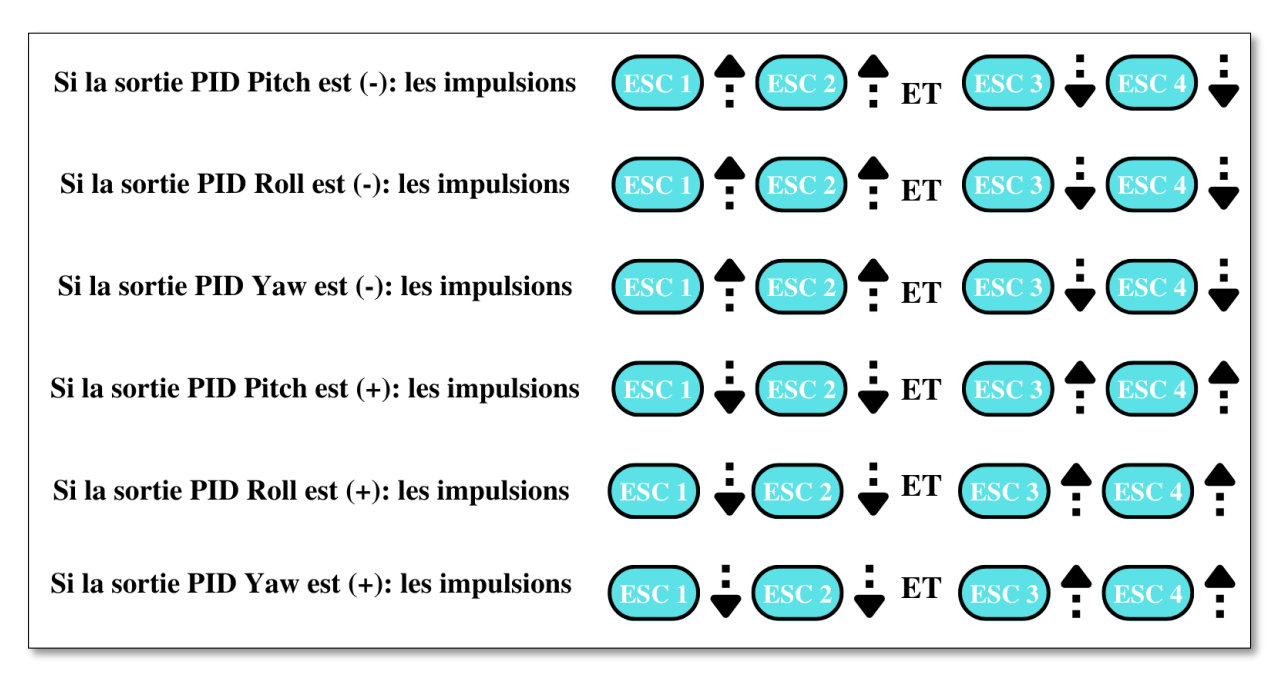


Figure IV.9: Les impulsions des contrôleurs de vitesse esc avec le signe de régulateur.

L'étape suivante consiste à envoyer les impulsions calculées aux ESC, ceci est fait en maintien les sorties numériques du PORTB (B4, B5, B6 et B7) à un niveau logique haut avec un délai de temps correspond aux largeurs d'impulsions ESC calculées précédemment.

Pour avoir le front descendant des impulsions, il suffit d'exécuter une boucle « while » jusqu'à ce que les quatre bits de poids fort du registre PORTB soient à zéro, ça signifie la fin de l'impulsion ESC.

Pour s'assurer que la fréquence des signaux PWM est de 250 Hz, un temporisateur de boucle vide est employé pour s'exécuter jusqu'à ce que les 4 ms soient expirées.

Finalement, il en résulte quatre trains d'impulsions PWM synchronisé avec une fréquence de 250 Hz.

Boucle\_temps, timer\_ch 1, timer\_ch 2, timer\_ch 3, timer\_ch 4, esc\_boucle\_temps On attend jusqu'à 4000µs le TIMER microseconde Micros () est utilisé pour Calculer le temps écoulé. Micros () - boucle\_temps < 4000 Cela signifie que les ESCs ont besoin de leur Impulsions toutes les 4ms. Stocker le temps actuel du compteur pour la prochaine boucle Boucle\_temps = micros () Met à la fois les sorties numériques PORTB |=B11110000 Timer\_ch 1 = esc\_1 + Boucle temps Timer\_ch 2 = esc\_2 + Boucle temps Timer\_ch 3 = esc\_3 + Boucle temps Calcule des largeurs d'impulsions à Timer\_ch 4 = esc\_4 + Boucle temps Fournir pour les ESCs. Restez dans cette boucle jusqu'à ce que B4, B5, B6 et B7 soient zéro. PORTB >= 16 Oui Stocker le temps actuel du compteur Esc\_boucle\_temps = micros () Chaque fois que la boucle est exécutée

Toutes les données pour contrôler les moteurs sont disponibles. L'organigramme suivant

explique l'algorithme utilisé pour générer des impulsions PWM aux ESC:

Si (timer\_ch1 <= esc\_boucle\_temps) PORTB &= B11101111

Si (timer\_ch 2 <= esc boucle\_temps) PORTB &= B11011111 Si (timer\_ch 3 <= esc\_boucle\_temps) PORTB &= B10111111 Si (timer\_ch 4 <= esc\_boucle\_temps) PORTB &= B01111111

**Figure IV.10**: . L'organigramme qui explique l'algorithme utilisé pour générer des impulsions PWM aux ESC.IV.3 Résultats et analyse

Rendre la sortie numérique A zéro pour chaque ESC si Le délai de temps de

L'impulsion est expirée.

### IV.3.1 Conception du matériel

Dans cette étude, le quadrirotor est assemblé à l'aide de composants relativement peu coûteux qui sont les suivants qui sont le microcontrôleur, le capteur IMU MPU6050, le moteur BLDC, l'ESC, l'unité de contrôle à distance, la batterie et le cadre. Ces composants sont intégrés dans un matériel de quadrirotor dont le poids total est de 3.75 Kg. Le microcontrôleur utilisé est ATMega2560 avec une vitesse d'horloge de 16 MHz, intégré sur la carte Arduino Uno. Carte Arduino Uno. Nous utilisons le capteur IMU MPU-6050 avec 6 degrés de liberté (DOF) qui est une combinaison de gyroscope et d'acétomètre. Une combinaison de gyroscope et d'accéléromètre. Quatre unités de A2212 BLDC moteur 1000 KV est également utilisé comme l'actionneur combiné avec 4 unités d'hélice avec un rayon de 4,5 pouces et Simonk ESC 30 A comme contrôleur de vitesse. Le tramsmetteur Flysky FS-i6 avec une fréquence radio de 2.4 GHz est communiquée avec son récepteur sur le quadrirotor comme régulateur pilote. Nous utilisons 3 cellules Lithium-Polymère (LiPo) qui ont une tension de 3.7 V dans chaque cellule. Enfin, le châssis utilisé a une configuration en "x" avec une longueur de chaque bras de 0,21 m. Ces composants ci-dessus sont configurés et assemblés pour former un quadrirotor. Configurés et assemblés pour former un quadrirotor comme le montre la figure IV.11.

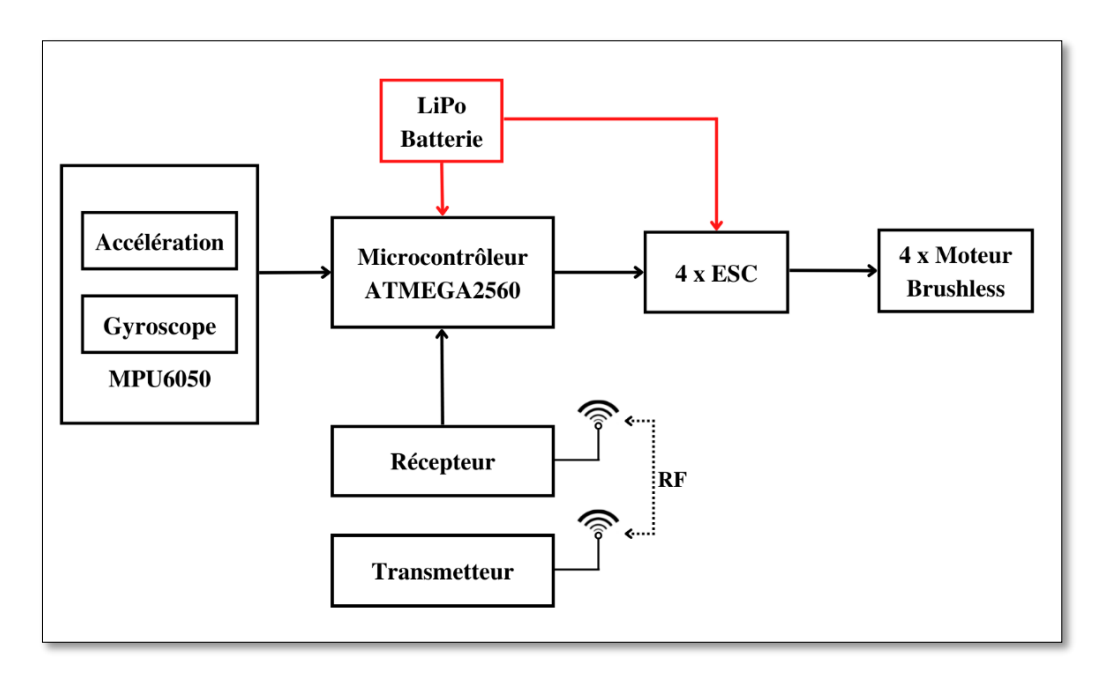


Figure IV.11: Conception du matériel du quadrirotor.

#### IV.3.2 Test du régulateur

Le test expérimental est réalisé pour voir la performance de la commande PID pendant le vol du quadrirotor. Les constantes PID du **tableau IV.2** sont utilisées pour contrôler le quadrirotor conformément à l'équation du signal de commande PID. Le résultat du test montre que le régulateur PID est capable de stabiliser l'attitude du quadrirotor. Ceci est démontré par les réponses de la troisième attitude qui sont décrites dans **la figure IV.12**. D'après les résultats des tests ci-dessus, les réponses de l'attitude sont bien contrôlées lorsque le régulateur PID est utilisé. Le régulateur est capable de produire des réponses stables avec un temps de stabilisation estimé pour le roulis, le tangage et le lacet de 2,78 s, 5,37 s et 0,94 s respectivement. Les dépassements maximaux obtenus sont de -25,70°, 24,01° et -17,09° pour le roulis, le tangage et le lacet respectivement. Cependant, le régulateur produit toujours un dépassement dans les conditions transitoires. Les meilleures performances du régulateur peuvent être obtenues en augmentant la robustesse de la conception du régulateur et en optimisant la constante PID. **La figure IV.13** montre le signal de commande produit par le régulateur PID. Ce signal est obtenu à partir de l'équation PID et tracé en fonction des réponses d'attitude sous forme de valeur numérique.

Pour être complet, le quadrirotor utilisé dans cette étude est montré dans la figure IV.14.

Paramètre	Pitch	Roll	Yaw
	Φ	Θ	Ψ
Кр	1.8	1.8	3.6
Ki	0.04	0.04	0.02
Kd	32	32	0

Tableau IV.2: Les constantes PID.

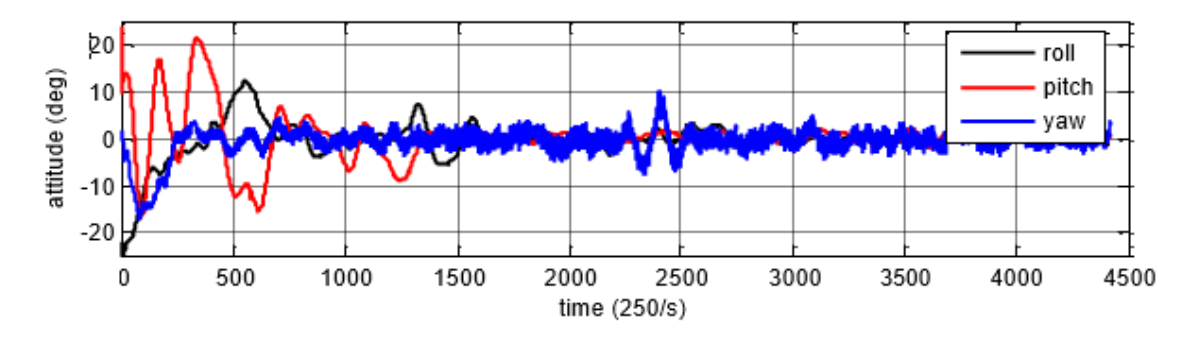


Figure IV.12: Réponses d'attitude du quadrirotor avec le régulateur PID.

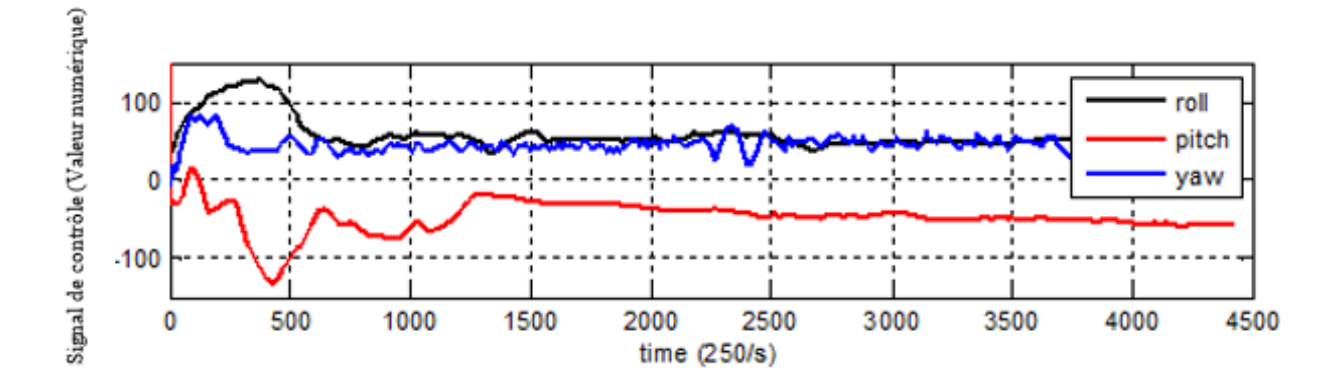


Figure IV.13: Signal de commande.



Figure IV.14: Le quadrirotor utilisé dans notre projet avec radiocommande Flysky.

# **IV.4 Conclusion**

Le software utilisé en transmission et en réception est présenté avec détail et les diverses étapes de programme du régulateur de vol sont expliquées.

Le quadrirotor peut être contrôlé à l'aide d'un système de contrôle simple comme le régulateur PID. De plus, l'attitude du quadrirotor semble stable, même s'il présente un dépassement. Néanmoins, ce résultat est acceptable et conforme aux attentes lorsque nous concevons le régulateur en utilisant des méthodes simples et rapides.

L'amélioration de ce quadrirotor à faible coût nécessite des recherches supplémentaires, ainsi qu'une conception robuste du régulateur, des améliorations matérielles et le développement de son utilisation.

# Chapitre V: La reconstruction 3D

# Chapitre V:

# La reconstruction 3D

#### V.1 Introduction

Reconstruire des formes 3D à partir d'une séquence d'images est un problème difficile. L'interprétation des points 3D dépend de la connaissance des paramètres intrinsèques et extrinsèques de la caméra. Les paramètres intrinsèques et extrinsèques définissent la localisation et l'orientation de la caméra par rapport au monde. Les nuages de points sont un type de données spatiales qui peuvent être utilisées pour représenter l'emplacement et la forme des objets. Plus la résolution et le nombre de vues d'un objet dans une photo sont élevés, plus le nuage de points est détaillé et précis.

Dans ce chapitre, nous allons décrire l'outil développé, le tester et vérifier les résultats obtenus pour évaluer la qualité du projet. Nous énumérerons également les diverses limitations que nous avons rencontrées lors de l'élaboration de ce travail.

# V.2 Le principe

La photogrammétrie est une technique qui consiste à reconstituer en 3 D une scène en utilisant la parallaxe obtenue entre des images acquises selon des points de vue différents

- Elle exploite de plus en plus les calculs de corrélation entre des images désormais numérique.
- Cette technique repose entièrement sur une modélisation rigoureuse de la géométrie des images et de leur acquisition afin de reconstituer une copie 3 D exacte de la réalité

Les outils numériques permettent aujourd'hui un traitement rapide et aisé des photographies afin d'obtenir des reconstructions 3D.

# V.3 Les étapes de la détermination du nuage de points

#### V.3.1 Étape 01 : L'initialisation de la Camera

L'initialisation de la caméra consiste à charger les images de l'objet en vue d'être reconstruit en 3D et d'approximer à partir de ces dernières la focale de la caméra. Puis, la comparer a une base de données contenant différentes focales de diffèrent modèles de caméra et faire la correspondance pour en déduire approximativement les paramètres de la caméra utilisée (Les différents points de vues, les intrinsèques et extrinsèques de la caméra, la longueur de focale et le champ de vision), il est préférables d'utiliser une focale fixe et des angles fixes afin d'avoir un meilleur rendu.

Cette étape est basée sur le principe de calibration de camera sous python OpenCV :

Pour la distorsion, les facteurs radiaux et tangentiels sont pris en compte par OpenCV. Pour le facteur radial, on utilise la formule suivante :

$$x_{distorted} = x(1 + k_1r^2 + k_2r^4 + k_3r^6)$$

$$y_{distorted} = y(1 + k_1r^2 + k_2r^4 + k_3r^6)$$

La distorsion tangentielle se produit parce que les objectifs de prise d'image ne sont pas parfaitement parallèles au plan d'imagerie. Il peut être représenté via les formules :

$$x_{distorted} = x + [2p1xy + p2(r2 + 2x2)]$$

$$y_{distorted} = y + [2p1xy + p2(r2 + 2x2)]$$

Ou les k sont les coefficients de distorsion radial et p les tangentiels qui dans OpenCV sont présentés sous la forme d'une matrice à une ligne avec 5 colonnes :

coefficients de distorsion = 
$$(k_1 k_2 p_1 p_2 k_3)$$

Maintenant, pour la conversion d'unité, la formule suivante est utilisée :

$$\begin{bmatrix} x \\ y \\ w \end{bmatrix} = \begin{bmatrix} f_x & 0 & c_x \\ 0 & f_y & c_y \\ 0 & 0 & 1 \end{bmatrix} \begin{bmatrix} x \\ y \\ z \end{bmatrix}$$

Ici, la présence de w est expliquée par l'utilisation du système de coordonnées homographique (w = Z). Les paramètres inconnus sont fx et fy (focales de la caméra) et (cx, cy)

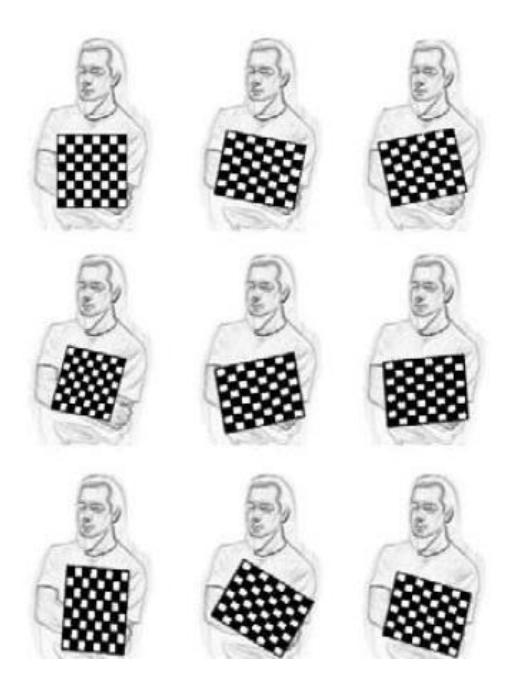
qui sont les centres optiques exprimés en coordonnées pixels. Si pour les deux axes une distance focale commune est utilisée avec un rapport hauteur / largeur donné (généralement 1), alors fy = fx \* a et dans la formule supérieure, nous aurons une seule distance focale f. La matrice contenant ces quatre paramètres est appelée matrice de caméra. Bien que les coefficients de distorsion soient les mêmes quelles que soient les résolutions de caméra utilisées, ceux-ci doivent être mis à l'échelle avec la résolution actuelle de la résolution calibrée. [28, 29]

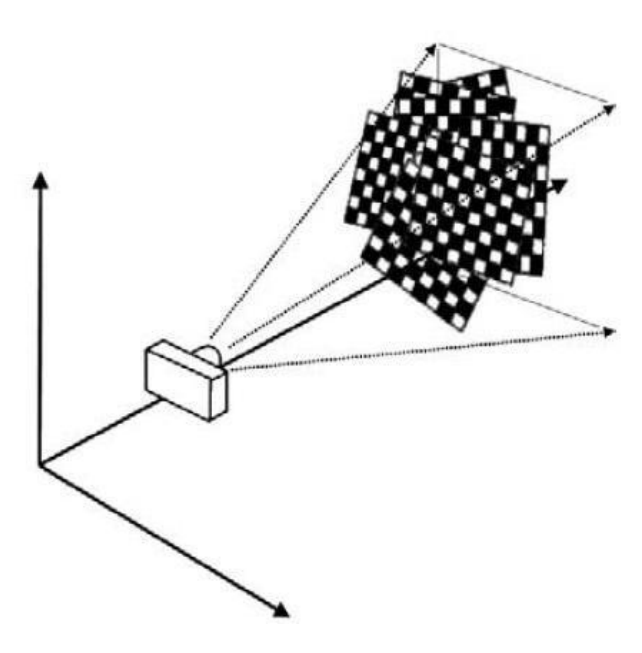
#### Protocole de calibration :

La calibration se fait en quatre étapes grâce aux fonctions fournis par la bibliothèque OpenCV:

- Tout d'abord il faut extraire et suivre les points situés aux intersections des cases blanches et noires du damier.
- Ensuite il faut réordonner les points trouvés, pour qu'ils soient dans un certain ordre
- Puis connaissant les coordonnées de ces points sur l'image, il est possible de déterminer les paramètres internes de la caméra.
  - Enfin il est possible de déterminer les paramètres externes de la caméra.

On a utilisé un Damier, parce que ses coins sont très faciles à trouver en utilisant des algorithmes de vision par ordinateur et sa forme est très simple. Afin de connaître la position de





n'importe quel coin nous avons seulement besoin de savoir combien de carrés horizontaux et verticaux il y a dans le damier et la taille d'un carré. Le damier de l'image est un damier 9x6.

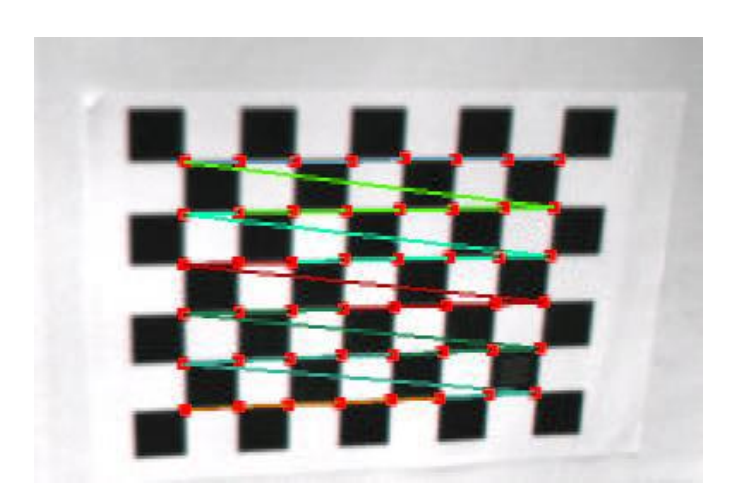


Figure V.1 : prise de vue différentes d'un damier [30].

Figure V.2: Détection des coins des damiers sur la mire de calibration [30].

Afin de déterminer les coefficients de la matrice intrinsèque, il suffit de capturer au minimum 3 images du damier sous différents angles de vues et de stocker les intersections trouvées afin de pouvoir déterminer l'homographie dans le plan projectif de l'image. Ce sont les coefficients de la matrice d'homographie qui sont les coefficients de la matrice intrinsèque. Cette étape est réalisée de façon indépendante pour chaque caméra. Les coefficients de distorsion sont déterminés à postériori en corrigeant par itération successives les paramètres précédents [30].

# V.3.2 Étape 02 : L'extraction des caractéristiques d'image

Les données fournies initialement par le détecteur sont les coordonnées des points d'intérêt ainsi que leur échelle caractéristique. Une étape préliminaire consiste à construire l'histogramme des orientations locales définies en chaque point (x) par :

$$\theta(x,y) = \tan^{-1}\left(\frac{L(x,y+1) - L(x,y-1))^2}{L(x+1,y) - L(x-1,y)}\right)$$

 $\forall (x, y)$  dans unvoisinage de  $(x_0, y_0)$ 

Cet histogramme se compose de trente-six intervalles (36 classes), couvrant chacun un angle de dix degrés. Ce dernier est pondéré d'une part par un filtre gaussien d'écart type égal a une fois et demie la valeur de l'échelle locale et d'autre part par l'amplitude m de chaque point défini par :

$$m(x,y) = \sqrt{(L(x+1,y) - L(x-1,y))^2 + (L(x,y+1) - L(x,y-1))^2}$$

Cette méthode a été détaillée dans le chapitre 1 [31, 32, 33].

## V.3.3 Étape 03 : Correspondance d'image

L'objectif de cette partie est de trouver des images qui capturent les mêmes zones de la scène. Pour cela, nous utilisons les techniques de récupération d'images pour trouver des images qui partagent du contenu sans le coût de l'extraction de toutes les caractéristiques des correspondances dans les détails. L'idée est de simplifier l'image dans un descripteur d'image compact qui permet de calculer efficacement la distance entre tous les descripteurs d'images.

La génération de ce descripteur d'image est faite à travers l'approche par arbre de vocabulaire. En passant tous les descripteurs de caractéristiques extraits à travers l'arbre vocabulaire, on effectue une classification en comparant leurs descripteurs à ceux de chaque noeud de cet arbre comme suit :

$$q_i = n_i w_i$$

$$d_i = m_i w_i$$

$$w_i = ln_{NN_i}$$

Avec  $q_i$  les descripteurs et  $d_i$  les distances et  $w_i$  leurs poids dans l'arbre a vocabulaire

N est le nombre d'image et  $N_i$  le nombre d'image avec au moins une correspondance de descripteurs dans le nœud i

Chaque descripteur de fonction se termine dans une feuille, qui peut être stockée par un index simple : l'index de cette feuille dans l'arbre. Le descripteur d'image est alors représenté par cette collection d'indices de feuilles utilisées. Donc, il sera possible de voir si différentes images partagent le même contenu en comparant ces descripteurs d'images [34].

# V.3.4 Étape 04 : Correspondance de caractéristiques d'image

L'objectif de cette étape est de faire correspondre toutes les caractéristiques entre les paires d'images. Tout d'abord, une correspondance photométrique entre l'ensemble des descripteurs des 2 images d'entrée est effectuée. Pour chaque caractéristique dans l'image A, une liste de caractéristiques candidates dans l'image B est obtenue. Comme l'espace descripteur n'est ni linéaire ni un espace bien défini, il est impossible de s'appuyer sur des valeurs de distance absolues pour savoir si la correspondance est valide ou non (nous ne pouvons avoir qu'une distance absolue limitée en borne supérieure). Pour supprimer les mauvais candidats, une seule correspondance valide dans l'autre image est supposée. Donc, pour chaque descripteur de fonctionnalité sur la première image, une recherche est effectuée pour les 2 descripteurs les plus proches avec un seuil relatif entre eux.

Cela fournit une liste de caractéristiques correspondantes sur la seule base d'un critère photométrique.

Trouver les 2 descripteurs les plus proches dans la deuxième image pour chaque caractéristique est intensif en calcul avec une approche de force brute, mais de nombreux algorithmes optimisés existent. Le plus courant est le voisin le plus proche approximatif (« Approximate nearest neighbor algorithm »).

Ensuite, les positions des caractéristiques dans les images sont utilisées pour faire un filtrage géométrique en utilisant la géométrie épipolaire dans un cadre de détection des valeurs aberrantes appelé RANSAC (RANdom SAmple Consensus). Un petit ensemble de correspondances de caractéristiques est sélectionné et ainsi la matrice essentielle est calculée [35, 36].

#### V.3.5 Structure From Motion

L'objectif de cette étape est de comprendre la relation géométrique derrière toutes les observations fournies par les images d'entrée, et déduire la structure de scène rigide (nuage de points 3D) avec la pose (position et orientation) et l'étalonnage interne de toutes les caméras.

D'abord une reconstruction initiale à deux vues est calculée puis elle est étendue de manière itérative en ajoutant de nouvelles vues. Toutes les correspondances de caractéristiques entre les paires d'images sont fusionnées. Chaque résultat de cette fusion est censé représenter un point dans

l'espace, visible depuis plusieurs caméras. On utilise un système de conversion de coordonnées depuis les coordonnées réelles vers les coordonnées des pixels selon :

$$Z_{c}\begin{bmatrix} u \\ v \\ 1 \end{bmatrix} = \begin{bmatrix} \frac{1}{dx} & 0 & u_{0} \\ 0 & \frac{1}{dy} & v_{0} \\ 0 & 0 & 1 \end{bmatrix} \begin{bmatrix} f & 0 & 0 \\ 0 & 0 & f \\ 0 & 0 & 0 \\ 0 & 1 & 0 \end{bmatrix} \begin{bmatrix} R & t \\ 0 & 1 \end{bmatrix} \begin{bmatrix} X_{w} \\ Y_{w} \\ Z_{w}1 \end{bmatrix} = \begin{bmatrix} f_{x} & 0 & u_{0} \\ 0 & 0 & f_{y} \\ v_{0} & 0 & 0 \\ 0 & 1 & 0 \end{bmatrix} \begin{bmatrix} R & t \\ 0 & 1 \end{bmatrix} \begin{bmatrix} X_{w} \\ Y_{w} \\ Z_{w} \\ 1 \end{bmatrix}$$

Avec (u.v) le plan des coordonnées pixel et (x, y,z) le plan des coordonnées du monde

Cependant, à cette étape du processus SFM, ce dernier contient encore de nombreuses valeurs aberrantes. Lors de cette fusion des valeurs obtenues à partir des étapes de correspondance, on supprime les pistes incohérentes.

Ensuite, l'algorithme incrémental doit choisir la meilleure paire d'images initiale. Ce choix est essentiel pour la qualité de la reconstruction finale. Il fournit des correspondances robustes et contient des informations géométriques fiables. Ainsi, cette paire d'images choisie par l'algorithme doit maximiser le nombre de correspondances et la répartition des caractéristiques de chaque image. Mais en même temps, l'angle entre les caméras doit également être suffisamment large pour fournir des informations géométriques fiables. Ensuite, la matrice essentielle est calculée entre ces images grâce à l'équation des contraintes épipolaire :

$$E = \hat{T}_2 R_2$$

Ensuite, toutes les images qui ont suffisamment d'associations avec les caractéristiques déjà reconstruites en 3D sont sélectionnées grâce a l'algorithme de sélection des meilleures vues successives (« Next best views selection »). Basé sur ces associations 2D-3D, il effectue la résection de chacune de ces nouvelles caméras. La résection est un algorithme « Perspective-n-Point » (PnP) dans RANSAC pour trouver la pose de la caméra qui valide la plupart des correspondances de caractéristiques effectuées selon la définition suivante :

Étant donné un ensemble de n points 3D dans un référentiel mondial et leurs projections d'images 2D correspondantes ainsi que les paramètres intrinsèques calibrés de la caméra, la pose à 6 degrés de liberté de la caméra sous la forme de sa rotation et de sa translation par rapport au monde est déterminée. Cela suit le modèle de projection en perspective pour les caméras :

$$spc = K[R \mid T]pw$$

Ou  $p_w=[x\ y\ z\ 1]T$  représente un point homogène du monde,  $p_c=[u\ v\ 1]T$  représente un point homogène dans l'image et K est la matrice des paramètres intrinsèques de la caméra ce qui donne la forme suivante :

$$s \begin{bmatrix} u \\ v \\ 1 \end{bmatrix} = [f_x \gamma u_0 0 f_y v_0 0 0 1] \begin{bmatrix} r_{11} & r_{12} & r_{13} & t_1 \\ r_{21} & r_{22} & r_{23} & t_2 \\ r_{31} & r_{32} & r_{33} & t_3 \end{bmatrix} \begin{bmatrix} x \\ y \\ z \\ 1 \end{bmatrix}$$

À partir de ces nouvelles poses de caméras, certaines pistes deviennent visibles par 2 caméras réséquées ou plus, puis l'algorithme fait la triangulation. Apres, un « Bundle Adjustment » est effectué pour tout affiner : paramètres extrinsèques et intrinsèques de tous les Points de vue de la caméra ainsi que la position de tous les points 3D selon l'équation :

$$(P_i, C_2) = p_i^1 \text{rgmin}_{P_i}, c_1, c_2 \Sigma N_i = 1 ||p_1^i - \pi_1(P_i, C_1)||^2 + ||p_2^2 - \pi_2(p^i, C_2)||^2$$

Les résultats du Bundle ajustement sont filtrés en supprimant toutes les observations qui ont une erreur de reprojection élevée ou des angles insuffisants entre les points de vue de la caméra.

Au fur et à mesure que la triangulation de nouveaux points se fait, plus d'images candidates pour la prochaine sélection des meilleures vues sont obtenue. C'est de manière itérative comme cela, en ajoutant des points de vue et trianguler de nouvelles entités 2D en points 3D et en supprimant les points 3D invalides jusqu'à ce que la localisation de nouvelles vues est impossible, qu'un nuage de point général à la fin du processus SFM est généré [ 35, 37,38].

# La sélection d'une paire d'images initiale La Génération du nuage de points et fichier PLY La Génération de la matrice essentielle Bundle Adjustement La rectification Résection

#### • Organigramme de la génération du nuage de points

**Figure V.3 :** Organigramme de l'étape 5.

# V.4 Logiciels utilisés

Nous avons utilisé le logiciel MeshLab pour faire la visualisation du nuage de points généré par notre code, d'abord nous avons importé notre nuage de points dans le logiciel Meshroom, puis après quelques tests, le résultat est que ce dernier ne génère pas de modèles 3D d'assez bonne qualité, alors soit on y va au logiciel 3D Zypher ou une fois que nous avons importé notre nuage de points, le modèle 3D est plus détaillé.

#### V.4.1 MeshLab

MeshLab est un logiciel open source de traitement de maillages 3D. Ce programme est développé par l'ISTI et le CNR, dans le but de fournir un outil généraliste pour la visualisation du

nuage de point, manipulation et l'édition de modèles 3D importants, provenant notamment de scans 3D.

Il propose différents filtres de nettoyage du maillage (suppression des vertex non référencés par exemple), des outils de remaillage (simplification, subdivision, reconstruction de surfaces...) et des fonctions de suppression de bruit (adoucissement, etc.).

MeshLab supporte les formats de stockage suivants : PLY, STL, OFF, 3DS, VRML 2.0, X3D et COLLADA.

MeshLab est utilisé dans de nombreux domaines de recherche et universitaires, tels que la microbiologie, la gestion du patrimoine culturel, la reconstruction de surfaces et l'impression tridimensionnelle.



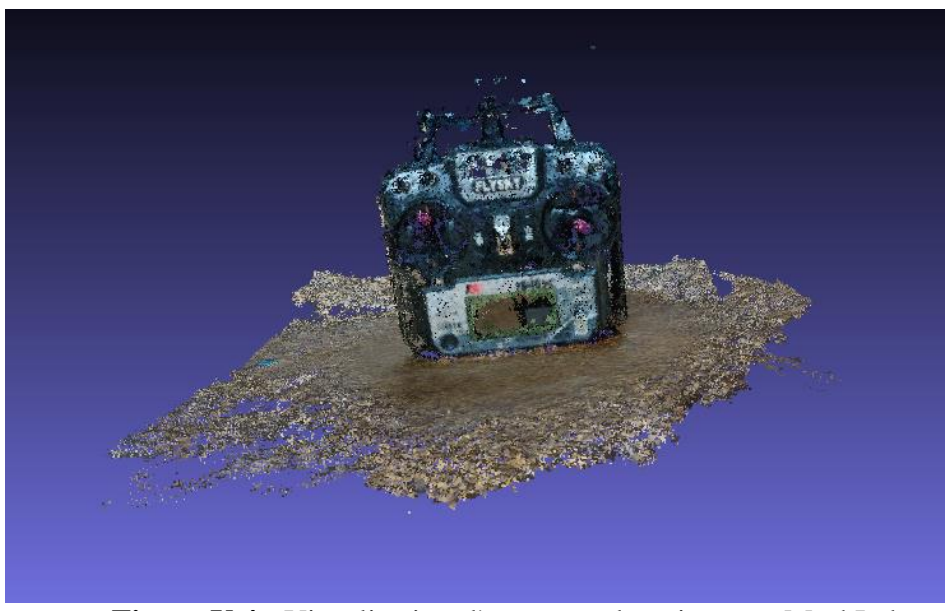
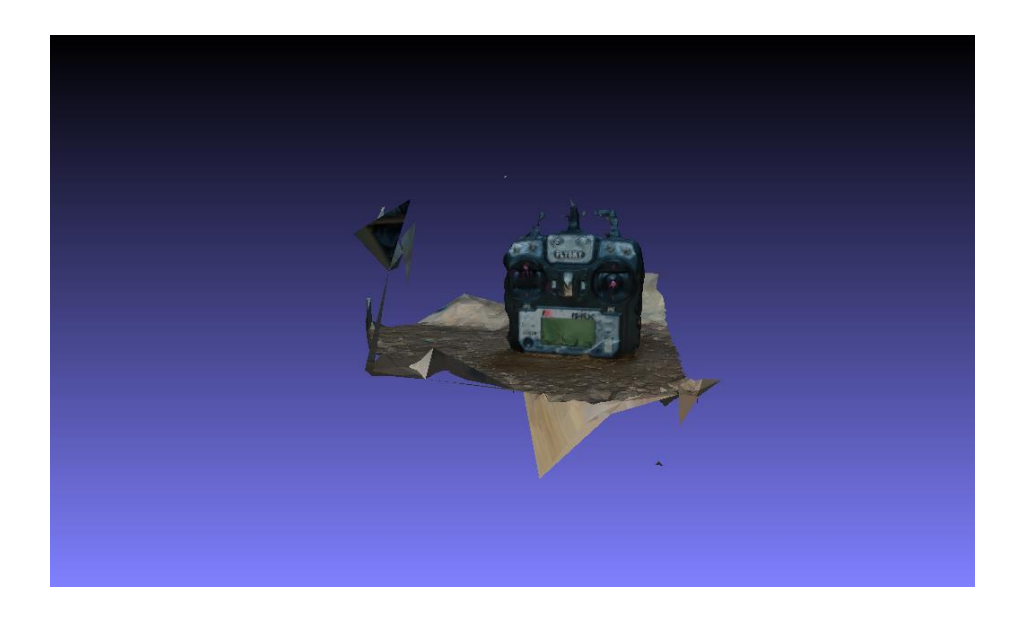


Figure V.4: Visualisation d'un nuage de point sous MeshLab.

#### V.4.2 Meshroom

Meshroom est une application qui permet de créer des modèles en 3D à partir d'une série de d'images. Cela est très utile si l'on veut exporter des modèles sur d'autres programmes dans lesquels on pourra continuer à traiter ou à analyser les informations.

L'interface de Meshroom est conçue pour aider à réaliser des modèles sans trop de difficulté. Meshroom propose plusieurs formats qui permettent de voir le modèle qui en résulte. Peu importe celui choisis, on peut facilement voir les compositions extraites sur un PC. Également, il est possible d'exporter ses créations et dans un format qui convient le mieux aux besoins. Il suffit d'importer les images sur lesquelles on a appliquées notre code ainsi que le nuage de points et laisser Meshroom tourner jusqu'à ce qu'il génère le modèle 3D comme illustré dans la figure suivante :

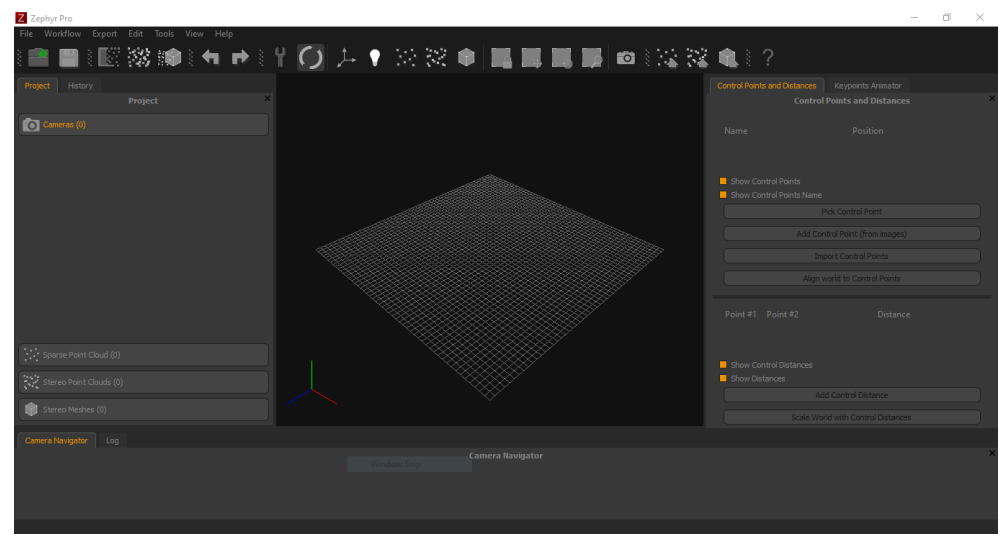


**Figure V.5 :** Modèle 3D de Flysky sur meshroom.

#### V.4.3 3DF Zephyr

3Dflow, éditeur du logiciel de scan 3D à partir de photos 3DF Zephyr, a entamé une série de tutoriels autour de son outil. A partir du workflow de base, on découvrira progressivement les fonctions plus avancées : méthodes de prise de vue, masques, nettoyage du scan, reconstruction à partir de vidéos, filtrage, etc.

A noter : 3DF Zephyr est un des rares outils qui soit disponible en version gratuite. 3DF Zephyr Free permet donc de s'initier à moindre coût, mais ne permet pas d'utiliser plus de 50 photos par projet.



**Figure V.6 :** logiciel 3DF Zephyr.

#### Caractéristiques principales de 3DF Zephyr:

- Interface conviviale : le menu du logiciel est facile à utiliser, avec un menu pratique de flux de photos en bas.
- Processus automatique : pas besoin de codage ou d'édition manuelle lors de la création du scan 3D final.
- Outils d'édition : le logiciel permet aux utilisateurs de modifier leur résultat final à l'aide de divers outils.

#### • Remarque:

À partir des résultats illustrés ci-dessus, on peut déduire que le logiciel 3DF Zephyr produit des modèles 3D plus précis et détaillés que ceux produits par le logiciel Meshroom.

# V.5 Exemples de reconstruction 3D

Nos tests ont été effectués avec des photos prises avec nos Smartphone. Les figures cidessous représentent les résultats obtenus avec ces photos :

# V.5.1 Boite de jus (49 photos)

Pour les premiers tests de notre code on a exécuté notre code sur les 49 photos de la boite de jus dont 2 sont présentées à titre d'exemple, nous obtenons le nuage de points comme le montre la figure ci-dessous



Figure V.7 : Photos de la boite de jus.



Figure V.8: Nuage de points de la boite de jus.

Pour la génération du modèle 3D, on importe le nuage de points vers les logiciels mentionnés précédemment afin d'obtenir les résultats de la figure ci-dessous :

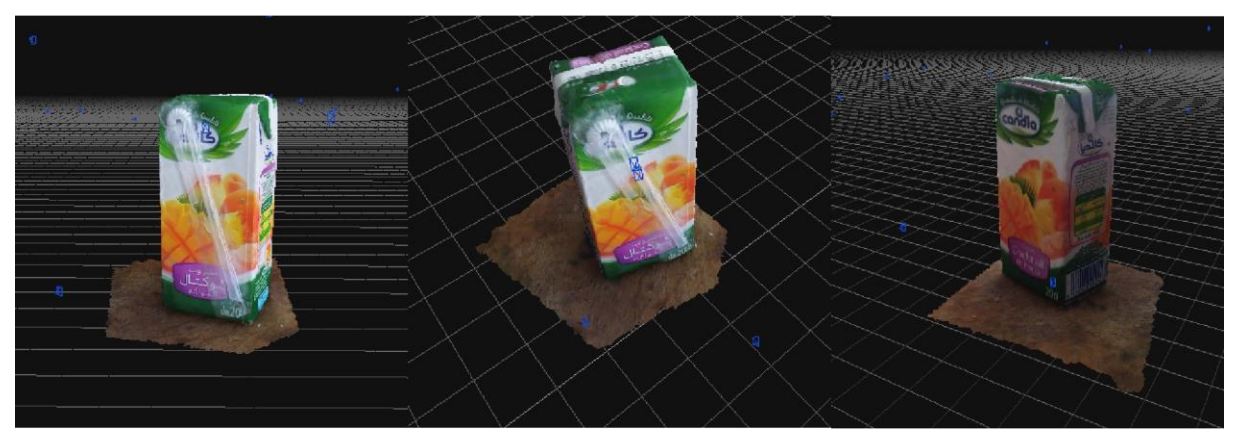


Figure V.9 : Modèle 3D de la boite de jus.

#### • Remarques :

On voit que le modèle de la boite de jus est assez fidèle à la réalité malgré une petite distorsion du a plusieurs facteurs dont l'éclairage et les angles de prise de photo.

# V.5.2 Flysky (69 photos)

La figure ci-dessous montre un exemple de photos de la base d'images constituées de 69 photos sur lesquelles, on a appliqué notre code :

Le nuage de points obtenu est comme illustré dans la figure ci-dessous :

Figure V.10: Nuage de points de Flysky.

Le nuage de points est ensuite, exporté vers les logiciels mentionnés précédemment pour faire la génération du modèle 3D. Le résultat est celui de la figure ci-dessous :

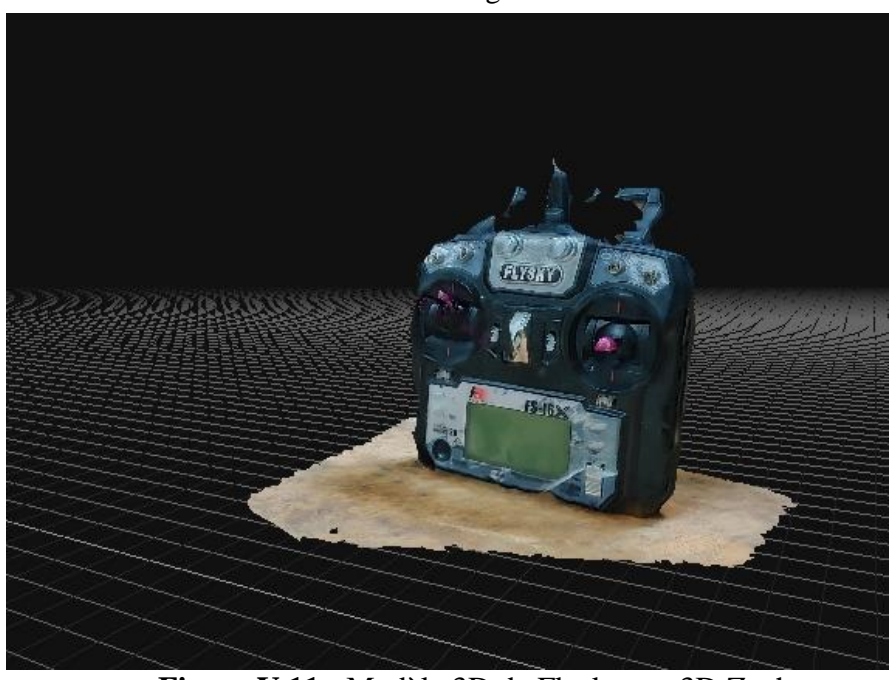


Figure V.11: Modèle 3D de Flysky sur 3D Zephyr.

#### • Remarques :

On voit que le modèle Flysky est très proche d'être parfait sur 3D Zephyr, mais il y a encore une certaine distorsion due à un certain nombre de facteurs, notamment l'éclairage et les angles de prise de vue.

### V.5.3 Pumpjack (221 photos)

La figure ci-dessous montre un exemple de photos de la base d'images constituées de 69 photos sur lesquelles, on a appliqué notre code :



Figure V.12: Photo 1

Figure V.13: Photo 2

Le nuage de points obtenu est comme illustré dans la figure ci-dessous :



Figure V.14 : Nuage de points de la pompe.

Pour la génération du modèle 3D, on exporte le nuage de points vers les logiciels mentionnés précédemment et on obtient le résultat de la figure ci-dessous :





Figure V.15: Modèle 3D de pompe 1

Figure V.16 : Modèle 3D de pompe 2.



Figure V.17: Modèle 3D de pompe.

#### Remarques:

On voit que le modèle de la structure est presque parfait, on remarque seulement des zones vides qui sont le résultat de certaines zones d'ombre dans les photos et du nombre insuffisant de photos de la partie basse.

# V.6 Critique des résultats obtenus

Nous pouvons voir que la qualité des caméras de nos smartphones est un facteur important dans notre prise de décision. Il peut y avoir une certaine distorsion dans le modèle 3D en raison du

petit nombre de photos utilisées. Parce que plus il y a de photos de l'objet à reconstruire disponibles en 3D, plus les modèles sont réalistes.

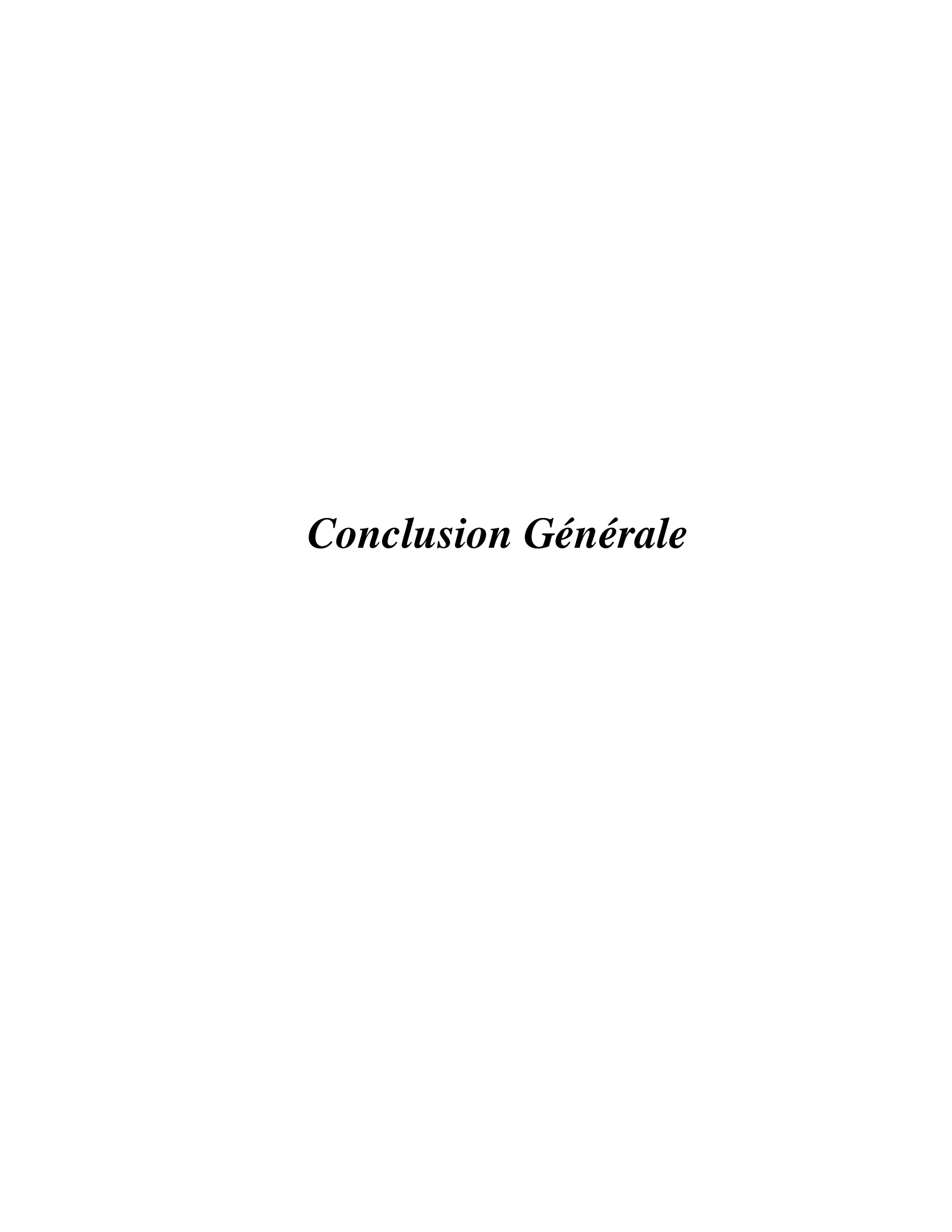
Il y a aussi le fait que, dans le premier test, nous n'avons pas encore clairement identifié le principe de la photographie, car les photos doivent être prises à des angles précis avec un recouvrement de 60% entre chaque paire d'images traitées. L'éclairage change également, ainsi que les couleurs de l'objet, un objet trop éclairé peut provoquer une erreur d'algorithme et vice versa, il faut aussi tenir compte de la texture de l'objet, un objet constitué de surfaces réfléchissantes ou une partie trop sombre ou noire ne sera pas prise en compte par l'algorithme. Enfin, si l'objet est creux ou constitué de plusieurs cavités, il est possible qu'il ne soit pas reconstitué en détail car il y a trop peu de détails dans les cavités.

#### V.7 Conclusion

A travers ce chapitre, nous présentons nos résultats de simulation. Cela comprend une description des méthodes et des données utilisées, ainsi que les résultats des simulations.

La photogrammétrie est un processus d'acquisition de données 3D précises à partir de photographies. Quand on a clairement identifié le principe de la photographie, notre code a généralement bien fonctionné, générant des nuages de points réalistes et des modèles 3D proches de l'objet sur la photo.

Sur la base des données de ce chapitre, nous pouvons dire que l'algorithme utilisé pour la photogrammétrie (SIFT et SFM) est efficace.



# **Conclusion Générale**

Avec la croissance de l'intérêt pour les UAV, celui des avions à atterrissage et à décollage verticaux et le besoin d'une instrumentation discrète et surtout légère, le quadrirotor a connu une grande popularité ces dernières années. Cela en fait, la principale motivation pour ce travail de recherche. Le travail présenté dans ce mémoire était consacré à la réalisation d'un drone de type quadrirotor et la réalisation de la reconstruction 3D.

Notre travail a débuté par des généralités sur les drones, avant d'aborder leurs diverses utilisations, ainsi que nous avons présenté la photogrammétrie et sa fonctionnalité principale. Par la suite, on a présenté les composants nécessaires à la construction de notre drone quadrirotor et leur mouvement. Notre étude s'est poursuivie par des tests sur le fonctionnement des différentes parties de notre système et la réalisation d'un prototype drone quadrirotor. La stabilisation du drone a été assurée en implémentant une loi de commande de type PID. Par la suite, une description des méthodes et des données utilisées pour la reconstruction 3D été présenté, après l'identification du principe de la photographie, l'algorithme de la photogrammétrie a généralement bien fonctionné, générant des nuages de points réalistes et des modèles 3D proches de l'objet sur la photo.

À l'issue de ce projet, nous avons approfondi nos connaissances et appliqué ce que nous avons appris lors de formations dans le domaine de l'automatisation.

Au terme de ce projet, nous avons couvrez 3 cotés :

- Le coté montage : de ce travail, nous a permis à apprendre beaucoup sur les composants électroniques, leur montage et leur programmation, surtout l'importance des microcontrôleurs pour la commande des systèmes. Nous avons utilisé une carte de contrôle Arduino pour contrôler 4 moteurs brushless de 1000 KV chacun utilisant des variateurs de vitesse (ESC). Cette configuration a été installée sur le châssis du quadricoptère.
- Le coté programmation : nous avons utilisé plusieurs langages comme l'Arduino pour la conception de système de notre drone, Matlab pour tracer les courbes et Python pour générer et détecté les points d'intérêt ainsi le nuage des points pour modéliser les objets 3D.
- Le côté modélisation 3D : On a identifié après des multiples tests le principe de la photographie dans le but d'éviter les zones d'ombres qui produisent les distorsions. Par la suite, on a généré des nuages de points pour réaliser des modèles 3D et obtenu des résultats assez fidèles à la reality.

#### Difficultés rencontrées :

- Au départ, étant donné la nature du projet, il était difficile de déterminer l'ampleur de la tâche. La réalisation d'un drone quadrirotor offre de nombreuses possibilités en termes d'applications.
- La plus grande difficulté rencontrée lors de ce projet fut la stabilisation du drone.
- Nous avons rencontré la contrainte de la batterie de drone, la durée de consommation c'été l'envirant de 15min, donc la durée des tests été vraiment courte.
- La difficulté rencontrée dans la partie de la photogrammétrie c'été la compréhension du principe de fonctionnent de la reconstruction 3D, la détection de nuage des points et maitrise du principe de la photographie.
- Enfin, en général, nous avons mal estimé la durée comme étant attribuable certaines tâches au final ne nous ont pas permis de finir tout ce que nous voulions faire.

Notre objectif ne s'est que réalisé 80 %, on est vis-à-vis l'effectuer après la date de soutenance pour partir plus loin que « réaliser de la reconstruction 3D à partir d'images acquises par notre quadrirotor ».

#### **Perspectives:**

- Nous pourrions intégrer un algorithme de guidage à l'aide du GPS et des différents capteurs (ultrasons, baromètre...). Couplée aux données capteurs, l'implémentation de traitement d'images embarquées offrirait toute un panel d'activités que l'on pourrait imaginer (ex : détection de formes spécifiques, tracking d'objets, etc.).
- Remplacer la carte Arduino par Raspberry pi.
- L'intégration d'un algorithme décisionnel lié à de l'intelligence artificielle rendrait complètement autonome pour les missions de la photogrammétrie.
- A l'aide d'une application Android, pour voir ce que la caméra capte par le smartphone, ainsi suivez la trajectoire d'un objet ou d'une personne de façon autonome sans intervention humaine.
- Sauvegarder les données de trajectoire et les images de l'environnement extérieur sur une grande base de données pour l'auto-apprentissage.

# Références bibliographiques

- [1]. Samuel Dubois, Yves Vanhellemont, Michael de Bouw (CSTC): « Les drones au service de la construction, Technologies, enjeux et perspectives ». CENTRE SCIENTIFIQUE ET TECHNIQUE DE LA CONSTRUCTION, Août 2019
- [2]. AMAURY DE SAINT MARTIN : « LES DRONES, LA NOUVELLE RÉVOLUTION TECHNOLOGIQUE ». Centre Jean Gol, 2019.
- [3]. Chekakta Zakaria, Zoubiri Abdellah: « Conception, Modélisation et Commande d'un UAV de type Quadrirotor ». École Nationale Polytechnique d'Oran, Mémoire Pour l'Obtention du Diplôme d'Ingénieur d'Etat, 2016.
- [4]. M. Pierre GRUSSENMEYER : « Du nuage de points à la maquette numérique de bâtiment : Reconstruction 3D semi-automatique de bâtiments existants La photogrammétrie par drone : les domaines et applications ». L'Université de Strasbourg, Thèse, 2017.
- [5]. La photogrammétrie par drone : les domaines et applications :

  <a href="https://www.studioflytechnologie.fr/photogrammetrie-drone-volumetrie-domaines-applications/">https://www.studioflytechnologie.fr/photogrammetrie-drone-volumetrie-domaines-applications/</a>
- [6]. Egels Yves : « La photogrammétrie, principes généraux et terminologie ». In : Collection EDYTEM. Cahiers de géographie, numéro 12, 2011.
- [7]. Photogrammétrie : <a href="https://www.apgtp.fr/la-branche/les-metiers/photogrammetre/">https://www.apgtp.fr/la-branche/les-metiers/photogrammetre/</a>
- [8]. M. LAURENT: « Acquisition 3D au service de l'industrie ». Magazine électronique CiMax, 1997.
- [9]. A. Zingoni a, M. Diani a, G. Corsini a, A. Masini: «REAL-TIME 3D RECONSTRUCTION FROM IMAGES TAKEN FROM AN UAV». Dept. of Information Engineering, University of Pisa, 2015.
- [10]. K. Kraus, P. Waldhäusl: « Manuel de photogrammétrie, principes et procédés fondamentaux ». Traduction de Pierre Grussenmeyer et O. Reis, Hermes, 1998
- [11]. Réalisation d'un drone à base d'Arduino Chapitre 2 : <a href="https://www.firediy.fr/article/realisation-d-un-drone-a-base-d-arduino-chapitre">https://www.firediy.fr/article/realisation-d-un-drone-a-base-d-arduino-chapitre</a>
- [12]. Studiosport : « Châssis Quadcoptère F450 » : <a href="https://www.firediy.fr/article/realisation-d-un-drone-a-base-d-arduino-chapitre-2">https://www.firediy.fr/article/realisation-d-un-drone-a-base-d-arduino-chapitre-2</a>
- [13]. Components 101: « 2212 Brushless Motor », 2018:

#### https://components101.com/motors/2212-brushless-motor

- [14]. A2212 Brushless Motor Datasheet: « A2212/13T TECHNICALDATA ». Components101, 2018.
- [15]. Lobodol: « Réalisation d'un drone à base d'Arduino Chapitre 2 ». Fire-DIY,2017.
- [16]. David McGriffy: «Make drones: Teach an Arduino to Fly». Maker Media Year, 2016.
- [17]. MPU-6000-Datasheet: «MPU-6000 and MPU-6050 Product Specification Revision 3.4».
- [18]. InvenSense Inc. Numéro de document : PS-MPU-6000A-00,2013.
- [19]. MPU6050 Datasheet: «MPU6050 Accelerometer and Gyroscope Module». Components101,2021.
- [20]. DroneBot Workshop: Build a Digital Level with MPU-6050 and Arduino. DroneBot Workshop, 2019.
- [21]. Arduino Mega 2560 Datasheet: «Arduino Mega 2560 Datasheet». Manualzz, Numéro de document: 14316422.
- [22]. FlySky FS-i6 et FlySky FS- iA10B https://www.flysky-cn.com/
- [23]. T. Hamel, R. Mahony, R. Lozano, J. Ostrowski "Dynamic modelling and configuration stabilization for an x4-flyer.", 15th Triennial World Congress, Barcelona, Spain, 2002.
- [24]. L'IDE Arduino : <a href="https://arduino.blaisepascal.fr/presentation/logiciel/">https://arduino.blaisepascal.fr/presentation/logiciel/</a>
- [25]. Henri Bourlés : « Systèmes linéaires De la modélisation à la commande ». Hermes Science, 2006, 510p.
- [26]. Henri Bourlés, Hervé Guillard : « Commande des systèmes. Performance et robustesse ». Ellipses,2012.
- [27]. Paul Avery: « Introduction to PID control ». Yaskawa Electric America, 2019.
- [28]. Camera sous OpenCV:

  <a href="https://docs.opencv.org/master/dc/dbb/tutorial\_py\_calibration.html">https://docs.opencv.org/master/dc/dbb/tutorial\_py\_calibration.html</a>
- [29]. Les Distorsions en calibration de caméra
  <a href="https://ori.codes/artificial-intelligence/camera-calibration/camera-distortions/">https://ori.codes/artificial-intelligence/camera-calibration/camera-distortions/</a>
- [30]. NAAS NASREDDINE, RIAD SIDAHMED : « Détermination de la position d'un objet à l'aide d'un couple de caméras ». Université Abdelhamid Ibn Badis Mostaganem, Mémoire de master, 2012.

- [31]. D.Lowe : « Distinctive Image Features from Scale-Invariant Keypoints ». Université de la Colombie-Britannique, 2004.
- [32]. Deepanshu Tyagi: « Introduction to SIFT ». Data Breach, Article, 2019.
- [33]. Manuel Grand-Brochier: « Descripteurs 2D et 2D+t de points d'intérêt pour des appariements robustes ». Université Blaise Pascal Clermont-Ferrand II, Thèse de doctorat, 2011.
- [34]. D.Nistér, H.Stewénius: «Scalable Recognition with a Vocabulary Tree». CVPR, 2006.
- [35]. Yan Shen and Yuxing Dai, "Structure from motion with efficient homography-based line matching," J. Opt. Soc. Am. A 35, 200-209, 2018.
- [36]. S. Arya et.al: « An Optimal Algorithm for Approximate Nearest Neighbor Searching in Fixed Dimensions ». In the Proceedings of the Fifth Annual ACM-SIAM Symposium on Discrete Algorithms, 1994, pp. 573-582.
- [37]. Pierre Moulon & Allessandro Bezzi: « Python Photogrammetry Toolbox: A free solution for Three-Dimensional Documentation ». Article, 2011.
- [38]. Pierre Moulon, Pascal Monasse, Renaud Marlet : « Global Fusion of Relative Motions for Robust, Accurate and Scalable Structure from Motion ». Université Paris-Est, 2013.